

P R O Y E C T O P A R A

M I J G H A R H L A P R O V E C H A -

M I E N T O D E L A C E M T R A L

D E G U A P U L O

TESIS PREVIA A LA OBTENCION DEL TITULO  
DE INGENIERO EN LA ESPECIALIZACION DE  
ELECTRICIDAD DE LA ESCUELA POLITECNICA  
NACIONAL.

C A B L O S K A T S

QUITO, MAYO DE 1961.

Certifico que este trabajo ha sido  
elaborado en todas sus partes por el Sr.  
Carlos Katz,

Quito, a 15 de Mayo de 1.961

E L D I R E C T O R D E T E S I S



\*\*\*\*\*

CORONEL ING. MARCOS GÁNDARA E.

A U D I O T Y P O  
ESTADOUNIDENSE

Aproveche la oportunidad que me da la relación de este Período para presentar el testimonio de mis mayores conocimientos a todos aquellos Ilustres Maestros de la Escuela Politécnica Nacional - Quite y de la Facultad Técnica Superior de Pamplona - Alfonso, que da una muestra clara, con su preocupación, en los estudios y enseñanzas galeras de paso a lo largo de todos los años de estudio.

  
CLAUDIO RADA.

Quito, Mayo 1.º.961.

I N D I C E

Página.

CAPÍTULO I

ANALISIS GENERAL.

Ubicación .....	1
Reseña histórica.....	1
Generalidades.....	2

CAPÍTULO II

ESTIMACION ALMACENADA EN LA COMUNA A EXPLOTAR Y  
EL CR. A EL TURBINA A ENCAJAR EN LA CENTRAL DE QUA-  
PALE.

Antecedentes.....	6
Potencia media generada.....	16
Caudal necesario actualmente.....	19
Elección del tipo y número de turbinas.....	22
Potencia obtenible.....	26

CAPÍTULO III

ESTUDIO DE REGULACION.

Antecedentes.....	27
Determinación de la capacidad actual del tanque de regulación.....	30
Estudio sobre la conveniencia e no, de aumentar la capacidad del tanque de regulación.....	32

**Mejoras a realizarse en este tanque:**

1.- Limpieza de sedimentos.....	37
2.- Reparación de una compuerta del dique.....	38
3.- Mejoras en la obra de aducción de aguas para limpieza del tanque.....	41

**CAPITULO IV**  
\*\*\*\*\*

DATOS DE CONSTRUCCIÓN.

Antecedentes.....	43
Ubicación del nuevo tanque.....	51
Generalidades.....	52
<b>Dimensionamiento.</b>	
Transición de entrada.....	54
Ancho del tanque.....	55
Longitud del tanque.....	56
Pendientes.....	58
Vertederos de salida.....	59
Compuertas de entrada.....	60
Compuertas de limpieza.....	63
Canal de descarga.....	64
Capacidad para sedimentos.....	69
Cálculo de los muros del depósito.....	70
Onzas para desviar materiales flotantes.....	77

**CAPITULO V**  
\*\*\*\*\*

CAUSAS DE AVERÍAS.

Antecedentes.....	81
Obras aconsejables.....	82

**CAPITULO VI**  
\*\*\*\*\*

DETALLE TECNICO DE SISTEMA DE AGUA.-

Antecedentes.....	84
Rectificación de un ramal del canal.....	86
Profundización del otro ramal.....	89
Compuertas para los dos ramales.....	90
Clausura de los orificios existentes.....	90
Dimensionamiento del vertedero para el paso del agua al tanque de presión.....	90
Cubierta de los ramales y de parte del tanque.....	91

**CAPITULO VII**  
\*\*\*\*\*

DETALLE DE POMO.-

Antecedentes.....	97
Generalidades.....	98
Cubierta del tanque.....	99
Compuerta para Limpieza.....	101

**CAPITULO VIII**  
\*\*\*\*\*

DETALLE DE POMO.-

Antecedentes y generalidades.....	102
Espesor.....	104
Bifurcación.....	106
Cierres.....	107
Pérdidas de carga.....	108
Rendimiento de la tubería.....	113

Pág.

CAPITULO IX  
\*\*\*\*\*

DETERMINACIONES DEL RENDIMIENTO DE LA CEDALERA

Altura total del salto.....	114
Rendimiento Hidráulico.....	114
Potencia total obtenible.....	115
Velocidad específica.....	115
Altura de aspersión.....	116

CAPITULO X  
\*\*\*\*\*

Caso de Máquinas..... 117

CAPITULO XI  
\*\*\*\*\*

DISEÑO DE UNA CEDALERA

Antecedentes.....	119
Generalidades.....	120
Cálculo del tubo de aspiración.....	122
Diámetro del rodete.....	123
Velocidad tangencial.....	125
Ángulos de entrada al rodete.....	125
Ancho de la corona directriz.....	127
Diámetro del eje.....	128
Paletas directrices.....	129
Corona.....	130
Regulador.....	132
Volante.....	133
Canal de desagüe.....	135

CAPITULO XII  
\*\*\*\*\*

DISPOSITIVOS Y DISPOSITIVOS

Generador... Generalidades.....	137
Rotor.....	139
Batidora.....	140
Excitatrix.....	141
Conexión de la excitatrix.....	142
Datos a enviar al fabricante.....	144

CAPITULO XIII  
\*\*\*\*\*

GENERALIDADES SOBRE LOS DISPOSITIVOS DE MEDIDA Y PROTECCIÓN

Aparatos de medida.....	147
Instrumentos para la conexión en paralelo.....	149
Dispositivos de protección.....	152
Protección contra contactos en los arrollamientos.....	153
Protección contra sobreatensidad.....	154
Dispositivos para interrupción.....	156
Protección contra colectivizaciones.....	158
Conexión a tierra.....	158

A N E X O  
\*\*\*\*\*

Registro No. 1.- De energía netaual generada en Guápulo y de la lluvia caída durante los años 1.954 - 1.955 - 1.956 - 1.957 - 1.958.	159
Registro No. 2.- De energía generada durante diferentes años del año de 1.958 en la Central de Guápulo.....	161

- Resumen No. 2.- Comparativo de energía generada en Guápulo y en el conjunto de centrales que abastecen a Quito..... 162
- Resumen No. 4.- De energía diaria generada en Guápulo durante los años 1.954  
1.955 ~ 1.956 ~ 1.957 ~ 1.958..... 164
- Resumen No. 5.- Del levantamiento topográfico realizado en el tanque de regulación de la Central de Guá-  
pulo..... 180
- BIBLIOGRAFIA..... 183

## C A P I T U L O      I

### A N T E C D E S T E S      G E N E R A L E S

#### U B I C A C I O N . -

La Central Hidroeléctrica de Guápulo, propiedad de la Empresa Eléctrica Quito ( E.E.Q. ), se encuentra ubicada a pocos Kmts. de Quito, al pie de la vecina población de Guápulo, sobre el río Machángara, que bordea la ciudad de Sur-Este a Nor-Oeste, sirviendo de vía natural para el alejamiento de las aguas servidas, basuras, aguas lluvias, etc. de ésta y lugares vecinos. Dichas aguas son utilizadas en esta Central para la producción de energía eléctrica.

#### P E S E Ñ A H I S T O R I C A . -

No existiendo registros completos de la vida de esta Central, no ha tenido que regir, en parte, por datos proporcionados por antiguos personeros y empleados de la Empresa Eléctrica.

En los archivos de la E.E.Q. únicamente he podido encontrar registros de la energía producida a partir del año 47. No existen otros datos que se habrían sido sumamente útiles para este estudio, tales como los registros cronológicos de caudales y diagramas correspondientes. Por esta razón la mayoría de datos que constan en esta tesis han sido obtenidos a base de observaciones y cálculos personales.

La Central de Guápulo fué puesta en funcionamiento por primera vez en el año de 1.905, produciendo una potencia de

400 KW. a base de dos turbinas con sus respectivos generadores. Fue la segunda Central instalada en la zona vecina a la ciudad de Quito, para entregar su energía a ésta.

Pocos años después se instaló un nuevo grupo de turbinas, con lo cual se amplió la capacidad de producción a 600 KW, y posteriormente se añadió un nuevo grupo, con el cual se llegó a la capacidad de 920 KW. Debo hacer notar que esta potencia, debido a la escasa cantidad de agua que lleva el río durante la mayor parte del año, únicamente es posible obtenerla con la ayuda del tanque de regulación y durante sólo dos, tres o cuatro horas al día.

En la actualidad en la Central de Coápolo existen cuatro grupos con una capacidad de producción de 920 KW., que se generan a la tensión de red de 6.600 V. Las turbinas son del tipo Pelton, a pesar de que para caídas como la de esta Central ( 5,7 mts. ) convendrían más las turbinas Francis.

Hace aproximadamente 30 a 40 años se probó la instalación del tipo de turbinas últimamente mencionado, pero no se obtuvieron resultados satisfactorios debido a la gran cantidad de basuras que arrastran las aguas del río y que se atascan en los diámetros de las turbinas, produciendo paralizaciones y daños.

En el año 1.936 se cambió la tubería de presión original por una de mayor diámetro y espesor que la anterior.

#### GENERALIDADES.-

A continuación enumero algunos de los factores que me han inducido a emprender el presente trabajo:

Debido a la antigüedad y consiguientemente al uso, los rendimientos de las diferentes partes de la instalación de la Central de Chépula son relativamente bajos.

Existen partes esenciales, como el desarenador, que se ha tenido que reformar completamente. Por la falta actual de un verdadero desarenador y por la deficiencia de las rejillas existentes, continuamente se producen daños por atascamientos y por desgaste sumamente rápido de los álabes de las turbinas.

Si bien la Central fué proyectada posiblemente con bastante acierto para su época, a través de sus 15 años de existencia ha dejado de ser una obra eficiente, pues con el correr de los años la ciudad ha aumentado en su tamaño y por consiguiente también las aguas servidas y las basuras que arrastran las aguas del Machángara. Por lo tanto, obras como el desarenador existente y el espacio destinado a sedimentos en el tanque de regulación resultan ínfil e insuficiente respectivamente. Además la gran cantidad de materias químicas en disolución que arrastran hoy estas aguas, producen un desgaste mucho más rápido de las diferentes partes de la instalación.

Existen actualmente muchos días al año en que se encuentra dañado alguno de los grupos de la Central o que hay que hacer reparaciones o limpiezas en algunas de las partes del conjunto hidroeléctrico, lo que trae como consecuencia continuas pérdidas económicas para la Empresa.

Otra deficiencia de la Central se encuentra en los aparatos de protección, en especial de aquellos contra descargas atmosféricas, los cuales debido a su largo y frecuente uso se ob-

encuentran debilitados y hacen que continuamente se quemen las bobinas de los generadores.

También y como es natural, todo el sistema de aparatos de alarma, control y comando es en su aceite anticuado y por lo tanto deficiente para la operación económica de una Central en nuestros días.

Por lo dicho, se hace impresindible, en un futuro cercano, el mejoramiento y renovación parcial de esta Central. Mejora y renovación con las cuales, gracias al rendimiento superior que en la actualidad se obtiene en instalaciones de este tipo, se conseguirá un considerable aumento en la producción de energía eléctrica.

Debo hacer notar, que la construcción del desarenador podría traer como consecuencia el aprovechamiento de los sedimentos y basuras en una fábrica de abones. Es tal la cantidad de estos materiales que arrastran las aguas, que el tanque de regulación pierde rápidamente su capacidad y la basura que se saca de las rejillas podría ser alejada diariamente por camionadas.

Actualmente la Central Hidroeléctrica de Guápiles se compone de las siguientes partes principales:

Tanque de regulación,

Canal de aducción,

Tanque de sedimentación,

Tanque de presión,

Tubería de presión,

Casa de Máquinas y

Canal de descarga.

A la descripción de cada una de estas partes y de sus  
obras adicionales me referiré en los capítulos correspon-  
dientes.

## C A P I T U L O II

DETERMINACION APROXIMADA DE LA POTENCIA A OBTENERSE Y EL TIPO  
DE TURBINAS A INSTALARSE EN LA CENTRAL DE OCAPULO.

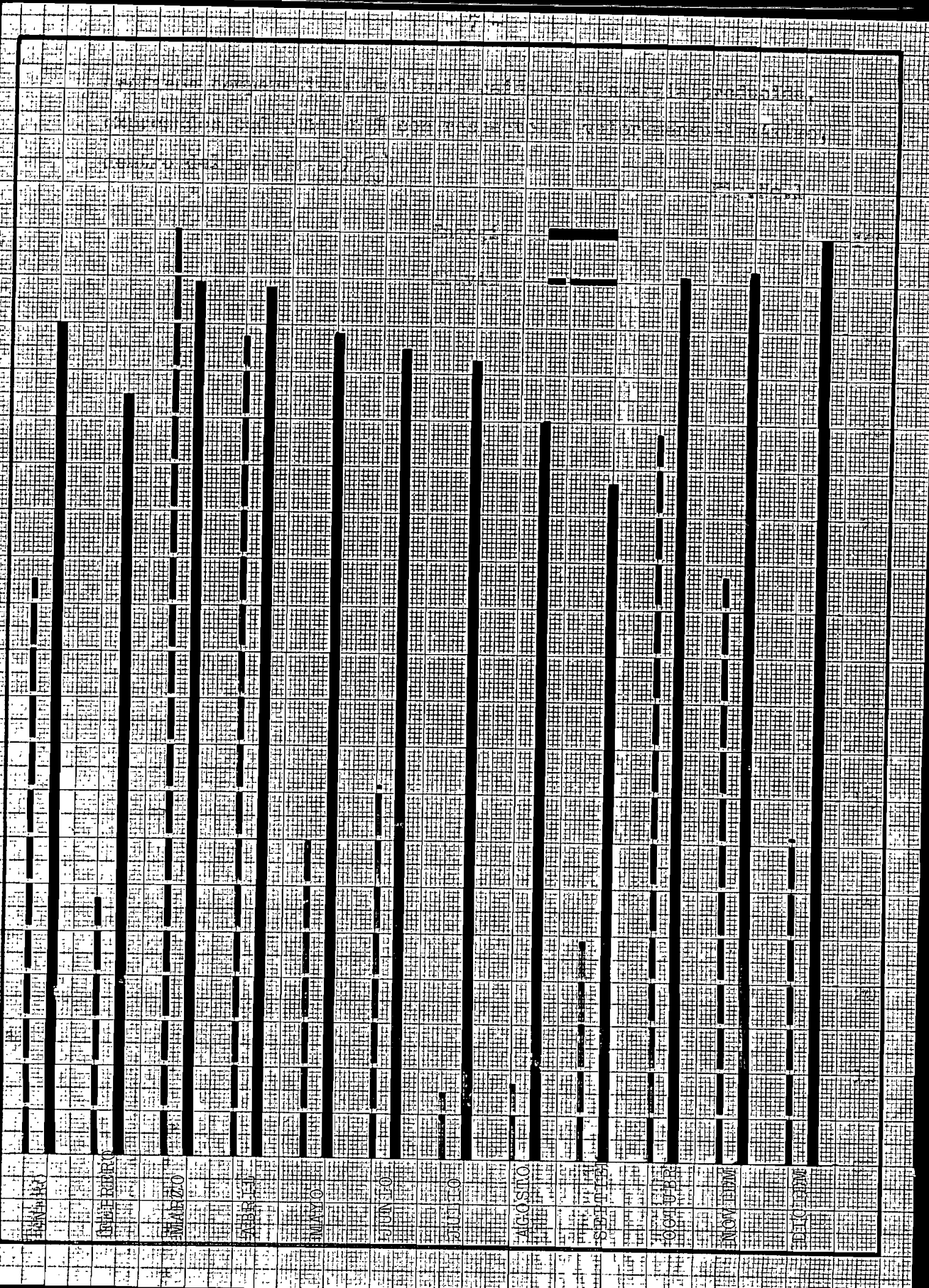
DE TURBINAS A INSTALARSE EN LA CENTRAL DE OCAPULO.

ANTICEDENTES.-

Como antes he dicho, actualmente se puede obtener de la Central de Ocupulo 920 KW. Esta cantidad máxima se genera únicamente durante pocas horas al día, que dependen del caudal de aguas que lleva el río y del volumen almacenado en el tanque de regulación.

Lamentablemente la E.E.Q. no tiene una instalación que permita medir la cantidad de aguas que pasan por el río Ma-chángara o que por lo menos permita saber con exactitud el caudal aprovechado en la Central. Por este motivo he tenido que recurrir a los datos sobre lluvia caída en la ciudad y sus alrededores ( Datos registrados en el Observatorio de Quito y condensados en el Boletín Meteorológico No. 1, de la Dirección General de Meteorología-1.959 ) y efectuar un estudio gráfico comparativo, figs. No. 1, 2, 3, 4 y 5 ( Registro No. 1-ANEXO), entre la lluvia caída y la energía generada. Es decir, constatar si la producción está de acuerdo con la cantidad de agua existente o si se sigue un programa fijo de generación a lo largo del año.

De la observación de los gráficos, se deduce que los meses de mínima lluvia coinciden aproximadamente con los de mínima producción de energía, y que, viceversa los meses de mayor lluvia coinciden aproximadamente con la máxima producción. No



JANERO

FEBRERO

MARZO

ABRIL

MAYO

JUNIO

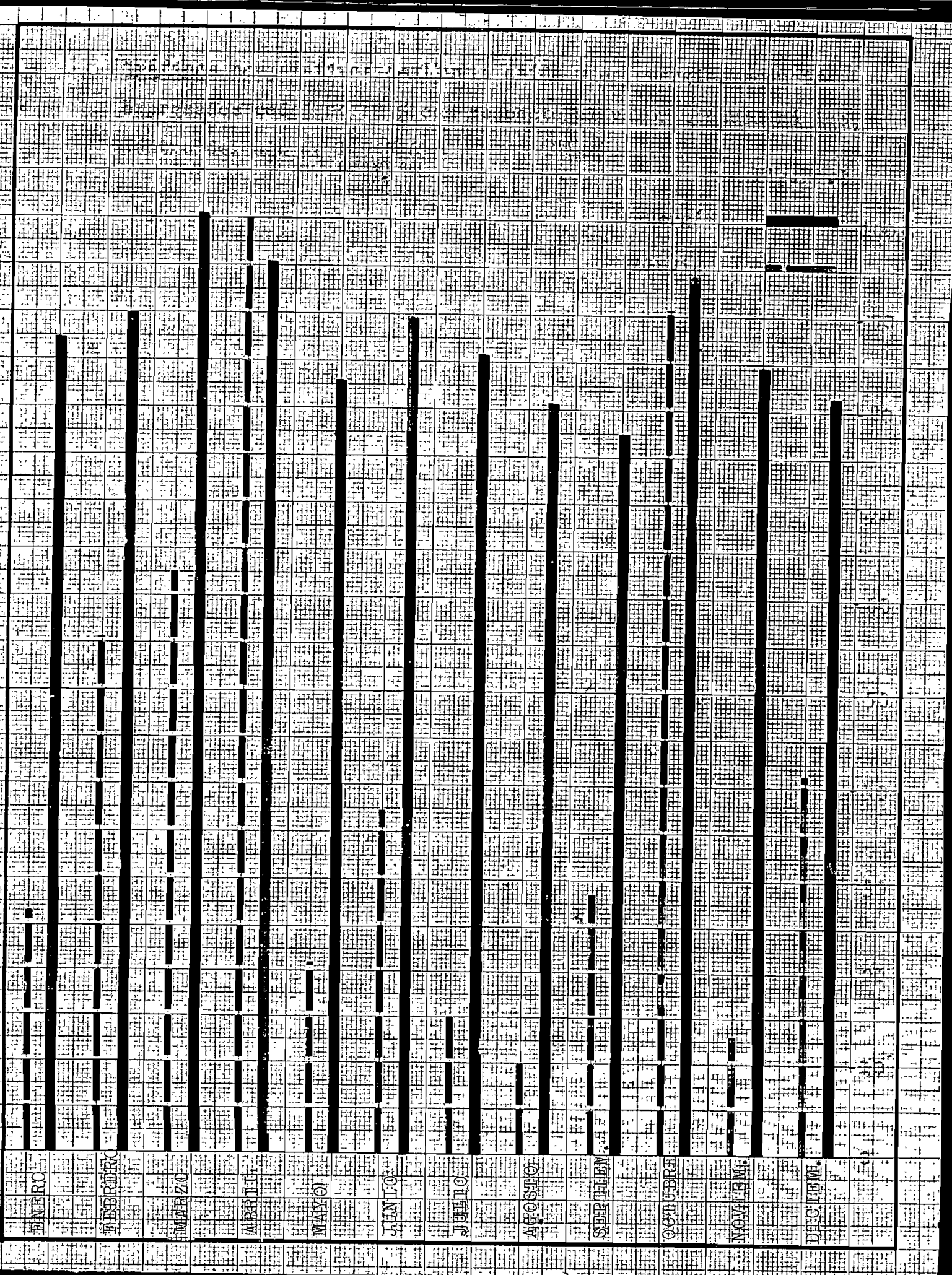
JULIO

AGOSTO

SEPTIEMBRE

OCTUBRE

DICIEMBRE



JUNIO



existe una coincidencia absoluta, en cuanto a este último punto, lo que se debe a que la ciudad de Quito está servida por algunas centrales hidroeléctricas y casi siempre cuando existe agua en uno de los ríos que abastecen alguna de estas centrales, también existe en los otros.

Los únicos meses en que se aprovecha completamente las aguas existentes en el Machángara, son los correspondientes al verano, es decir de Mayo a Septiembre, y sobre todo Julio y Agosto, que son los meses con menor cantidad de lluvias a lo largo de casi todos los años.

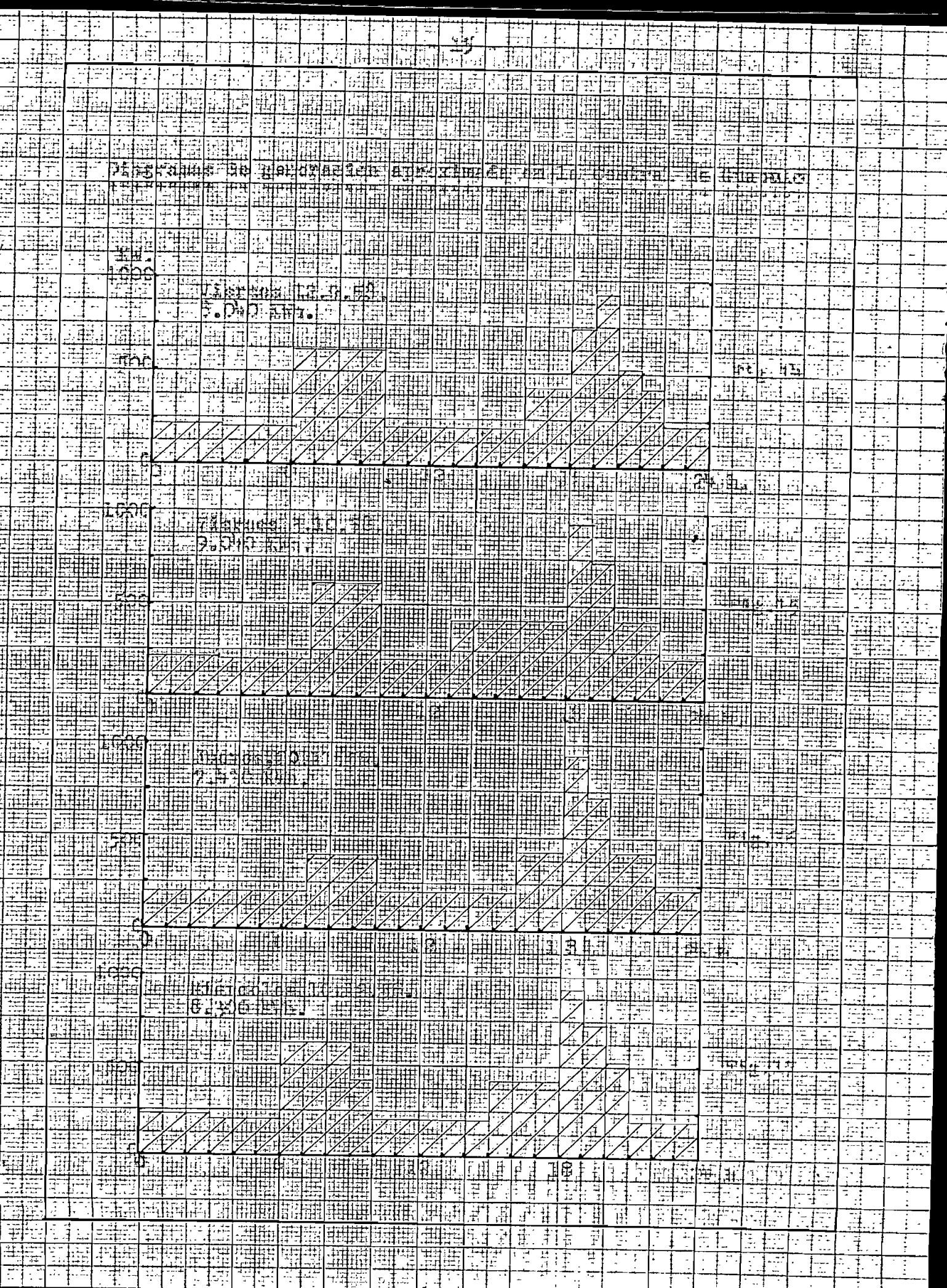
De los diagramas de generación diaria, figuras del No. 6 al 17 ( Registro No. 2- ANEXO ), se obtiene una idea del actual horario de producción en esta Central. Los gráficos corresponden a días de producción media dentro de cada mes del año 1958; días en los cuales todas las turbinas han estado en perfecto estado de funcionamiento y no se han hecho reparaciones o trabajos de ninguna índole en las obras hidroeléctricas correspondientes al conjunto de la Central.

Se observa con relativa facilidad que la explotación se hace siguiendo un horario más o menos preestablecido diariamente, que está de acuerdo con el diagrama de carga de la ciudad y con la cantidad de agua existente en el tanque de regulación.

En las figs. 18 y 19 ( Registro No. 3 - ANEXO ), se ha graficado la curva de generación para el conjunto de centrales que abastecen a Quito; comparándola en la parte inferior con la curva que corresponde a Guápulo. Los dos días utilizados para este fin, son días de producción media dentro de cada mes

Line = 6 1/2 58  
51 1/2 60 1/2





correspondiendo el primero a un día del mes de Abril, que se caracteriza por la abundancia de agua y el segundo a un día del mes de Junio, en el cual comienza la temporada seca de verano.

Potencia generada en Guápulo el 21 de Abril de 1.958:  
13.250 KWh.

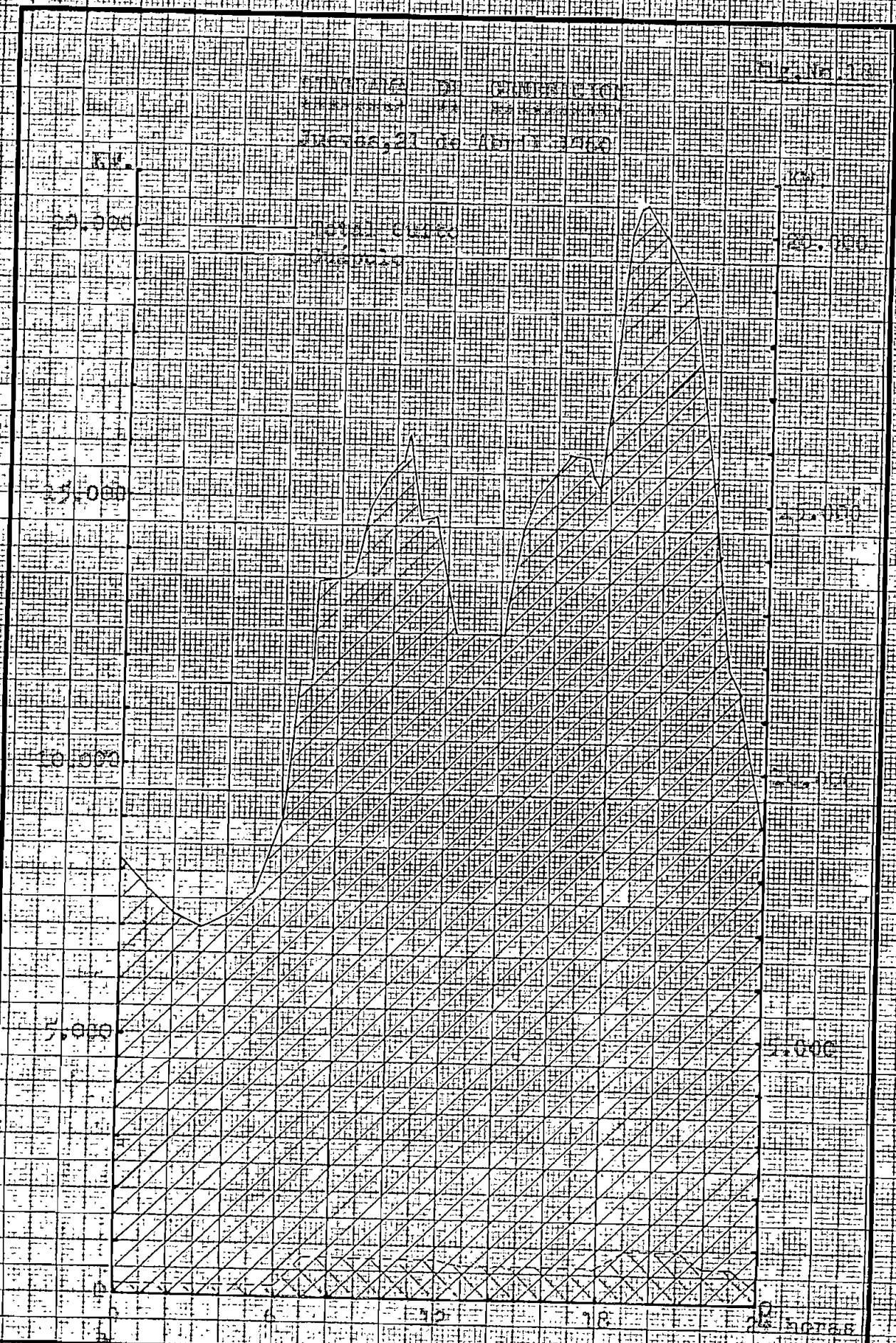
Potencia generada en Guápulo el 29 de Junio de 1.958:  
10.180 KWh.

**POTENCIA MEDIA GENERADA.-**  
~~oooooooooooo oooooo~~

La determinación de la potencia a obtenerse en esta Central en el futuro; potencia para la cual se diseñará las partes de la instalación que sea necesario, la he obtenido haciendo un análisis de la generación en los últimos años. Ha sido ésta la única posibilidad que he encontrado, ya que no existen registros de los caudales que pasan por el río o por las turbinas.

A partir de los registros que lleva la E.P.Q. sobre la energía generada, he tomado aquellos correspondientes a los 5 últimos años: 1954 - 1955 - 1956 - 1957 y 1958 ( Registro No. 4-ANEXO ) y he sacado un promedio de producción de aquellos días en los cuales la Central ha estado funcionando normalmente; días en los cuales no han existido interrupciones a causa de limpiezas, reparaciones, u obras de otra índole y en los cuales la industria trabaja normalmente ( No se ha tomado en cuenta los sábados y domingos ).

En las hojas del registro No. 4 se encuentran copiados los valores de generación durante cada uno de los días de los años mencionados. Las diferentes letras colocadas delante de las



1966, 27 Dec. 1966

1966

1966

1966

1966

1966

1966

1966

1966

1966

1966

1966

1966

1966

1966

1966

1966

1966

1966

1966

1966

1966

1966

1966

1966

1966

1966

1966

1966

1966

1966

1966

1966

232, NO. 19

DIFERENCE OF GROWTH CYCLE

MEASURES, 29 JULY 1950 1050

25.05

25.05

25.05

25.16

25.16

25.16

10.00

10.00

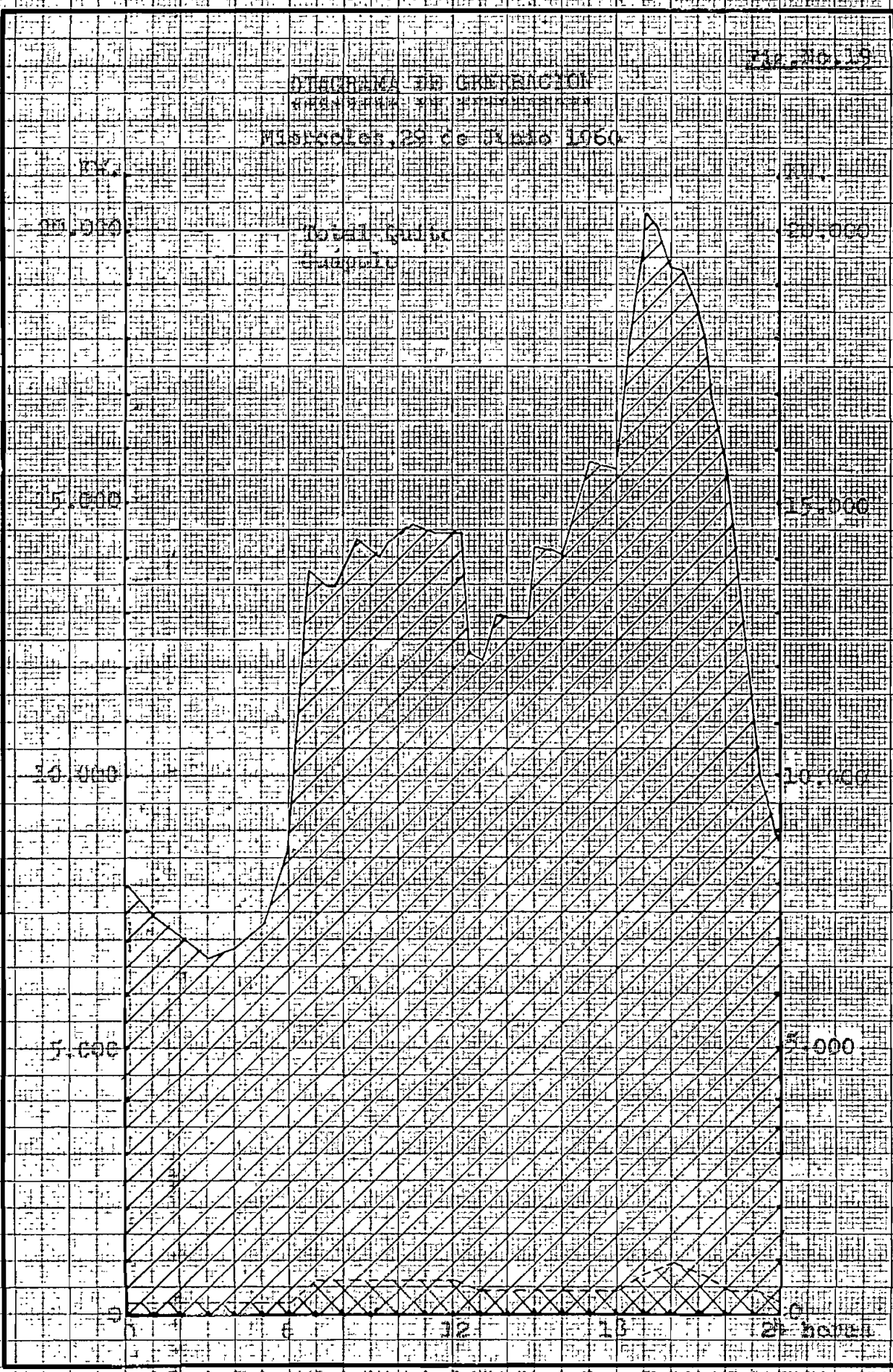
10.00

5.00

5.00

5.00

1 2 3 4 5 6 7 8 9 10 11 12 13 14 15 16 17 18 19 20 channel



cantidades, tienen la siguiente interpretación:

S = Sábado

D = Domingo

X = Día en el que ha existido alguna interrupción parcial o total de la Central.

Al final del registro se encuentra un resumen mensual de la energía generada durante estos años.

Después de efectuar los cálculos necesarios, se ha obtenido que la Central ha funcionado normalmente:

232 días en el año 1954, con un promedio diario de 11.358 KWh.  
236 días en el año 1955, con un promedio diario de 12.532 KWh.  
186 días en el año 1956, con un promedio diario de 11.774 KWh.  
239 días en el año 1957, con un promedio diario de 11.508 KWh.  
236 días en el año 1958, con un promedio diario de 10.123 KWh.  
lo que da un promedio diario de 11.475 KWh. durante los 5 años.

Si se supone, como es muy probable, que la cantidad de agua existente en el tanque de regulación durante la mayor parte de estos años es la razón directa de la generación de esta cantidad de energía, podemos diseñar la nueva instalación para producir la misma potencia con el incremento que se obtiene por el mejoramiento de los rendimientos y la introducción de mejoras a lo largo de toda la instalación.

Para obtener el valor de este incremento, primero tenemos que calcular el caudal con el cual en la actualidad se están obteniendo los 920 Kw.

#### CAUDAL NECESARIO ACTUALMENTE.— \*\*\*\*\* \*\*\*\*\* \*\*\*\*\*

La potencia en Kw, obtenible en una central hidroeléctrica viene dada por la fórmula:

$$H = \frac{3.000 \cdot Q \cdot g \cdot H \cdot \eta}{75 \cdot 0,736}$$

en la cual:

$H$  = Potencia en KW.

1.000 = Peso de un metro cúbico de agua.

$Q$  = Caudal en metros cúbicos/segundo.

$H$  = Altura bruta en metros.

0,736 = Equivalente de un HP<sub>e</sub> en KW.

75 = Coeficiente de reducción de Kilogramos/seg.

a HP<sub>e</sub>.

$\eta$  = Rendimiento total =  $\rho_1 \times \rho_2$

$\rho_1$  = Rendimiento hidráulico

$\rho_2$  = Rendimiento eléctrico

De la fórmula anunciada anteriormente obtenemos aquella que nos da el caudal:

$$Q = \frac{25 \cdot H \cdot \eta}{736 \times H \times \rho_1 \times \rho_2}$$

En la cual los valores respectivos a reemplazarse son:

$H = 1$  KW.

$\eta = 54,70$  ( Dato proporcionado por la empresa eléctrica Quito ).

$\rho_1 = 0,74$  \*

$\rho_2 = 0,87$  \*\*

Los valores anotados como rendimientos promedios de las turbinas y generadores son sumamente bajos, pero los he elegido así por tratarse de turbinas muy antiguas, debiendo haber sufrido los análogos descalabros, porque estos están más bajos,  $\rho_1 = 0,73 \sim 0,85$  ( Hydroville Turbina - Bingham )

\*\*  $\rho_2 = 0,86 \sim 0,92$  ( Mamallí Bopli - pág. 973 - Ing. P. Oppizzi )

Algunas de las razones para haber tomado como coeficientes de rendimiento los valores anotados son:

- 1.- La edad de las turbinas de esta Central oscila entre 55 y 40 años.
- 2.- Las diferentes partes de la Central se someten a frecuentes reparaciones.
- 3.- Las piezas que sirven para repuesto de las piezas originales se fabrican en los talleres de la Empresa.
- 4.- Estos valores son los más bajos indicados en numeros publicados entre 1910 y 1920.

Reemplazando los valores respectivos, obtengo:

$$Q = 0,002893 \text{ mts}^3/\text{seg.}$$

Lo que quiere decir, que para producir un FW, en esta Central, bajo las condiciones actuales, se necesitan 2,893 lts./seg. o sea que bajo condiciones normales de generación los cuatro grupos requieren un caudal de:

$$Q = 0,002893 \times 920 = 2,66 \text{ mts}^3/\text{seg.}$$

CONCLUSIÓN.- Si considero la cantidad de agua que sale del tanque de regulación, estando éste lleno ( por la compuerta del canal ), obtengo un valor aproximadamente igual. En base del siguiente cálculo:

$$Q = c \cdot v \cdot s$$

Fórmula en la cual:

$c$  = Coeficiente de contracción en orificios

de paredes cuadradas = 0,6

$v$  = Velocidad de salida del líquido =  $\sqrt{2,8 \cdot h}$

$s$  = Sección del orificio =  $a \cdot b$

$$Q = \pi \sqrt{2 \cdot g \cdot h} \cdot a \cdot b$$

En la cual:

b = Altura que se sube la compuerta del tanque de regulación cuando funcionan los cuatro grupos = 0,23 mts.

a = Ancho de la compuerta = 1,85 mts.

h = Altura de presión media = 5,52 mts.

( altura máxima del agua con tanque de regulación lleno = 5,64 mts. )

$$Q = 0,6 \sqrt{2 \times 9,81 \times 5,52 \times 1,85 \times 0,23}$$

$$Q = 2,66 \text{ mts}^3/\text{seg.}$$

#### ELECCION DEL TIPO Y NUMERO DE TURBINAS.-

\*\*\*\*\* \* \* \* \* \*

La elección del tipo

de turbina está subordinada a algunos factores, entre los que se pueden citar: el número de r.p.m. que podemos dar a las nuevas unidades y la potencia de las mismas; factor éste, que a su vez depende del caudal de que dispongamos y de la altura de caída.

A pesar de que los costos para la instalación de un sólo grupo de mayor potencia serían más bajos que los de instalar dos pequeños de igual valor, las siguientes razones me han decidido por la segunda solución.

a.- Una mayor flexibilidad para acomodarse al diagrama de carga de la ciudad,

b.- Una mayor flexibilidad para acomodarse a la cantidad de agua existente en el tanque de regulación,

c.- La necesidad de mantener una menor cantidad de repuestos que tratándose de dos grupos de diferentes

dimensiones,

4.- En caso de fallar un grupo, se puede seguir aprovechando el salto con el otro, es decir la Central no se paralizaría totalmente.

A base del valor obtenido como caudal máximo y de la altura bruta, calcula la velocidad específica de los grupos a instalarlos. Para facilidad de construcción del generador escoge una velocidad relativamente alta ( pocas pares de polos ).

$$Q = 1.330 \text{ lts./seg.}$$

$$H = 54,7 \text{ mts.}$$

$$n = 900 \text{ r.p.m.}$$

Con los dos primeros valores obtiene una potencia térmica de:

$$N = 10 \cdot Q \cdot H$$

$$N = 10 \times 1,33 \times 54,7$$

$$N = 726 \text{ KW.}$$

y la velocidad específica será:

$$n_s = \frac{N}{P} \sqrt{\frac{H}{\rho}}$$

$$n_s = \frac{900}{54,7} \sqrt{\frac{726}{\rho}}$$

$$n_s = 163 \text{ revoluciones}$$

De acuerdo con los textos de hidráulica al valor de  $n_s$  igual a 163, corresponde a turbinas Francis Normales, cuya rendimiento hidráulico oscila entre 0,89 y 0,94\*

Por consiguiente se instalarán dos turbinas del tipo Francis, cuya altura de succión será:

---

\* Saltos de Agua y Presas de Embalses - Tomo I - pág. 1.032  
Gómez Navarro y Juan Aracil.

$$H_s = B - C \cdot H$$

En la cual  $B$  es en vez así:

$$B = 10 = 0,0012 \cdot h$$

En esta fórmula  $h$  representa la altura de la Central hidroeléctrica sobre el nivel del mar. En el caso de Guadalupe, aproximadamente 2.532 mts. ( valor tomado de una compilación de las hojas del levantamiento topográfico, realizado por el Servicio Geográfico Militar, y proporcionado por la E.E.Q. ).

$$B = 10 = 0,0012 \times 2.532$$

$$B = 6,96$$

$H$  = altura de caída

$C$  = coeficiente de cavitación, que depende de la velocidad específica. ( Según el diagrama trazado en la obra Saltos de Agua y Presas de Mabalca de Gómez Navarro, pág. 930, obtengo para este coeficiente el valor de 0,07 ).

Al cumpliendo los valores respectivos en la fórmula, se obtiene:

$$H_s = 6,96 - 0,07 \times 54,7$$

$$H_s = 3,13 \text{ mts.}$$

Este valor me indica que existirá una altura de aspiración suficiente para evitar la formación del fenómeno de cavitación.

#### POTENCIA OBTENIBLE.- \*\*\*\*\* \*\*\*\*\*

El principal incremento de potencia lo obtendremos gracias a los rendimientos superiores de los grupos a instalarlos.

Como ya lo dijimos, el rendimiento mínimo de las turbinas Francis, con un  $n_s$  igual a 163 es 0,89.

$\rho_1$  = rendimiento de las turbinas = 0,89

$\rho_2$  = rendimiento de los generadores = 0,94

$$n = \frac{0,61 \times 0,7 \times 0,89 \times 0,94}{75} \times \rho_1 \times \rho_2$$

$$n = \frac{0,61 \times 0,7 \times 0,89 \times 0,94}{75}$$

$$n = 1,190 \text{ KW.}$$

Lo que quiere decir que con el presente proyecto se conseguirá por lo menos un incremento de 270 KW., que representa un aumento aproximado al 30%, sobre los valores de producción actual.

Al aplicar este porcentaje de incremento sobre el promedio diario deducido anteriormente, obtengo la cantidad de energía que en un futuro será posible obtener en la Central de Quápuo.

$$11,475 + 3,440 = 14,900 \text{ KWh. por dia}$$

Para generar esta potencia elijo dos grupos de 400 KW. que funcionarán de acuerdo al siguiente horario:

GRUPO A.-	24 horas continuas	9.600 KWh.
GRUPO B.-	de 7 a.m. a 12 m.	2.000 KWh.
	de 2 p.m. a 10 p.m.	3.200 KWh.
		14.800 KWh.

Con este valor de la potencia, vuelvo a calcular la velocidad específica de las turbinas, la cual será:

$$n_s = \frac{n}{H} \sqrt{\frac{H}{VH}}$$

$$n_s = \frac{900}{54,7} \sqrt{\frac{400}{54,7}} = 121$$

001496

Valor con el cual el rendimiento de las turbinas disminuye un poco, para quedando aproximadamente entre los mismos límites mencionados de 0,89 y 0,9%.

En el caso de querer elegir un número de revoluciones mayor para la turbinas, para de este modo llegar a un valor más alto de  $n_s$  ( con el cual según los materiales se obtendría un rendimiento ligeramente superior ) favoreceríamos el fenómeno de cavitación de las mismas, lo que traería consigo el cambio más frecuente de los diferentes elementos de las turbinas.

C A P I T U L O                    III  
oooooooooooooo+ooooo

T A N Q U E   D E   R E G U L A C I O N  
ooooooooooooo+ooooo

ANTecedentes.-  
ooooooooooooo

El tanque de regulación, tal como su nombre lo indica, tiene el objeto de almacenar agua en las horas de abundancia y de menor consumo, para gastarla en las horas de mayor demanda, de modo que la Central pueda dar una potencia superior que aquella que daría únicamente con el caudal corriente del río.

En el caso de Guápulo existe actualmente un tanque de regulación diaria ( fotografía No.1 ), ubicado sobre el río Machángara a una altura aproximada de 2.590 mts. sobre el nivel del mar y que se alimenta con las aguas de este río y las de unas vertientes cercanas.

Fue construido en la misma época que el resto de la Central, pero en años posteriores se le hicieron algunos cambios, como el aumento de la capacidad, mediante el aumento de altura del dique, cambios en las compuertas, construcción de un sistema de aducción de aguas para limpieza, etc., La altura aumentada en el muro del dique, hubo que volver a disminuirlo hace unos 6 años, debido a que el aumento de presión produjo daños en una de las compuertas.

El tanque se halla situado en un empachamiento y sucesivo estrechamiento del río. Este último ha sido cerrado con la construcción de un dique de aproximadamente 8 mts. de al-



Fotografía No. 1 - Tanque de regulación  
de la Central Hidroeléctrica de Guápulo.

tura y 40 mts. de ancho.

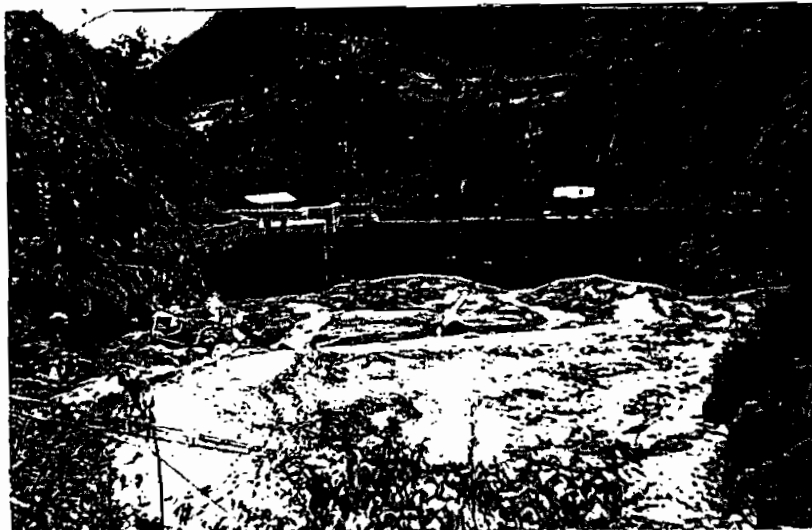
El tanque de regulación adquiere, cuando se encuentra lleno, la forma aproximada de un embudo, -con la parte ancha hacia aguas abajo-, de una longitud aproximada de 110 mts. (Plano No. 1). Se encuentra situado en un terreno cuyas paredes laterales están formadas en su mayor parte por roca. Hacia la parte de atrás y a manera de una isla, se levanta un pequeño promontorio del mismo material. Aún más atrás, en el sitio donde el río forma un recodo, se encuentra una planicie, formada en gran parte por cangahua, la cual sería posible remover si fuera necesario aumentar las dimensiones del tanque.

Actualmente este tanque no cumple a cabalidad sus funciones, debido a que su capacidad se halla disminuida en una enorme proporción con respecto a sus posibilidades, lo que se debe a la gran cantidad de material sedimentado que arras-

trado por las aguas del río, ha venido a depositarse aquí ( fotografía No. 2 ) y que en parte, por la mala ubicación de la boca de salida al río no puede ser eliminada con rapidez en las horas de limpieza:

A pesar de que la E.E.Q. ordena realizar una limpieza semanal de este tanque, con la cantidad de personal destinado a este objeto que trabaja sólo 8 horas y con los medios de los que disponen; a lo largo de algunos meses que he realizado observaciones, he visto que apenas logran remover una infinita parte de este material, cantidad que sólo permite que las compuertas de salida al canal y las de limpieza se encuentren más o menos libres.

Para las limpiezas que se realizan actualmente se aprovecha el agua de las vertientes situadas a poca distancia, que por su altura permiten obtener cierta presión a la salida de las tuberías. Estas aguas se conducen desde su nacimiento por



Fotografía No. 2 - Tanque de Regulación durante una de las limpiezas ( compárese el tamaño del hombre - flecha - con la cantidad de material sedimentado ).

una tubería de cemento hasta alcanzar un pequeño tanque, desde el cual, por tuberías de acero se alimenta algunas mangas provistas de pitones en sus extremos.

Esta obra fué construida posteriormente al tanque de regulación. Hoy en día se encuentra deteriorada en diferentes partes, siendo necesario efectuar algunas mejoras.

Las principales mejoras generales, aconsejables en el tanque de regulación son:

- 1.- Limpieza total de los sedimentos depositados en el fondo,
- 2.- Reparación de una de las compuertas del dique,
- 3.- Reparaciones y mejoras en la obra de aducción de aguas provenientes de la vertiente cercana.

De estas obras trataré más adelante.

#### DETERMINACION DE LA CAPACIDAD ACTUAL DEL TANQUE DE REGULACION.-

Por cuanto la Empresa Eléctrica Quito no dispone de los datos relativos a esta capacidad, la he obtenido a base de un levantamiento topográfico y de los cálculos respectivos ( Registro No. 5 - ANEXO ), plano No. 1 .

El levantamiento lo he realizado aprovechando de los vecindados nómadas del tanque. No ha sido posible determinar esta capacidad con el 100% de exactitud, puesto que, como ya lo manifesté, no se desalojan por completo los materiales sedimentados.

Los puntos más profundos los he podido medir gracias a los cauces que entre este material forman las aguas que siguen corriendo através del reservorio y que junto con las aguas de la vertiente cercana se aprovechan para desalojar, siquiera en par-

te, los materiales acumulados a lo largo de la sección de tra-  
bajo.

La capacidad la he calculado para cotas crecientes, a par-  
tir de la cota inferior ( 92,1 ), correspondiente al borde in-  
ferior de la compuerta de limpieza. Pero la capacidad útil es  
únicamente aquella comprendida entre el borde inferior de la  
compuerta de salida hacia el canal de aducción ( 93,46 ) y el  
nivel máximo de las aguas sin rebasar la cresta del dique.

Los volúmenes sucesivos, obtenidos a partir de la base,  
para las diferentes cotas son:

<u>COTA</u>	<u>VOLÚMEN EN m<sup>3</sup></u>
92,1	0
92,5	6,88
93,0	138,88
93,46	459,14
93,5	496,58
94,0	1.064,98
94,5	1.887,98
95,0	2.971,38
95,5	4.155,30
96,0	5.493,16
96,5	6.947,88
97,0	8.496,26
97,5	10.183,17
98,0	12.023,88
98,5	13.994,09
99,0	15.999,70
99,1	16.434,30

Resumiendo los resultados obtenidos en este levantamiento, creo conveniente hacer resaltar los siguientes datos:

Superficie del nivel libre del tanque de regulación (completamente lleno)..... 4,222 mts<sup>2</sup>  
Capacidad útil del tanque de regulación ..... 15.975,16 mts<sup>3</sup>.  
Capacidad para sedimentos..... 459,14 mts<sup>3</sup>.  
Capacidad total del tanque de regulación..... 16.434,30 mts<sup>3</sup>.

**ESTUDIOS SOBRE LA CONVENIENCIA O NO DE AUMENTAR LA CAPACIDAD  
DEL TANQUE DE REGULACION.**

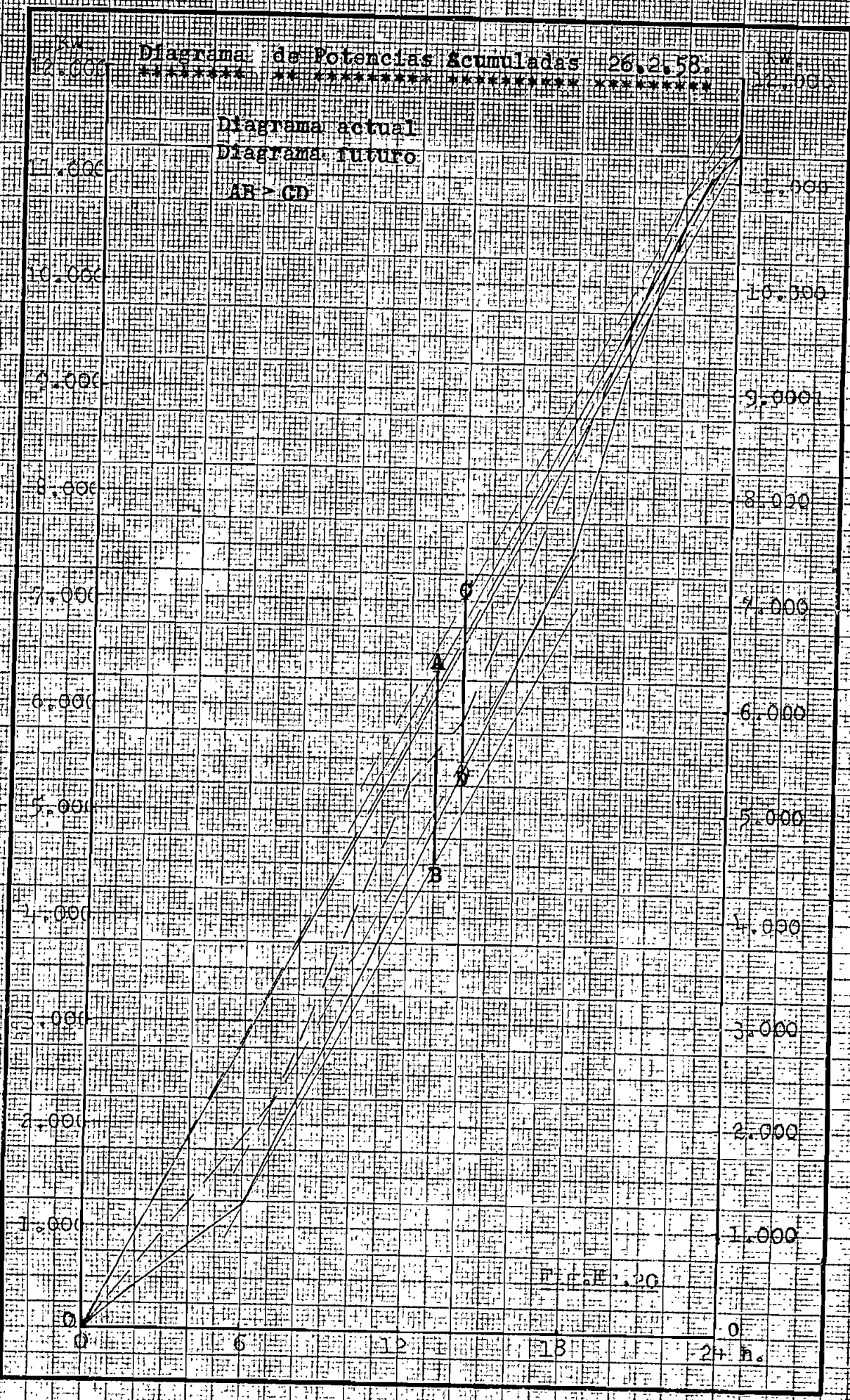
Para este estudio se ha servido de un método gráfico. En las figuras 20, 21 y 22 se representando los KWh. acumulados, producidos en Quápula en 24 h. La generación de esta energía, como es natural, está en relación directa con el caudal que ha pasado por las turbinas y en consecuencia con el volumen líquido existente en el tanque de regulación.

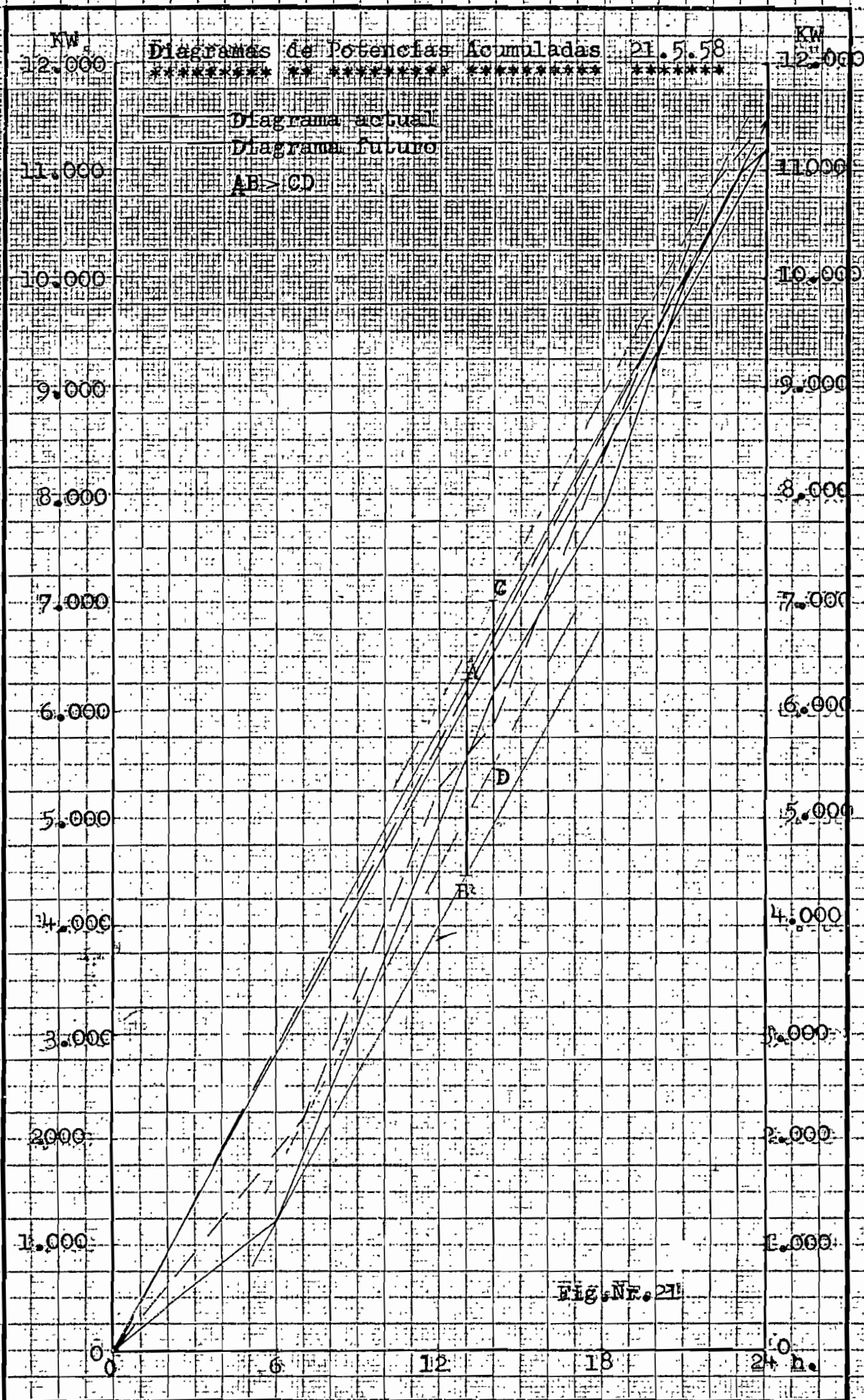
Los diagramas corresponden a días en los cuales la cantidad de energía generada es aparentemente igual al valor promedio obtenido para los 5 años.

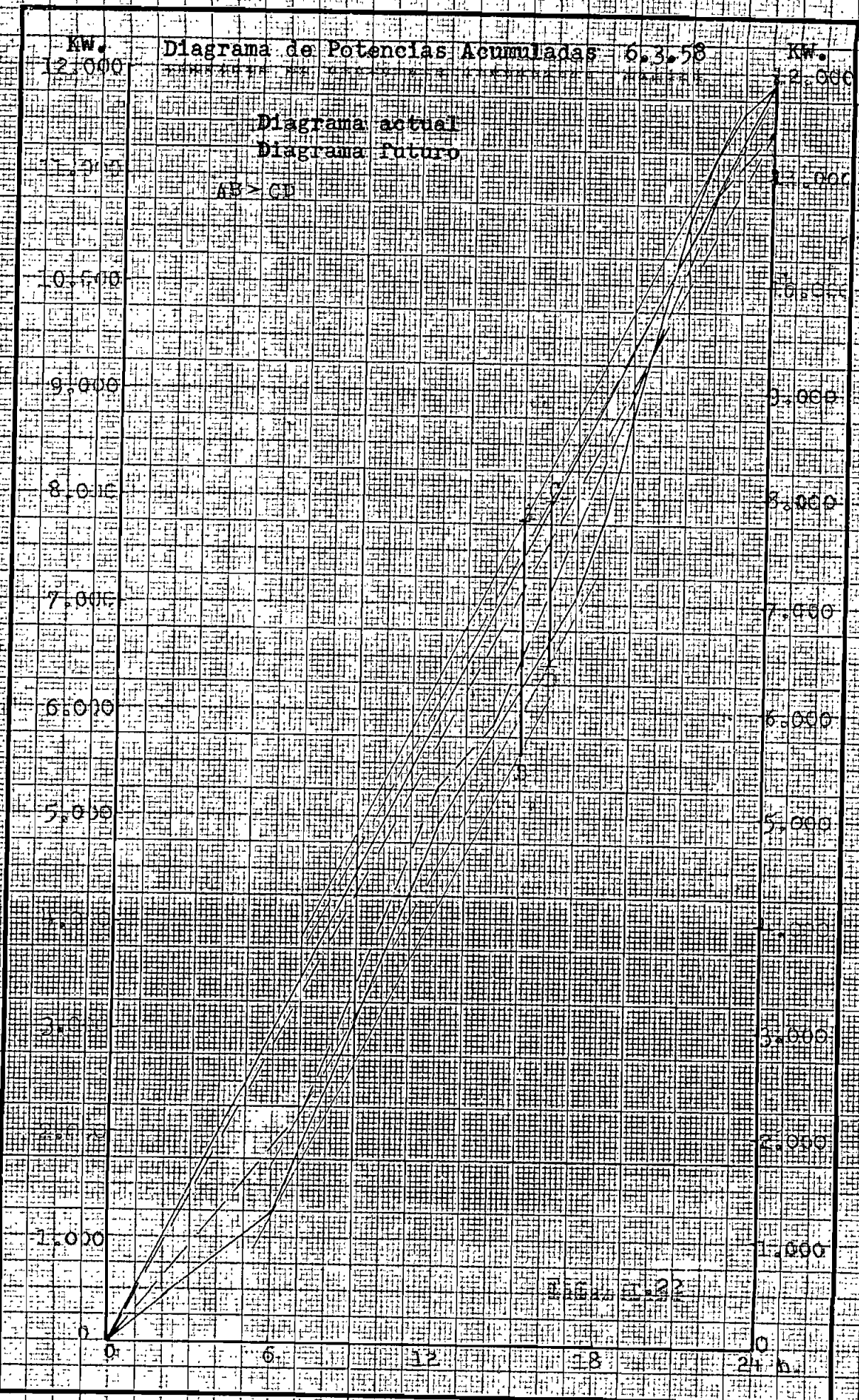
La capacidad del tanque de regulación debe ser tal, que pueda alimentar a las turbinas con el caudal necesario durante el horario de producción previsto para el futuro.

Este horario será:

de 12 p.m. a 7 a.m. .... 400 KWh. por hora  
de 7 a.m. a 12 m. .... 600 KWh. por hora  
de 12 m. a 2 p.m. .... 400 KWh. por hora  
de 2 p.m. a 10 p.m. .... 600 KWh. por hora  
de 10 p.m. a 12 p.m. .... 400 KWh. por hora.







Si la E.E.Q. lo creyera conveniente, en aquellos días en que la cantidad de agua sea suficiente, se podría obtener la potencia de 800 KW. durante las 2<sup>4</sup> horas del día, mediante la ampliación del tanque de regulación.

MÉTODO EMPLEADO.— En los diagramas que se han mencionado, se ha materializado los valores de potencia generada, acumulados en las 2<sup>4</sup> horas del día. La recta que une los extremos de estos diagramas representa el caudal afluente, teóricamente <sup>constante</sup> a lo largo del día.

La capacidad mínima necesaria del depósito se determina trazando desde los puntos más alejados del diagrama de potencia, tangentes paralelas a la recta que une sus extremos. La distancia vertical entre estas paralelas representa la energía que con el salto H ( 5,7 mts. ) puede dar el agua acumulada en el depósito. De élla, através de una constante se puede deducir la capacidad necesaria del tanque, ya que los diagramas de energía y escorrentías o volúmenes son homólogos.

En los gráficos he utilizado los datos correspondientes a los días: 26 de Febrero, 6 de Abril y 21 de Mayo de 1.958 ( linea continua ) en cuyos días se han generado 11.400, 11.440 y 11.670 KWh, respectivamente ( Registro No. 2-20010 ).

Para ver si la capacidad del tanque de regulación es suficiente, basta superponer el diagrama de producción futura al actual, reduciendo previamente los valores futuros a actuales: es decir que a cada 400 KWh, que se producen con la nueva instalación corresponden actualmente 310 KWh, y de acuerdo al horario fijado se obtiene los diagramas respectivos ( línea punteada ).

En las figs. No. 20, 21 y 22 se observa que el valer de la vertical C - D, es menor que la vertical A - B, lo que quisiera decir que con el nuevo horario se necesitaría un tanque de regulación de menor capacidad que el existente. Con lo que queda comprobado que la capacidad del tanque de regulación no necesita ser ampliada para satisfacer las exigencias de la nueva instalación.

**MEJORAS A REALIZAR EN ESTA PARTE DE LA INSTALACION.**

1.-<sup>o</sup> **LIMPIEZA DE SEDIMENTOS** .- Para esta limpieza sería conveniente que la E.E.Q. designe un personal suficientemente numeroso y provisto de los medios adecuados para remover todo el material sedimentario, incluyendo grandes piedras que arrastradas por las fuertes crecientes de años pasados han caído e depositarse en el fondo de este tanque.

será también conveniente, debido a la falta de energía eléctrica por la que actualmente atraviesa la ciudad, al esperar para realizar este trabajo, hasta que esté en funcionamiento la nueva Central Hidroeléctrica de Cumbayá; para que ésta pueda suplir la energía que genera la Central de Ospáculo, ya que una limpieza completa requeriría algunos días, por no decir semanas.

Con la realización de este trabajo se obtendría una mayor efectividad en la producción de energía. Una vez efectuada esta limpieza no debería descuidarse, en cada vaciado posterior, el desalojoamiento completo de los materiales sedimentados.

Además, si las condiciones económicas de la E.E.Q. lo permiten, debería aumentarse el espacio previsto para sedimentos y proceder a revestir el fondo con una capa de hormigón, de pen-

diente adecuada hacia la compuerta de limpieza.

**2.- REPARACION DE UNA DE LAS COMPUERTAS DEL DIQUE.-**

En este caso me refiero a la compuerta que da al río y que sirve para permitir la salida de las aguas en el vaciado del tanque.

La lámina metálica de esta compuerta se encuentra parcialmente deteriorada, siendo conveniente su reemplazo por una nueva. El resto de las piezas correspondientes a la compuerta, es decir la cerradura y piezas de unión de la misma, pueden volver a utilizarse, ya que su estado actual es relativamente bueno.

La nueva compuerta, al igual que la anterior, debe ser metálica, formada por tres láminas de hierro de 0,5; 0,5 y 0,55 mts. de ancho respectivamente, por 1,9 mts. de largo, reforzadas, tal como se muestra en la fig. No. 23, con hierros perfilados.

El espesor de las chapas de hierro lo obtengo del siguiente cálculo:

$$e = 5,2 \sqrt{\frac{30}{C} \cdot t} ^*$$

En la cual:

e = Espesor, en mts.

m = Altura de la lámina, en mts.

t = Profundidad del agua desde el nivel libre hasta el filo inferior de la lámina, en mts.

C = Coeficiente de trabajo del material, en Ngs./mt<sup>2</sup>.

Para la lámina inferior:

$$e = 5 \times 0,5 \sqrt{\frac{30}{31000,680}} ?$$

$$e \approx 1,3 \text{ cmts.}$$

Para la lámina intermedia:

$$e = 5 \times 0,5 \sqrt{\frac{30}{31000,680}} 0,5$$

$$e = 1,25 \text{ cmts.}$$

Para la lámina superior:

$$e = 5 \times 0,55 \sqrt{\frac{30}{31000,680}} 0 \approx 1,3 \text{ cmtrs.}$$

Por ser las tres láminas de espesores más o menos similares, escogió el espesor de 15 mm. para las tres. Valor en el cual están incluidos aproximadamente 2 mm. para tener en cuenta la posibilidad de oxidación. Las dimensiones de la anchura horizontal de la compuerta se obtienen de las tablas respectivas, a partir del siguiente cálculo:

$$W = \frac{M_{\max}}{C_r}$$

En la cual:

W = Momento resistente

M = Momento

C<sub>r</sub> = Coeficiente de trabajo del material

$$M_{\max} = \frac{200 \cdot 1^2 \cdot (t_1 \cdot t_1 + t_2 \cdot t_2)}{8}$$

En la cual:

l = Longitud de los hierros perfilados

$$= 1,84 \text{ mts.}$$

a Y B = Distancia del nervio en consideración a los nervios vecinos.

t<sub>1</sub> y t<sub>2</sub> = Profundidad del agua desde el nivel libre

hasta el nervio inmediato inferior y el nervio en consideración respectivamente.

Reemplazando valores:

Viga 1       $N_{\max} = \frac{500 \times 1,84^2}{8} = 90,2 \text{ kN}$   
(inferior)

$$N_{\max} = 745 \text{ kiloga.}$$

$$W = \frac{745}{8} = 93 \text{ cm}^3.$$

Viga 2       $N_{\max} = \frac{500 \times 1,84^2 (0,5 \times 7 + 0,5 \times 6,5)}{8}$

$$N_{\max} = 1,435 \text{ kiloga.}$$

$$W = \frac{1,435}{8} = 179 \text{ cm}^3,$$

Viga 3       $N_{\max} = \frac{500 \times 1,84^2 (0,5 \times 6,9 + 0,35 \times 6,2)}{8}$

$$N_{\max} = 1,390 \text{ kiloga.}$$

$$W = \frac{1,390}{8} = 174 \text{ cm}^3.$$

Viga 4       $N_{\max} = \frac{500 \times 1,84^2 \times 0,95 \times 0}{8}$

$$N_{\max} = 700 \text{ kiloga.}$$

$$W = \frac{700}{8} = 87,5 \text{ cm}^3.$$

Según las normas DIN 1.025-heja 1 (\*); los perfiles en I que deberían utilizarse, son:

Viga 1      I = 16

Viga 2      I = 20

Viga 3      I = 20

Viga 4      I = 16

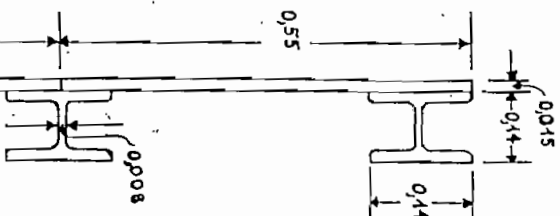
\*Gesetzliche TÜV-Schaltungsordnung (Manual para Instalaciones "o Mandobrot") - pág. 1412 = Zug, díltorgo tibpanar.

para una recogida de agua

tradicional de la convierte en algo

bastante igual a 1/4, según

DIN 10025 - hoja 2.



Para conseguir una lejor difusión de la velocidad, que la que es la del aire en contacto en el umbral de la compuerta, será conveniente colocar un tablón acoplado, apoyando sobre soleras de muro y lado a lado entre placas planas de ladrillo.

cc.

La experiencia que actualmente se tiene para las casas con sujeción a tierra de su techo de acuerdo se encuentra en que es más fácil la limpieza recomendable en reemplazo por una más adecuada, por el gran costo que traería con ello.

3.- DISEÑO DE LA OBRA DE  
DRENAJE DE AGUAS PARA LIMPIEZA  
y desague de estos mismos basados

EN: DISEÑO EN FUNDACIONES  
y sus sistemas de drenaje.

Como ya se mencionó, enic-

te, a spacio uno 150 mts. de distancia y a una gota 30 mts.  
superior, una vertiente de agua

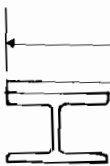


Fig. N° 23

Escala 1:10

ma turial que se aprovecha para incrementar la cantidad de aguas existentes en el tanque de regulación o también para recoger los sedimentos depositados en éste. Las obras de aducción de estas aguas se encuentran en pleno estudio. Algunas de los duros se pueden observar en las fotografías adjuntas Figs. 3, 4 y 5. En donde se han ejecutado con flochas algues escamas de aguas, que por este motivo no son aprovechadas para un trabajo de limpieza más eficiente.

Haciendo del sitio en donde las aguas afloran a la superficie bordeante nos encontramos con una conjunta (foto - gráficas 3 y 4) que ha sido colocada en previsión de algún derrame y para facilitar las obras de reparación en el canal y



Fotografía Nro. 3

Escamas de agua en la compuerta existente al comienzo de la obra de atención de aguas.

Fotografía No. 4

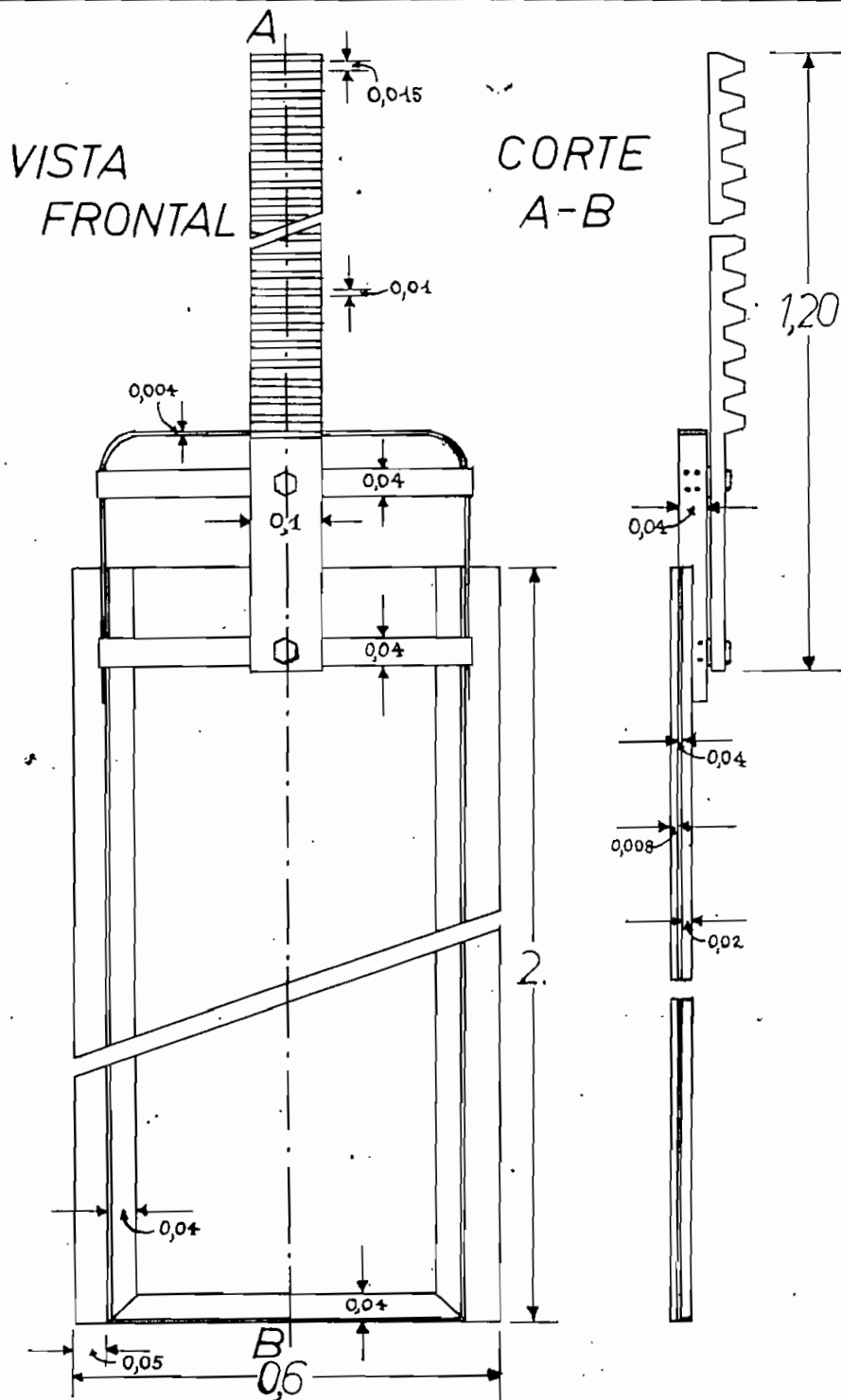
Escapes de agua en la  
misma compuerta mencio-  
nada en la fotografía  
anterior.



tuberías de conducción.

Como se puede observar en el lugar, esta compuerta, que es de lámina de hierro, no ha sido utilizada durante muchos años e inclusive se ha retirado el mecanismo previsto para su elevación. En la lámina se han producido, debido a la co-  
rrosión, un sinfín de orificios y rajaduras, que permiten el escape del agua.

La compuerta descansa en su parte inferior sobre un lecho de piedra, pero el agua se ha abierto paso por encima y por debajo de ésta, como se puede ver en la fotografía No. 3,  
escapándose por allí.



## COMPUERTA

ESCALA 1:10

Fig. Nr. 24

Proyectó: Carlos Katz

Dibujó: Carlos Katz

Director de Tesis:

Dic. 1960

CONSTRUCCIÓN DE UNA PUERTA DE PIEDRA.— Para aprovechar los mismos marcos laterales existentes, formados por dos hierros en ángulo, colocados en la siguiente forma  . Vuelvo a diseñar la compuerta de lámina de hierro ( fig. No. 2<sup>a</sup> ).

La compuerta tendrá las siguientes dimensiones:

$$Luz = 0,60 \text{ mts.}$$

$$\text{Altura} = 2 \text{ mts.}$$

De dicha luz, 5 mts., a cada lado serán para correr en el marco,

Lateralmente y en el fondo, tal como se indica en la figura No. 2<sup>a</sup> se colocarán ángulos de 40 x 20 x 4 mm.

El espesor de la chapa lo obtengo a base del siguiente cálculo:

$$e = 5,0 \text{ mts.} \sqrt{\frac{30}{G_f}} t$$

Fórmula cuyos términos han sido explicados con anterioridad. Para  $m$  asumo 0,5 mts. y para  $G_f = 800 \text{ Kiga/mts}^2$ ,

$$e = 5 \times 0,5 \sqrt{\frac{30}{0,000,800}} 2,0$$

$$e = 6,5 \text{ mm.}$$

Debido a que la lámina de hierro está expuesta a la oxidación, añado por este concepto 1,5 mm. O sea que la compuerta se fabricará de una chapa de 8 mm. de espesor y deberá ser pintada exteriormente con pintura anticorrosiva.

La parte inferior a la compuerta deberá reconstruirse de mampostería de piedra y en el umbral de la misma, para conseguir una impermeabilización suficiente, será conveniente colocar un tablón acoplillado, que apoyará sobre una solea de hierro.

En la parte superior, tal como se indica en la fig. No. 24, se proveerá la compuerta de una armazón igual a la existente en la actualidad, para el caso de querer isarla con un mecanismo adecuado.

RECOMENDACIONES. A lo largo de la tubería que conduce las aguas, desde el nacimiento de la vertiente hasta su punto más bajo, deben realizarse algunas reparaciones.



Fotografía No. 5 - Vista en la obra de aducción de aguas.

Esta tubería es de concreto, con una longitud de más o menos 120 mts. y un diámetro interior de 0,3 mts.

Las obras a realizarse consisten principalmente en reemplazo de tramos de tubería, en los siguientes puntos a partir del lugar de aforamiento:

A los 68 mts., separadores en un pequeño puente - canal

(Fotografía No. 2).

A los 80 mts., reemplazo de un tramo de tubería.

A los 85,5 mts., reemplazo de un tramo de tubería.

A los 90 mts., reemplazo de un tramo de tubería.

A los 101 mts., reemplazo de un tramo de tubería.

También sería conveniente construir un vertedero en el tanque de presión que existe al final de esta tubería.

En el caso de ser realizadas las obras indicadas en esta parte, se obtendría una mayor efectividad en los trabajos de limpieza; ya sea por el aumento del caudal en la salida de los pitones existentes, o por el aumento de por lo menos un grupo más de hombres, que podría trabajar con una máquina adicional.

C A P I T U L O IV

T A B Q U E D E S E D I M E N T A C I O N

**ANTERIORIDADES.**— El río Machángara, debido a su condición de medio natural para el alejamiento de gran parte de las basuras y aguas servidas de la ciudad, lleva consigo una extraordinaria cantidad de caudal sólido, que al pasar por las diferentes partes de la instalación produce su deterioro lento o rápido.

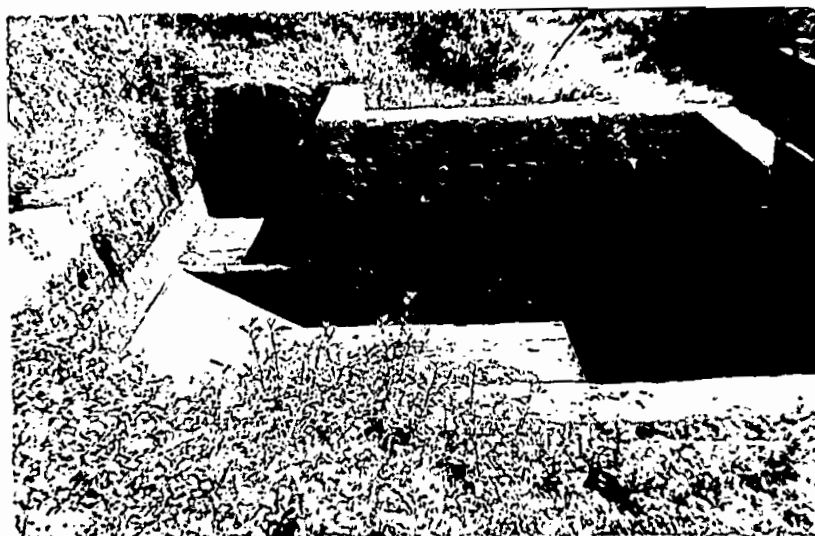
Una gran parte de este caudal sólido se deposita en el tanque de regulación, pero debido a la escasa capacidad de éste para contener sedimentos y a la falta de una rejilla a la entrada del canal, buena parte de este material pasa al resto de la instalación, produciendo diferentes daños, entre los que se pueden mencionar:

- a.- Producción de un desgaste lento del revestimiento del canal.
- b.- Sedimentación de parte del caudal sólido a lo largo del canal, lo que produce una disminución de la sección útil y obliga a realizar cada cierto tiempo limpiezas que traen consigo la paralización de la Central y consecuentemente perjuicios económicos a la Empresa.
- c.- En la tubería de presión se produce un desgaste mucho más rápido, lo que trae consigo una disminución en la vida útil de ésta.

d.- En los órganos de las turbinas se produce un rápido desgaste, disminuyendo el rendimiento de las mismas y exigiendo una frecuente reposición de las piezas. Prácticamente, en la actualidad, existen en esta instalación dos tanques de sedimentación, pero ninguno de ellos realiza a cabalidad su trabajo.

El primer tanque ( fotografía N°. 6 ) se encuentra situado aproximadamente a mitad de la distancia que une el tanque de regulación con el tanque de presión; y no cumple ni remotamente las funciones para las que se debía haber diseñado una obra de esta clase.

La poca, o casi ninguna, efectividad de esta obra se debe a:



Fotografía N°. 6 - Antiguo tanque de sedimentación, aún en funcionamiento.

a.- Sus escasas dimensiones: 6,0 x 7,6 x 2,75 ( ancho x largo x profundidad, respectivamente). Apenas

144 mts<sup>3</sup>, en los que se encuentra incluido el espacio entre el nivel libre de las aguas y el embozamiento de los muros laterales.

b.- Al escaso espacio previsto para el producto de la sedimentación ( 37 mts<sup>3</sup> ).

c.- A la forma nada apropiada en que ha sido construida.

d.- A una sola limpieza semanal que de él se realiza.

El segundo tanque de sedimentación ( plano No. 4 ) se encuentra junto al tanque de presión y tampoco cumple con el fin para el cual se plantea una obra de esta naturaleza, por las siguientes razones:

a.- Sus escasas dimensiones.

b.- No todo el caudal pasa por este tanque, sino que más de la mitad pasa directamente a la tubería de presión.

c.- El vertedero que antiguamente existió entre este tanque y el tanque de presión ha sido disminuido en su altura y en sus bases retiradas las dos compuertas allí existentes, funcionando éstas actualmente como orificios sumergidos.

d.- Debido a su situación con respecto al tanque de presión no se consigue efectividad, ya que en vez de pasar el agua a lo largo de todo el tanque casi de inmediato pasa al tanque de presión.

e.- Por el hecho de encontrarse junto al tanque de presión, no protege al canal.

En vista de los factores mencionados y de la gran cantidad de arrastres sólidos que con sólo una pequeña excepción pasan por las turbinas, produciendo su rápido deterioro y destrucción, es impresindible e improtragable la construcción de un nuevo tanque de sedimentación, pudiendo servir los antiguos tanques, con ciertas adecuaciones, como tanques secundarios.

**UBICACION:-**  
\*\*\*\*\*

El nuevo tanque de sedimentación ha sido proyectado en la planicie existente junto al tanque de regulación ( fotografía No. 7 - plano No. 2 ), para aprovechar dos ventajas principales.

1.- Dentro de todo el trayecto del canal, las condicio-



Fotografía No. 7 - Planicie en la que se construirá el nuevo tanque de sedimentación.

nes topográficas de este terreno son las más apropiadas, por presentar dimensiones suficientes y un desnivel apropiado con respecto al cauce del río.

2.- Con esta situación se consigue que las aguas que siguen por el canal sean limpias, ahuyentando de este modo el desgaste del revestimiento y la acumulación de depósitos.

#### ~~GENERALIDADES SOBRE EL NUEVO TANQUE DE SEDIMENTACIÓN.~~

La gran cantidad de material sólido obliga a que este nuevo tanque de sedimentación sea diseñado de modo que a toda hora se esté separando el material sólido. Esto se podría lograr con un desarenador del "Sistema Dufour", pero debido a la escasa cantidad de agua que tenemos en el Machángara, especialmente en los meses de verano, no nos podemos permitir el lujo de desperdiciar parte de la misma para el lavado continuo.

Por este motivo y a pesar de que el costo de las obras aumentan bastante, me he decidido por el diseño de un depósito doble, en el que cada una de las partes puede trabajar con el total del caudal, mientras la otra es sometida a limpia. Las aguas que han pasado por los depósitos vertirán hacia un canal central, el cual será el comienzo del canal de aducción.

En aquellas ocasiones en que sea posible hacer trabajar las dos secciones al mismo tiempo se obtendrá una mayor efectividad, ya que si circular por cada tanque sólo la mitad del caudal, la velocidad disminuye en la misma proporción permaneciendo el agua más tiempo en los tanques, lo que trae-

rá consigo una mejor separación del material sólido.

Entre los dos tanques prevé la existencia de un espacio suficientemente ancho, en el que posteriormente se podría instalar una grúa sobre rieles con movimiento según la mayor longitud de los tanques.

La grúa permitiría sacar los sedimentos del interior de los tanques y cargarlos sobre vehículos para su transporte y aprovechamiento como abono. De este modo también se ahorraría el agua necesaria para el lavado de los tanques.

El presente proyecto no contempla el aprovechamiento de los sedimentos, es decir que estos deberán ser alejados por medio de un canal de descarga hacia el río.

Para una parte del lavado de los tanques se puede aprovechar el agua de la vertiente cercana, antes mencionada, que podría llevarse hasta el lugar adecuado, con un simple aumento de longitud en la tubería ya existente.

Las dimensiones del canal, entre el dique y los tanques a disponerse, permiten llevar un caudal suficiente como para alimentar al un depósito y lavar al otro.

En adelante, denominaré depósito No. 1 al que se encuentra en el lado izquierdo y No. 2 al otro, vistos desde el dique.

Por un estudio sumario y la comparación con casos más o menos similares al de esta Central, es factible suponer que después de pasar las aguas por el tanque de regulación contienen aún un 5 por mil de materiales sólidos ( 5 lts./mtr<sup>3</sup>) En el caso de ser mayor la cantidad de estos sólidos, con el proyecto de los dos tanques, será necesario efectuar una limpieza más frecuente de los mismos.

En caso de que la E.E.Q. lleve a la realidad este proyecto, será conveniente que realice ensayos y mediciones para determinar la cantidad más o menos exacta de estos sólidos. Personalmente me ha sido imposible realizar estos ensayos, pues a más del tiempo relativamente largo que tomarían, habría sido necesaria una erogación económica alta por el coste de las obras necesarias y por la interrupción de los servicios de la Central.

DIMENSIONAMIENTO.-  
ooooooooooooooo

Según Du Buat ( Kohen - Construcción de Centrales Hidráulicas ) \* La velocidad por debajo de la cual el agua deja de arrastrar materiales como arena fina es 0,16 mts/seg. y para ello hay que dar a los depósitos una sección mínima de  $Q/0,16$ . Según los estudios anteriores, el caudal requerido por las turbinas para producir 800 KW. es:

$$Q = \frac{25 \times 3}{H \times 736 \times \rho \times \rho_2}$$

$$Q = \frac{25 \times 800}{34,7 \times 736 \times 0,88 \times 0,94}$$

$$Q = 1,76 \text{ mts}^3/\text{seg.}$$

Si a este caudal sumamos aproximadamente un 5 por mil de caudal sólido, necesitamos que del tanque de regulación salgan aproximadamente  $1,79 \text{ mts}^3/\text{seg.}$  para producir los 800 KW.

TRANSICION DE ENTRADA.-  
oooooooo oo ooooo

Los trazos de esta parte de la obra de-

\* Saltos de Agua y Presas de Embalse - Tomo I - pág. 553 -

bien de ser redondeados, de modo que no se produzcan perturbaciones; la longitud de la transición ( L ) debe de ser tal, que la líneas que une las secciones laterales con su eje central formen entre si un ángulo de  $25^{\circ}$ .

$$L = \left( \frac{\text{Ancho del desagorador} - \text{Ancho canal}}{2} \right) \cot.12^{\circ} 30'$$

Ancho mínimo del desagorador = 7 mts.

Ancho del canal = 1,5 mts.

$$L = ( 3,5 - 0,75 ) 5,4755 \approx 15 \text{ mts.}$$

La pendiente que conviene en la transición es 7,5 %, vi- tor con el cual, siendo 97,55 la cota de entrada a la transi-  
ción ( sección plana No. 2 ), la cota al final será 96,42.

En la sección del canal anterior al tanque de sedimentación el agua tiene una velocidad de : 1,5 mts./seg. Si suponemos la misma velocidad para el futuro, obtenemos una sección a la entrada de la transición de:

$$S = \frac{Q}{V} = \frac{1,428}{1,5} = 1,185 \text{ mts.}$$

Con lo cual la altura del agua será:

$$h = \frac{1,4185}{1,5} \approx 0,9 \text{ mts.}$$

Entre el nivel libre del agua y el coronamiento de las par-  
des del tanque, considero una altura de seguridad de 0,40 mts., con lo cual el corriente será corriendo sin corresponden-  
cia con la cota 98,75.

La altura del agua al final de la transición será 1,92 mts.

ANCHO DEL TANQUE DE SEDIMENTACIÓN.  
Este es el ancho de la sección.

Con el fin de alargar una

mayor capacidad de este tanque, para que los lavados sean realizados con un intervalo de tiempo más grande, le he diseñado con sección aumentada hacia el centro ( plano No. 3 ) ( De este modo no me veo obligado a profundizar más la transición ).

El ancho del tanque será de 7 mts. al comienzo y de 10 mts. en su parte central, que corresponde a la más ancha.

~~LONGITUD DEL TANQUE DE SEDIMENTACION.~~

Debido a que la sedimentación de los materiales en suspensión no se produce de una manera brusca, es necesario que este tanque tenga un largo mínimo. Esta longitud se obtiene tomando en cuenta las siguientes consideraciones:

Velocidad máxima del agua en el tanque:  $v_s$ .

$$v_s = \frac{Q}{S} = \frac{1,73}{7 \times 1,92} = 0,194 \text{ mts/seg.}$$

Sección del tanque ( ancha ):  $S$

$$S = 7 \times 1,925 = 13,4 \text{ mts}^2.$$

En aguas en movimiento, la velocidad de turbulencia que trata de retrasar el descenso de las partículas viene dada por:

$$W = \frac{v_s^2}{5,7 + 2,3h}$$

En la cual:

$v_s$  = Velocidad de retroceso del descenso;

$v$  = Velocidad del agua en el tanque;

$h$  = Altura útil del depósito;

$$W = \frac{0,194^2}{5,7 + 2,3 \times 1,92}$$

$$W = 0,0135 \text{ mts/seg.}$$

La longitud mínima del desarenador para que una partícula situada a la entrada en la superficie libre del agua, tenga tiempo para descender hasta el fondo debe ser:

$$L = \frac{U^2 \cdot V}{W}$$

En la cual U, es la velocidad de descenso de las partículas en un medio tranquilo.

Esta velocidad depende del peso específico del líquido. Como ya indiqué antes, he supuesto, que estas aguas contienen aproximadamente 5 ltrs. de sólidos por mtr<sup>3</sup>.

Si el peso específico de estos sólidos es 1,5 Kgrs. por litro, obtenemos que cada mtr<sup>3</sup>, pesa 1.002,5 Kgs.

De acuerdo con este valor y sabiendo que los turbinas a instalarse son Francis (Diámetro admisible de las partículas: 0,4 a 1 mm.), se obtiene de acuerdo con las curvas de la fig. 16.2 de la obra de Gómez Navarro y Juan Aracil - Saltos de Agua y Presas de Embalses - Tomo I - pág. 558 - Tercera edición, el valor de 5,5 mts/seg. para U en el caso de partículas de 0,4 mm.

$$L = \frac{5,5^2 \cdot 0,0025}{0,055} = 6,2 \text{ mts.}$$

Esta longitud no es suficiente, pues no se conseguiría un espacio de dimensiones convenientes para el producto de la sedimentación y además porque para que se sedimenten los materiales en suspensión las aguas deben conservar dicha velocidad algunos minutos.

Si hacemos que las aguas permanezcan por lo menos unos

5 minutos en el tanque; la longitud de éste deberá ser:

$$5 \times 60 \times 0,13^{\frac{1}{4}} \approx 40 \text{ mts.}$$

Debido al diámetro permitido de las partículas (0,4 mm.) en las turbinas Francis, este tiempo será suficiente para que se produzca la sedimentación de casi la totalidad del caudal sólido de dimensiones mayores a 0,4 mm.

#### PENDIENTES.-

=====

La pendiente media en dirección a las comportas de descarga será del 5 %, con lo que se puede asegurar una buena velocidad del agua en dirección a éllas, que servirá para eliminar rápidamente los sedimentos. Al proyectar una pendiente continua, al final de los 40 mts. llegaríamos a una cota de 94,42, profundidad que no permitiría la construcción de un canal de descarga de poca longitud y buenas características, como para impedir el que los sedimentos se depositen a lo largo de él, a no ser que se alargue al canal hasta un sitio en que el río pierda rápidamente altura.

Para poder construir un canal de descarga de poca longitud, se ha dividido la pendiente de cada desarenador en dos tramos, tratando de obtener la mayor capacidad para sedimentos en cada uno de ellos. Se ha aprovechado también la pendiente que es necesario dar al canal de descarga, para dar la mayor profundidad posible a los dos tanques.

Según el proyecto, la pendiente transversal hacia el centro de cada compartimiento oscila entre el 15 y el 10 %, con una altura lateral máxima, con relación al eje central de cada tanque, de 0,6 mts.

Convienen que el fondo del desarenador sea lo más liso

possible, es decir enlucido con cemento.

Si fueran ser aprovechados los sedimentos, deberían ser retirados con una grúa. En estas condiciones el fondo de los depósitos se discurría solamente con pendiente longitudinal y sin pendiente transversal.

Las tierras que se saquen del lugar donde se construirán los tanques, servirán para rellenar los terrazos aledaños, hacia el lado del río.

#### VERTEDEROS DE SALIDA:-

Para éstos he adoptado la forma de un arco de círculo, consiguiendo así aumentar su longitud y por consiguiente disminuir el espesor de la lámina vertiente.

Al tomar como perfil del muro, la forma que Bazin atribuye a la cara inferior de la lámina libre; podemos calcular la altura de la lámina a partir de la fórmula:

$$q = 0,473 \cdot h \sqrt{2 \cdot g \cdot h} *$$

En la que:

$q$  = Caudal unitario

$h$  = Altura de la lámina vertiente

$g$  = Aceleración de la gravedad.

Introduciendo en esta fórmula la longitud del vertedero y despejando el valor de la altura se obtiene:

$$h = 0,01747 \times r \times n$$

$$h = \sqrt[3]{\frac{n^2}{(0,473)^2 \cdot b^2 \cdot 2 \cdot g}}$$

Fórmulas en las cuales:

$b$  = Largo del vertedero

r = Radio del arco que forma el vertedero  
n = Ángulo ( en grados ) de apertura del radio  
Q = Caudal total

Reemplazando los valores respectivos:

$$b = 0,01747 \times 7 \times 97$$

$$b = 11,85 \text{ mts.}$$

$$h = \sqrt[3]{\frac{(1,73)^2}{(0,473)^2 (11,85)^2 \times 2 \times 9,61}}$$

$$h = 0,1725 \text{ mts.}$$

Altura laminar que permitirá obtener que las aguas que se vierten hacia el canal contengan una cantidad mínima de substancias sólidas.

A partir del pie de los vertederos, el agua va al canal con una pendiente de la solera de 1,5 %. En esta parte el canal vuelve a estrecharse, hasta tener dos metros de ancho al final de la planicie.

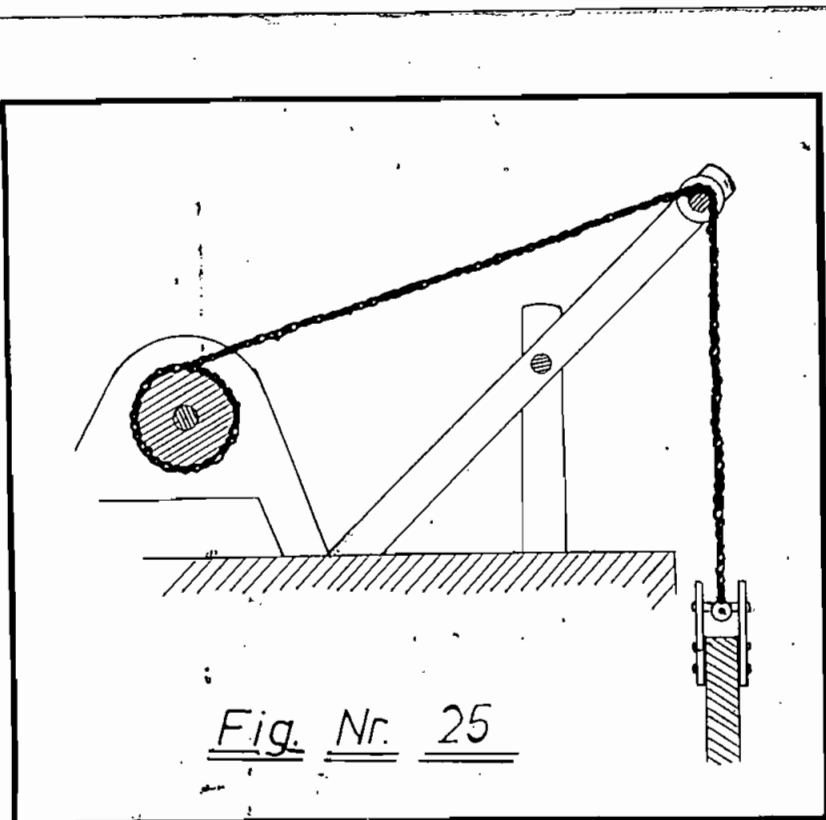
#### COMPUERTAS DE ENTRADA A LOS TANQUES.

Cada tanque irá provisto de una compuerta de entrada, que será de madera, ya que en el canal no existe mucha carga de agua y apenas necesitan ser levantadas 80 mts. para dar paso a la totalidad del caudal.

En ambos lados estas compuertas correrán en rieles verticales, dispuestas en el revestimiento del canal y forradas de platinas de hierro o de un perfil en U. En la parte inferior y en correspondencia con la solera del canal, se colocará un perfil en U invertido o en T, para conseguir la su-

ficiente impermeabilización.

Para no elevar el piso de maniobra sobre el cual se apoyará el mecanismo que sirva para subir y bajar la compuerta será conveniente la construcción de un aparato similar al bosquejado en la fig. No. 25.



Las compuertas se construirán de tablones superpuestos, entre los cuales y para conseguir una suficiente impermeabilización se colocarán pletinas de hierro. Los tablones estarán unidos entre si por travesaños de madera o por perfiles de hierro.

El espesor de los tablones a utilizarse será:

$$e = \frac{1}{20} \sqrt{\frac{t}{2}}$$

Fórmula (\*) en la cual:

$l$  = Largo de la compuerta.

$t$  = Altura de agua en el canal.

Reemplazando los valores respectivos:

$$t = \frac{1,45}{20} \sqrt{\frac{g \cdot l}{2}}$$

$t = 0,0477 \text{ mtrs.}$

Siendo convenientes usar tablas de  $\gamma$  entre las superficies que es el mismo trabajado para este tipo de compuertas.

LEGA DISEÑA LA PUERTA ANEXADA AL MOLINILLO DE AGUA EXPRESAMENTE PARA ELACIONES AMUND. Para tener una superficie libre total de movimiento sobre el agua, conviene que su ancho sea de 1,5 metros.

Como las puertas elásticas tiene 1,7 mtrs. y como altura para determinar el paso proporcional entre:

Considero una carga ( $P$ ) aplicada en el centro de 250 Kgs., correspondientes a 100 personas que servirán para elevar la compuerta.

El peso propio de la lona por metro cuadrado será:

$$\rho = 0,1 \times 1 \times 1 = 2,400 = 240 \text{ Kgs.}$$

Como sabremos por efecto de las personas que pueden pasar por encima constan 160 Kgs/m<sup>2</sup>.

$p$  = Carga repartida

$$p = 160 + 240 = 400 \text{ Kgs/m}^2.$$

El espesor de la lona viene dado por la fórmula:

$$h = r \sqrt{\frac{M}{b}} *$$

viendo al momento a su vez igual:

$$M = \frac{\rho_{ch} h^2}{8} + \frac{\rho_{a} l}{4}$$

$$M = \frac{160 \cdot (1,2)^2}{8} + \frac{250 \cdot 1,2}{4}$$

$$M = 251 \text{ Kgas./mts.}$$

$$h = 0,411 \sqrt{\frac{22 \cdot 100}{250}}$$

$$h = 6,55 \text{ mts.}$$

Tomo el espesor mínimo para losas, de 8 mts.

#### COMPUERTAS PARA LA LIMPIEZA.-

Cada tanque estará provisto de dos de estas compuertas que serán de chapa de hierro y que para efectos de este proyecto llevarán los números 1 y 2 las del primer tanque y 3 y 4 las del segundo tanque. Tendrán una sección útil de 0,3 x 0,6 mts. El mecanismo para levantar las compuertas debe estar previsto para que funcione satisfactoriamente aún en el caso de que las compuertas estén completamente cubiertas de sedimentos.

Procede a calcular el espesor de la compuerta N° 4 que es la más profunda y para facilidad de construcción, las otras tres serán de dimensiones semejantes.

Si espesor de la chapa lo obtengo a partir del siguiente cálculo:

$$e = 5, \pi \sqrt{\frac{30 - t}{G}}$$

Fórmula cuyos términos fueron explicados en el capítulo anterior, siendo  $n = 1$  mts. y  $t = 3,85$  mts.

$$e = 5 \times 1 \sqrt{\frac{30 - 3,85}{0,010,000}}$$

$$e = 0,419 \text{ mts.}$$

Este sería el espesor si la chapa solamente estaría sometida a la presión del agua, pero como también ejercen sus efectos la presión de los sedimentos, la oxidación y los agentes químicos que se encuentran en el material depositado, aumentando el espesor a una pulgada, es decir 2,54 mts.

Estas compuertas se deslizarán entre la pared del tanque y un perfil de hierro en ángulo a cada lado; estarán unidos a sus mecanismos de elevación por medio de otros perfiles de hierro. Los mecanismos se encontraran en la parte superior del muro.

Para una limpieza eficiente primeramente se abrirán las compuertas inferiores y cuando por éstas ya no salgan sedimentos se abrirán las compuertas superiores.

CABAL DE DESCARGA.--  
••••• es necesario

Su sección dependerá de la pendiente que se le pueda dar y del caudal máximo que salga por las compuertas de limpieza.

Se debe considerarán que en este canal las aguas deben tener suficiente velocidad para que el material sólido no se vuelva a sedimentar, lo que se conseguirá plenamente con una velocidad de 4 mts./seg. La cual a pesar de ser un poco al-

ta no es excesiva, pues según la obra de Gómez Navarro y Juan Aracil - Saltos de Agua y Presas de Embalses - tomo I - pág. 488, en este tipo de cañales se llega en algunos casos hasta 10 mts./seg.

El caudal que saldrá por la compuerta No. 1, cuando el tanque esté lleno, será:

$$Q = \mu \cdot F \sqrt{2 \cdot g \cdot (h + k)} \quad *$$

Fórmula en la cual:

$\mu$  = Coeficiente de contracción incompleto: 0,8

$F$  = Área del orificio de la compuerta: 0,64 mts<sup>2</sup>

$g$  = Gravedad

$h$  = Altura entre el nivel libre de las aguas  
y el punto medio del orificio: 2,52 mts.

$k$  = Factor que depende de la velocidad del  
agua que llerá por el tanque para

$$v = 0,134 \text{ mts/m.s.} \quad k = 0,003.$$

Alcanzando los valores respectivos:

$$Q = 0,8 \cdot 0,64 \sqrt{19,62 \cdot 2,52} \approx 2,923$$

$$Q = 3,60 \text{ mts}^3/\text{seg.}$$

Caudal para el cual, el canal debe tener una sección de:

$$S = \frac{Q}{v} = \frac{3,60}{0,134} = 27,0 \text{ mts}^2.$$

Para este canal escoge el perfil rectangular más eficiente:  $b = 2 \cdot a$ ; En el que:  $b$  = ancho y  $a$  = altura de agua.

$$S = b \cdot a = 2 \cdot a^2$$

Despejando:

$$a = \sqrt{\frac{gR}{2}} = \sqrt{0,465} = 0,67 \text{ mts.}$$

$$a = 0,67 \text{ mts.} ; b = 1,34 \text{ mts.}$$

Líneas que corresponden al primer tramo del canal de desague, es decir desde la compuerta No. 1 (Plano No. 3 - Vista Planta) hasta el punto de unión con el tramo de canal proveniente de la compuerta No. 2.

La pendiente de este tramo será, según la fórmula de Parin:

$$U = C \sqrt{R_i i}$$

$$i = \frac{U^2}{C^2 R}$$

De la cual a su vez:

$$C = \frac{32 \sqrt{R}}{\sqrt{R} + \chi} = X$$

Siendo:

$i$  = Pendiente de la sección

$U$  = Velocidad del agua:  $b$  mts./seg.

$R$  = Radio hidráulico

$\chi$  = Coeficiente. Según Parin para paredes poco lisas de mampostería = 0,46 \*

$$R = \frac{a}{2} = \frac{\text{Coeficiente mojado}}{\text{Perímetro mojado}}$$

$$R = \frac{0,67}{2,68} = 0,336$$

Para el valor de  $\chi = 0,46$  y  $R = 0,336$  obtengo a partir de las tablas el respectivo valor de  $X$ . \*\*

$$X = 46,4$$

Mydronnikoff Rechnen (Cálculo Hidráulico) - pág. 106 -

Prof. Ing. Dr. R. Mayorga.

\*\* Id. Id. - pág. 106.

$$I = \frac{(4)^2}{(48,4)^2 \times 0,336}$$

$$I = 0,020 = 2\%$$

La pendiente del canal de descarga permite profundizar los compartimientos del tanque de sedimentación, lo que trae como consecuencia que el caudal que puede salir por cada una de las compuertas sea diferente y por lo tanto la sección del canal también difiere en los diferentes tramos.

A continuación calculo las demás secciones y pendientes de los tramos de este canal.

TRAMO COMPRENDIDO DESDE LA COMPUERTA N°. 2 HASTA LA UNION  
CON EL TRAMO INFERIOR DEL TANQUE DE SEDIMENTACION N°. 3 Y 4

$$Q = M_s \cdot I^2 \sqrt{2 \cdot g (z + h)}$$

$$h = 2,95 \text{ mts.} \quad ; \quad k = 0,003$$

$$C = 1,8 \times 0,64 \sqrt{39,62} = 2,953$$

$$Q = 3,9 \text{ mts}^3/\text{seg.}$$

Sección del canal de descarga en este tramo:

$$S = \frac{3,9}{4} = 0,975 \text{ mts}^2$$

Altura de agua en este tramo de canal:

$$a = \sqrt{\frac{S}{2}} = \sqrt{\frac{0,975}{2}} \approx 0,7 \text{ mts.}$$

Ancho del canal:  $b = 2 \cdot a = 1,4 \text{ mts.}$

Radio hidráulico:

$$R = \frac{S}{P} = \frac{0,975}{2,5} = 0,348$$

Para  $\gamma = 0,46$  y  $R = 0,348$  obtengo de las tablas:  $k = 48,7$  de donde la pendiente de este tramo será:

$$I = \frac{U^2}{R^2 \cdot R}$$

$$I = \frac{(48,7)^2}{(48,7)^2 \times 0,348} = 23$$

$$I = 0,0154 \approx 23$$

TRAMO COMUNICANTE DESDE LA COMPARTA NO. 3 HASTA LA UNION CON EL TRAMO PROYECTADO DE LA COMPARTA Hasta-

Este tramo posee considerable de las cuales características que el anterior, sin embargo a su sociedad y pendientes, pues la compuerta se encuentra más o menos a igual cota.

TRAMO COMUNICANTE ENTRE LA COMPARTA NO. 2 Y LA  
EL ALTO

Caudal que sale por la compuerta "o. 4"

$$Q = u \cdot A \sqrt{2 \cdot g \cdot (h + z)}$$

$$h = 3,45 \text{ mts. } \gamma = 1,003$$

$$Q = 0,8 \times 0,64 \sqrt{2 \cdot 9,81 \times 3,453}$$

$$Q = 4,21 \text{ mts.}^3/\text{seg.}$$

Sociedad del canal de descarga en este tramo

$$S = \frac{Q}{A} = \frac{4,21}{4} = 1,052 \text{ mts.}^3/\text{seg.}$$

Altura de agua en este tramo de canal:

$$z = \sqrt{\frac{Q}{2}} = \sqrt{\frac{3,1052}{2}} = 0,725 \text{ mts.}$$

Alto del canal:

$$h = 2,9 = 1,45 \text{ mts.}$$

Radio hidráulico:

$$R = \frac{A}{P} = \frac{1,052}{2,9} = 0,361$$

Para  $f = 0,46$  y  $R = 0,361$  se obtiene de las tablas

$K = 49,3$ . La pendiente del canal de descarga en este tramo será:

$$i = \frac{V^2}{K^2 \cdot g}$$

$$i = \frac{16}{(49,3)^2 \times 0,364}$$

$$i = 1,81 \approx 1,8\%$$

Con esta pendiente el canal de descarga desembocará en el río a la cota 94,18. Cota con la cual ordinariamente estará por encima del nivel de las aguas.

El coronamiento de los muros laterales del canal ha sido proyectado a unos 30 cmts. por encima del nivel máximo de las aguas.

La colera estará formada por una capa de hormigón de unos 20 cmts. de espesor, mientras que las paredes laterales tendrán un espesor de 0,5 mts.

En el caso de desalojarse los sedimentos por medio de una grúa, el canal de descarga podría ser de menor sección o se podría utilizar tuberías de relativamente pequeño diámetro, por las cuales se alejaría los restos del material que no haya sido posible extraer con la grúa.

#### CAPACIDAD PARA SEDIMENTOS .--

Después de un cálculo aproximado he obtenido los siguientes valores, en los que no he incluido las secciones de transición:

Superficie aproximada de cada tanque: 330 mts<sup>2</sup>.

#### TANQUE N° 1

Volumen total ..... 800 mts<sup>3</sup>

Volumen para sedimentos ..... 165 mts<sup>3</sup>.

TANQUE N°. 2

Volumen total..... 920 mts<sup>3</sup>.

Volumen para sedimentos..... 285 mts<sup>3</sup>.

CALCULO DE LOS MUROS DEL DEPOSITO.-

Serán de hormigón y tendrán diferente espesor, de acuerdo al lugar que ocupan y a su profundidad. La coronación tendrá un ancho de 0,8 mts.

Aquellos muros que están en contacto por su lado externo con las tierras adyacentes sufrirán el mayor esfuerzo cuando el tanque esté vacío, por efecto del empuje de las tierras y aquellas que por su parte externa se encuentren en contacto con el aire sufrirán el mayor empuje cuando el tanque esté lleno.

En el primer caso los muros del tanque aumentan su espesor con una inclinación aproximada de 1 a 2,2, mientras que en el segundo este aumento corresponde a una inclinación aproximada de 1 a 3.

SEPARACIONES EN LA PARED-ELIXIO DE LOS Muros DEL TANQUE.-

Hago lo que para la parte más profunda, o sea en correspondencia con las compuertas de limpia, para tres secciones características del muro.

1.- Muro sometido al empuje de las tierras, junto a la compuerta N°. 1 ( Plano N°. 3 - Corte I - I' )

2.- Muro sometido al empuje de las aguas, junto a la compuerta N°. 4 ( Plano N°. 3 - Corte Y - Y' )

3.- Muro central de separación entre los dos tanques ( Plano N°. 3 - Corte Z - Z' )

PRIMERO. - (Fig. N°. 26 - Sección planas: Comprobación Gráfica de la Estabilidad de dos Secciones Características de los Muros del Desarenador). Si el terreno adyacente al tap que tiene una pendiente transversal de 1 a 4, es decir un ángulo aproximado a  $1^{\circ}$  (Ángulo  $\alpha$ ). Si el talud natural de las tierras que se encuentran en este terreno es de unos  $45^{\circ}$ , valor que corresponde a tierra vegetal húmeda con piedrecilla (valor  $\varphi$ ).

El ángulo de inclinación exterior del muro es de  $25^{\circ}(\alpha)$

Como el empuje de las tierras sobre el paramento viene dado por  $S$ , su valor será:

$$S = \frac{Q}{\cos(\alpha + \theta)}$$

Fórmula en la cual:

$S$  = Empuje de las tierras.

$Q$  = Valor de la proyección horizontal del empuje.

$\alpha$  = Ángulo de inclinación del muro.

$\theta$  = Ángulo que viene dado por la fórmula mencionada más adelante, y de acuerdo al valor de los ángulos  $\alpha$  e  $\theta$

El valor de  $Q$  viene a su vez dado por:

$$Q = A \cdot \frac{Dah^2}{2}$$

Fórmula en la cual:

$A$  = Coeficiente de empuje que se obtiene de las tablas de acuerdo a los valores de  $\alpha$ ,  $\varphi$  e  $i$ .

Para nuestro caso 0,287

$\gamma$  = Peso específico de las tierras.

1600 Klgms./mt<sup>3</sup>.

$h$  = Altura del muro = 3,43 mts.

Reemplazando estos valores:

$$Q = 0,287 \frac{1.600 \times 11.10}{2}$$

$$Q = 2.710 \text{ Klg.}$$

El valor de  $\theta$  se lo obtiene tomando en cuenta que  $\alpha$  e  $i$  son positivos y que según las mismas tablas los ángulos  $\beta$  y  $\gamma$ , que determinan los equilibrios límites superior e inferior del empuje de las tierras, para el presente caso son los valores:

$$\beta = 20^\circ 34'$$

$$\gamma = 29^\circ 26'$$

Siendo  $\alpha$  mayor que  $\beta$ , el valor de  $\theta$  viene dado por:

$$\operatorname{tg} \theta = \frac{\operatorname{sen} \varphi \cdot \operatorname{sen} (2\alpha - \beta + \gamma)}{1 - \operatorname{sen} \varphi \cdot \operatorname{cos} (2\alpha - \beta + \gamma)}$$

$$\operatorname{tg} \theta = \frac{\operatorname{sen} 40^\circ \cdot \operatorname{sen} (50^\circ - 20^\circ 34' + 29^\circ 26')}{1 - \operatorname{sen} 40^\circ \cdot \operatorname{cos} (50^\circ - 20^\circ 34' + 29^\circ 26')}$$

$$\operatorname{tg} \theta = 0,69$$

$$\theta = 41^\circ 40'$$

De donde el valor del empuje sobre el paramento exterior será:

$$S = \frac{2.710}{\operatorname{cos} (29^\circ + 41^\circ 40')}$$

$$S = 6,85 \text{ Ton.}$$

El punto de aplicación de esta fuerza se encuentra a 1/3 de la altura del muro. A este empuje se oponen el peso del

muro, el peso de las tierras que se encuentran sobre él y el rozamiento de la base con el terreno que le sirve de apoyo.

Sabiendo que el hormigón pesa 2.200 Kgs./mt<sup>3</sup>., el peso por metro de largo del muro será: (fig. No. 26 ).

$$P^1 = (6,8 \times 0,5 + 1 \times 1,27 + 1 \times 1,74 + 0,94 \times 2,21) 2.200$$

$$P^1 = 12,08 \text{ Ton.}$$

Mientras que el peso de las tierras que están por encima del muro y que ayudan a la estabilidad de éste, es:

$$P^2 = (0,5 \times 0,47 + 1,5 \times 0,47 + 2,5 \times 0,47 + \frac{1,41 \times 0,47}{2}) 1.600$$

$$P^2 = 3,78 \text{ Ton.}$$

$$P = P^1 + P^2$$

$$P = 12,08 + 3,78 = 15,86 \text{ Ton.}$$

El muro es estable (fig. No. 26) ya que a pesar de no haber considerado el rozamiento, la resultante entre el empuje, el peso del muro y el peso de las tierras encima de éste no salen del tercio medio de la base y además porque los esfuerzos producidos sobre el terreno no pasan del máximo admisible, que en este caso lo podemos tomar de dos Kgs./cm<sup>2</sup>., tal como se comprueba más adelante.

SEGUNDO.- (Fig. No. 27 - Sección Planos: Comprobación gráfica de la estabilidad de dos secciones características de los muros del desague.) Esta comprobación la hace suponiendo que el tanque No. 2 ha llegado a su altura límite de sedimentos y que por encima de éstos se encuentran las aguas hasta su nivel normal a la cota 96,35.

El empuje que producen los sedimentos sobre el muro del fondo no puedo calcular por la fórmula de Berillón a  
Facultad de Agua y Presas de Embalse - Tercio X - pag. 302 -  
Ceces Navarro y Juan Aracil.

$$e = \frac{\gamma \cdot h^2}{2} \left( \frac{1 - \sin \alpha}{1 + \sin \alpha} \right)$$

En la cual:

$\gamma$  = Peso de un metro cúbico de sedimentos sumergidos. Estos actúan como fango líquido, por lo tanto = 1 Ton./mt<sup>3</sup>.\*

$\alpha$  = Ángulo que forma con la horizontal el talud natural de los sedimentos debajo del agua = 60°

O sea que en este caso los sedimentos actúan con la misma fuerza que el agua y por consiguiente el valor total del empuje será:

$$E = \frac{1}{2} \gamma H^2$$

Siendo  $H$  la altura total, entre sedimentos y líquido, en nuestro caso aproximadamente 3,8 mts.

$$E = \frac{(3,8)^2}{2} = 7,2 \text{ Ton.}$$

A este empuje se oponen:

a.- El peso del muro, que actúa en dirección al centro de gravedad terrestre.

b.- El rozamiento de la base con el terreno que le sirve de apoyo, que actúa en dirección contraria al empuje, pero en un plano paralelo a él.

c.- El peso del muro será (Según Fig. N°. 27):

$$P = (0,5 \times 0,8 + 1 \times 1,15 + 1 \times 1,5 + 1 \times 1,05 + 1 \times 2,2 + 0,5 \times 2,55) \cdot 2.200$$

$$P = 18,4 \text{ Ton.}$$

d.- El valor de la fuerza de rozamiento viene dada por:

$$S = P \times p$$

Fórmula en la onda:

$s = \text{Valor del resanante.}$

$p = \text{Coeficiente de resanamiento, en nuestro caso hormigón sobre terreno blando} = 0,3$

$P = \text{Peso del muro}$

$$S = 0,3 \times 16,4 = 5,22 \text{ Ton.}$$

En la Fig. No. 27, utilizando el método gráfico, se ha comprobado que este muro resiste el empuje de las aguas.

TIENDE.— El peso  $\rightarrow$  <sup>CASO</sup> se tiene cuando el tanque No. 1 está lleno y el No. 2 vacío. El valor del empuje de las aguas será:

$$S = \frac{B^2}{2}$$

$$B = 2,95 \text{ mts.}$$

$$S = \frac{B^2}{2} = 4,35 \text{ Ton.}$$

El peso del muro que en parte contrarresta este empuje es:

$$P = (2 \times 3,9) \times 2,2$$

$$P = 17,16 \text{ Ton.}$$

La otra fuerza que se opone al empuje es el resanante cuyo valor será, da acuerdo con la fórmula ya visto:

$$S = 0,3 \times 17,16 = 5,15 \text{ ton.}$$

Según la comprobación gráfica (fig. No. 28) este muro tiene perfectamente el apoyo de las aguas.

RESISTENCIA A LA DERRUMBA.— Este estudio lo hago para el punto del terreno que más peso tiene que soportar, es decir en correspondencia con la parte más baja del muro central.

CORTE Z-Z' (PLANO No 3)

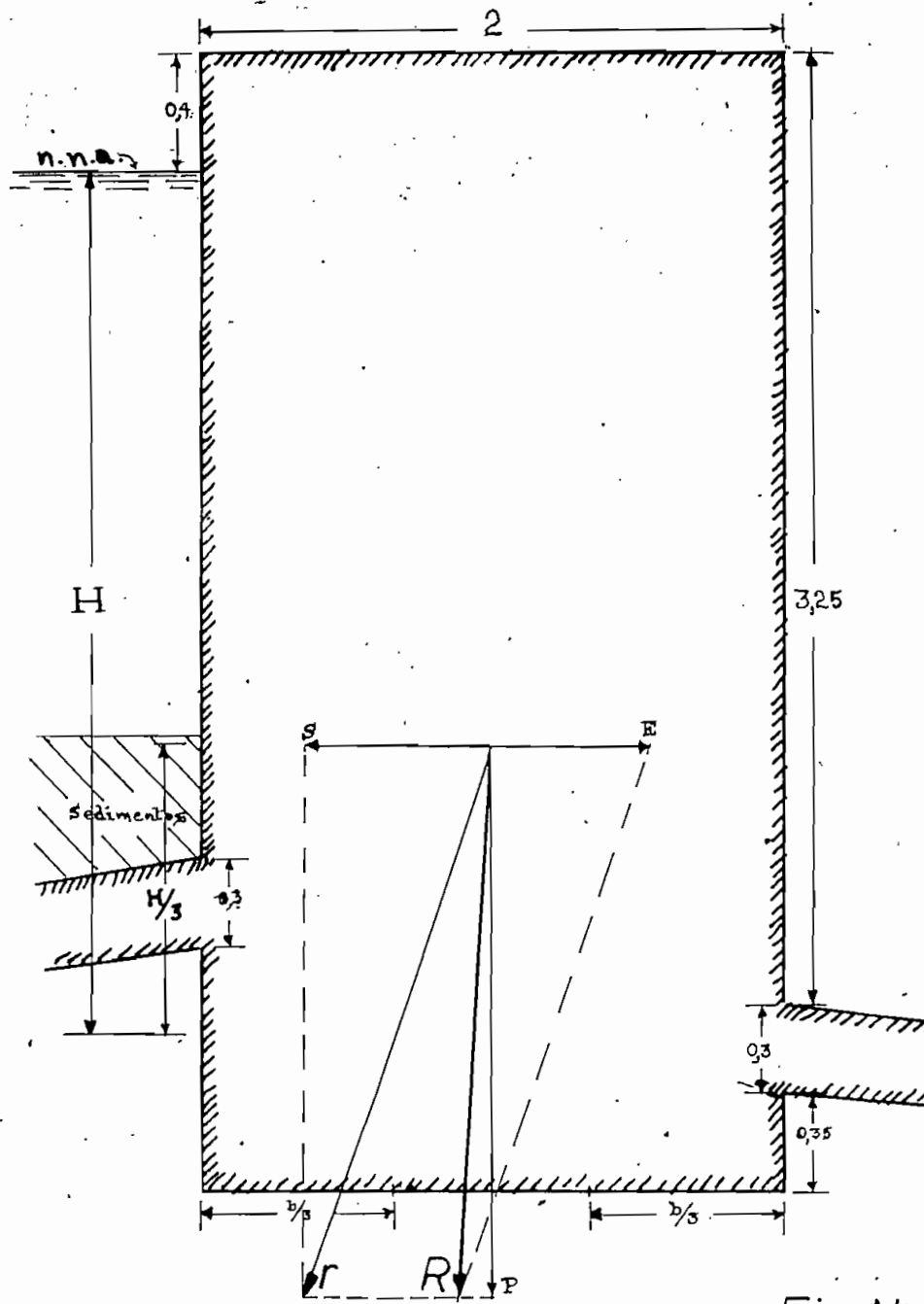


Fig. Nr. 28

Altura = 4,15 mts.

Peso del muro = 2,2 Ton/m<sup>3</sup>.

Presión sobre el terreno = 4,15 x 2,2

Presión sobre el terreno = 9,13 Ton/m<sup>2</sup>.

Valor que es perfectamente admisible.

**SUPRESIÓN.-**  
~~oooooooooooo~~

Según el diseño previsto en el presente proyecto y debido a que el canal de sedimentación es revestido, la supresión se reduce casi unicamente, a aquella que pueden producir las aguas que circulan por el subsuelo de la zona. Para evitar los efectos fatinos que pudieran ejercer estas aguas sobre el terreno en que se apoyan los dos tanques, se colocarán por debajo de ellos algunas tuberías de drenaje en dirección al río, de relativamente pequeños diámetros y colocadas a distancias convenientes, de acuerdo al grado de humedad que se encuentre al realizar las excavaciones.

**GUIAS PARA DESVIAR MATERIALES FLOTANTES.-**  
~~oooo oooo oooooo oooooo~~

Se construirá una en cada tanque de sedimentación y servirán para desviar hacia el canal de descarga los restos(flotantes) vegetales y objetos de otras clases que en gran cantidad vienen en las aguas del Machángara.

Estas guías ocuparán una posición transversal al final de cada tanque, ( Plano N°. 3 ) de modo que las basuras que logran subir a la superficie, sean desviadas en esta parte a un vertedero lateral del cual pueden pasar al canal de

descarga. Por medio de una instalación adecuada se podría recuperar el agua que se vierte junto con las basuras.

Las dimensiones de este vertedero serán de 0,75 mts. de largo por 0,07 mts. de profundidad de aguas.

Las guías consistirán en una losa de hormigón armado, (Plano No. 3) se apoyarán en los muros laterales y en una columna central. Su ancho será el suficiente para que por encima puedan moverse fácilmente dos hombres.

La losa ha sido proyectada considerando la posibilidad de una sobrecarga de 200 Klgs./mt<sup>2</sup>.

Peso propio de la losa = 0,25 x 2,400 = 600 Klgs./mt<sup>2</sup>.

Sobrecarga ..... 200 Klgs./mt<sup>2</sup>.

$\bar{P} = 800 \text{ Klgs./mt}^2$ .

La luz de cálculo de cada uno de los tramos de la guía, sea:  $5,25 + 5,55 = 5,55 \text{ mts.}$

El momento máximo para una losa continua es:

$$M_{\max.} = \frac{P_{\max.} l^2}{11}$$

$$M_{\max.} = \frac{800(5,55)^2}{11}$$

$$M_{\max.} = 2.240 \text{ Kligats.}$$

Valor con el cual obtengo el espesor de esta losa; siendo:  $G=40 \text{ Klgs./cm}^2$ . y  $G_e=1.200 \text{ Klgs./cm}^2$ .

$$h = r \sqrt{\frac{M}{G}}$$

Fórmula cuyos términos fueron explicados con anterioridad,

$$h = 0,411 \sqrt{\frac{2.240}{1}}$$

$$h \approx 20 \text{ cent.}$$

APERTURA EXTERNA EN LOS GUÍAS..- Tendrá forma fuselada aguas arriba y forma circular aguas abajo. Será de hormigón armado, calculado de modo que sostenga la losa que comprende la guía, más al eventual sobrepeso de 200 Kigs./mt<sup>2</sup>.

Consistirá en una columna de 0,3 mts. de ancho por 1 mt. en dirección de las aguas, con los extremos ejecutados en la forma descrita anteriormente.

CARGA QUE PUEDE SOportar LA COLUMNA..- Una columna de hormigón de estas dimensiones puede soportar una carga máxima de:

$$N = \sigma \times S$$

En la que:

$\sigma$  = Esfuerzo unitario máximo que puede soportar; para nuestro caso 210 Kigs./mt<sup>2</sup>.

S = Sección de la columna = 30 x 100

$$N = 210 \times 3.000 = 630.000 \text{ Kigs.}$$

$$N = 630 \text{ Ton.}$$

Valer que se comprueba que la columna es capaz de soportar, con un amplio margen de seguridad, la losa más las eventuales sobrecargas.

ESTABILIDAD AL FLEXIONAR..- Para que en una columna de hormigón armado no se produzca una flexión lateral, el coeficiente de esbaltez debe ser menor o a lo más igual a 15.

$$\gamma = \frac{h}{d} \leq 15$$

Fórmula en la cual:

Hormigón Armado - Pág. 41 - I. y D. Gral.

$\gamma$  = Coeficiente de esbeltez

$h$  = Altura de la columna

$a$  = Lado menor de la columna

Reemplazando valores:

$$\gamma = \frac{3,60}{0,30}$$

$$\gamma = 12$$

Valor que nos indica que en estas columnas no se producirá el pandeo.

## C A P I T U L O V

### C A N A L D E A D U C C I O N

#### A R T I C U L O S

El canal de aducción de aguas se extiende actualmente, desde el tanque de regulación hasta el segundo tanque de sedimentación que se encuentra junto al tanque de presión. Pocos metros antes de llegar a este punto se bifurca en dos ramales, uno de los cuales va a parar directamente en el tanque de presión.

El canal tiene una longitud aproximada de 1.350 mts., su forma es rectangular, variando las dimensiones del ancho ligeramente en los diferentes tramos entre 1,8 y 2 mts. En toda su longitud es revestido con mampostería de ladrillo o piedra. Corre por la ladera que bordea al río Machángara y en su mayor parte se encuentra totalmente recubierta de mampostería, o corre en túnel.

A lo largo de su trayecto existen 7 compuertas de descarga convenientemente situadas para el caso de que se produzca una obstrucción o tengan que hacerse trabajos en el canal. No existen aliviaderos.

Este canal, al igual que el resto de la instalación fue construido a comienzos del siglo. En un principio tuvo dimensiones menores y luego fue ampliado conforme se aumentó la potencia instalada en la Central.

Según información de algunos empleados de la E.E.C., cada

pocas veces se hacen limpiezas de los sedimentos depositados a lo largo del canal. En la limpieza de uno de los tramos, observada personalmente, pude medir una capa de 0,42 mts. de estos materiales, entre los que especialmente sobresalen, por su cantidad, piedras de pequeñas dimensiones. Como fácilmente se puede deducir, estos sedimentos reducen en una gran proporción la sección útil del canal.

La velocidad aproximada del agua en este canal es de 1 mt./seg.

OBRAS ACONSEJABLES:-  
~~ccccccccccccc~~

Después de haber realizado algunos recorridos a lo largo del exterior e interior del canal, aconsejo las siguientes obras, las mismas que deberían ser llevadas a la realidad aún en el caso de no ser llevado a la práctica la totalidad del presente proyecto. En caso contrario, después de corto plazo se destruiría esta parte de la instalación.

PRIMERA.- Limpieza completa del material sedimentado a lo largo del canal. La cantidad más notable de sedimentos se encuentra en la parte recubierta del canal y en los túneles, especialmente en los recodos, donde parece que se han realizado limpiezas con mucha menor frecuencia que en la parte descubierta. Estos sedimentos han reducido bastante la sección útil del canal, especialmente en el tramo comprendido entre el tanque de regulación y el primer desarenador.

SEGUNDA.- En diferentes puntos, donde el canal es completamente recubierto con mampostería de ladrillo, se han producido hundimientos en la bóveda de diferentes dimensiones, por los cuales, debido a deslaves de la ladera, siguen entrando nuevos sedimentos. Será conveniente reparar todos estos hundimientos.

TERCERA..- En aquellas partes en que el camino, que corre paralelo al canal, pasa por encima de éste, la mampostería que forma la bóveda se ha desgastado con el tránsito de peatones y animales. Motivo por el cual, será conveniente por lo menos recubrir estas zonas con una capa de tierra.

CUARTA..- Será conveniente sacar de raíz los arbustos y árboles que han sido plantados sobre el canal y en sus inmediaciones, puesto que con el avance que por el subsuelo realizan las raíces, poco a poco van produciendo derrumbes, especialmente en aquellas partes donde la bóveda no es recubierta, derrumbes que vienen a aumentar la cantidad de sedimentos depositados en el canal.

QUINTA..- A lo largo de su recorrido, el caudal del canal se ve incrementado por pequeños caudales (especialmente en la época lluviosa). Caudales que será conveniente hacer pasar por encima del canal por medio de pasos de agua, para que vayan a desembocar en el río. De esta manera se evitará la entrada de basuras, a las aguas relativamente limpias, provenientes de los nuevos depósitos de sedimentación.

Las obras necesarias a partir del punto en que el canal se bifurca en dos ramales, las analizaré dentro del capítulo siguiente.

En el futuro será conveniente realizar limpiezas periódicas del canal, ya que debido a la relativamente poca velocidad de las aguas en éste, es muy probable que se produzcan nuevas sedimentaciones de aquellos materiales que ingresan al canal después de los nuevos tanques de sedimentación.

C A P I T U L O VI

S E G U N D O T A N Q U E D E S E D I M E N T A C I O N

ANTECEDENTES.-

Este se encuentra situado al final del canal, junto al tanque de presión (Plano No. 4). Inicialmente parece que fué construido con el objeto de que allí se deposite todo el material sólido que varía por el canal.

Debido a que posteriormente se amplió la Central, hubo necesidad de un mayor caudal, por lo que fué necesario aumentar las dimensiones del canal. Por las dificultades encontradas al querer ampliar el último tramo de éste, fué necesario construir un nuevo ramal, al que se lo hizo desembocar directamente en el tanque de presión, quedando el segundo tanque de sedimentación sin actividad.

Los ramales, en los que se bifurca el canal al terminar su recorrido, para efectos de este proyecto se denominarán:

Ramal I, al que se encuentra a la derecha y

Ramal II, al que se encuentra a la izquierda,

vistos desde el tanque de sedimentación. (Fotografía No. 8)

Este tanque de sedimentación está provisto de un vertedero lateral, para los caudales de exceso y de una compuerta de limpieza, para la salida de los sedimentos. Ambos dan a un mismo canal de descarga, que avanza hasta el río. (Fotgría No.9)

Entre el tanque de sedimentación y el de presión existe un muro vertedero, en cuya parte inferior se hallan dos ori-

ficios que anteriormente estuvieron provistos de sus respectivas compuertas.

Por las razones ya enunciadas en la pág. 50 este tanque no cumple sus funciones, motivo por el cual, serían convenientes las siguientes obras de mejoras:

- 1.- Desviación del ramal IX,
- 2.- Profundización del ramal I,
- 3.- Construcción de una compuerta a la entrada de cada ramal,
- 4.- Clausura de los orificios existentes entre el tanque de sedimentación y el de presión,
- 5.- Nuevo dimensionamiento del vertedero existente entre los dos tanques,
- 6.- Recubrimiento de los ramales y de parte del tanque de sedimentación.



Fotografía N°. 8.- Vista Parcial de los tanques de sedimentación y presión, indicando la llegada de los dos ramales del canal.



Potografía No. 9  
Vista parcial del  
tanque de sedimenta-  
ción con la concurva  
de limpia y el verte-  
dero de excesos.

RECTIFICACION DEL RAMAL II.-

El ramal II que desemboca directamente en el tanque de presión, (Potografía No. 8), debe ser rectificado en su recorrido, como se indica en el plano No. 5 - Vista Planta, (Comparar con el Plano No. 4), de modo que las aguas pasen previamente por el segundo tanque de sedimentación. Para evitar desmoronamientos de la leadera situada junto a este ramal, se la recubrirá con mampostería de piedra.

Debido a que con el nuevo proyecto se disminuye el caudal circulante, la sección del nuevo tramo podrá ser menor que la sección del tramo existente.

Siempre que sea posible y en especial en aquellas ocasio-

nes en que sólo funcione un grupo, será preferible hacer circular el agua por el ramal No. 1. De esta manera se conseguirá una mayor efectividad del segundo tanque de sedimentación.

La sección del nuevo tramo a construirse será:

$$S = \frac{Q}{v} = \frac{1,78}{1} = 1,78 \text{ mts}^2,$$

La sección rectangular más conveniente es aquella en que:

$$b = 2.a$$

$$S = b.a = 2.a^2$$

$$a = \sqrt{\frac{S}{2}} = \sqrt{\frac{1,78}{2}} = 0,94 \text{ mts.}$$

Por consiguiente este ramal tendrá un ancho de 1,9 mts., y una altura de 1,25 mts., incluida la altura de seguridad entre el nivel libre del agua y el borde superior de los muros laterales.

En este ramal, está prevista una nueva rejilla para retener las basuras de relativamente gran tamaño que vienen flotando en las aguas y que han entrado al canal después de haber pasado por el nuevo tanque de sedimentación.

La luz entre las platinas de la nueva rejilla será de 5 cms. Estas platinas serán de un largo de 1,55 mts., con una profundidad de 60 mm. en dirección a la corriente por 6 mm. de espesor. El total de platinas se agruparán en dos paquetes.

La experiencia indica que las rejillas no se limpian bien, si la velocidad a través de éllas es mayor a 0,75 mts/seg.; por lo cual será conveniente ensanchar el canal en la parte donde se va a colocarlas.

A continuación se efectúa el cálculo de la sección del ca-

nal, en el sitio donde se situarán las rejillas.

La sección libre entre los barrotes de esta rejilla, para mantener la velocidad mencionada, deberá ser:

$$S = \frac{Q}{0,6 \times v}$$

Fórmula en la cual;  $Q$  = Caudal que ha de pasar por la rejilla.

$0,6$  = Coeficiente de contracción \*

$v$  = Velocidad entre barrotes

$$S = \frac{0,9}{0,6 \times 0,75} = 2 \text{ mts}^2.$$

Las rejillas se colocarán formando un ángulo de  $35^\circ$  con la vertical ( Fig. No. 29 ); por lo tanto su longitud mojada será:

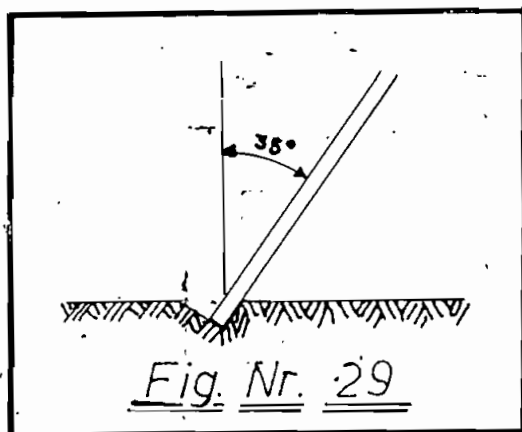


Fig. Nr. 29

$$L = \frac{0,5}{\cos 35^\circ}$$

$$L = \frac{0,5}{0,82}$$

$$L = 0,61 \text{ mts.}$$

Valor con el cual podemos calcular el número de barrotes de la rejilla a base de la fórmula:

$$S = (n+1)L.b^{**}$$

En la que:

$n$  = Número de barrotes,

$L$  = Longitud mojada de los barrotes.

\*Saltos de Agua y Presas de Embalse - Tomo I - pág. 580 - Gómez Navarro y Juan Aracil.

\*\*Ib - Id - pág. 582

b = Luz entre barrotes.

Reemplazando los respectivos valores:

$$n = \frac{2}{0,61 + 0,05} = 1$$

n = 65 barrotes

El ancho del canal en esta parte será:

$$A = n (b + c) + b$$

En la cual  $b$  es el ancho de cada placa,

$$A = 65 (0,05 + 0,006) + 0,05 = 3,7 \text{ mts.}$$

Debido a la topografía del terreno será necesario disminuir este ancho a tres metros.

En su parte inferior la rejilla se apoyará en un perfil en ángulo, empotrado en la solea del canal, tal como se indica en la Fig. No. 29 y en la parte superior estará apoyada en un perfil T. Detrás de éste se construirá una losa, sobre la que trabajarán los encargados de la limpieza de las rejillas.

#### PROFUNDIZACION DEL RAMAL I.-

.....

Por existir actualmente una diferencia de nivel de 0,2 mts. entre el ramal I y el II, y con el fin de que al caudal se reparta aproximadamente por igual entre los dos, será conveniente profundizar el ramal I en toda su extensión en 0,2 mts.

Con esta profundización la sección de este ramal será 1,4 x 1,5 mts. (Ancho por alto respectivamente).

En el futuro será posible seguir utilizando la rejilla existente en este ramal con sólo cambiar su posición y hacer ligeras reparaciones en los barrotes que la forman.

**COMPUERTAS PARA LOS DOS RAMALES.-**  
\*\*\*\*\* \* \* \* \* \*

Estas se construirán con el fin de hacer pasar todo el caudal por el ramal I cuando sólo funcione uno de los grupos; o hacer pasar todo el caudal por el ramal II, en el caso de ser necesaria alguna reparación en el ramal I.

Serán de características similares a aquellas instaladas a la entrada de los nuevos tanques de sedimentación; siendo sus dimensiones de acuerdo a la sección del canal, con un espesor de 5 cms. ( Plano No. 5 - Vista Planta ).

La maquinaria que se instalará para la elevación de estas compuertas, será similar a la prevista para las compuertas de entrada a los nuevos tanques de sedimentación.

**CLAUSURA DE LOS ORIFICIOS EXISTENTES ENTRE EL TANQUE DE SE-  
\*\*\*\*\* \* \* \* \* \***

**DIMINUTACION Y EL TANQUE DE PRESION.-**  
\*\*\*\*\* \* \* \* \* \*

Estos dos orificios (Plano No. 4 - Corte A - B ) antiguamente estuvieron provistos de sus respectivas compuertas. Con la realización del nuevo proyecto será conveniente cerrar los mismos, para aumentar de este modo la capacidad para material sólido del tanque de sedimentación.

**DIMENSIONAMIENTO DEL VERTEDERO ENTRE LOS DOS TANQUES.-**  
\*\*\*\*\* \* \* \* \* \*

Este es el vertedero por el cual deben pasar las aguas del tanque de sedimentación al tanque de presión. Su longitud es de 6,5 mts., dividida en dos tramos iguales.

La altura de la lámina líquida que pasará por encima de cada uno de los tramos, en el caso de funcionar los dos grupos, se obtiene por la fórmula de los vertedores de umbral largo:

$$Q = 0,385 \cdot C \cdot b \cdot h \sqrt{2 \cdot g \cdot h} \quad *$$

En la cual:

$Q$  = Caudal en  $m^3/\text{seg.}$

$b$  = Ancho en metros

$h$  = Espesor de la lámina vertiente

$g$  = Aceleración de la gravedad

$C$  = Coeficiente de gasto

Si asumimos 0,63, como valor aproximado de este coeficiente. El espesor de la lámina será:

$$h = \sqrt{\frac{Q^2}{(0,385)^2 \cdot C^2 \cdot b^2 \cdot 2 \cdot g}}$$

$$h = \sqrt{\frac{(0,69)^2}{(0,385)^2 \cdot (0,63)^2 \cdot (3,25)^2 \cdot 18,62}}$$

$$h = 0,42 \text{ mts.}$$

Como el actual vertedero tiene 57 mts. de altura, será conveniente elevar 15 mts. el nivel de la cresta de éste.

~~CUBIERTA DE LOS RAMALES Y DE PARTE DEL TANQUE DE SEDIMENTACION.~~

A partir de las rejillas y hasta que el agua pase a la tubería de presión será conveniente recubrir los ramales del tanque de sedimentación y el tanque de presión, de modo que no puedan entrar nuevas impurezas en el

\*Tratado de Mecánica Aplicada - Pág. 65 - Herbert Addison.

agua.

En aquella parte donde el ramal II tiene tres mts. de ancho, el espesor de la losa de hormigón que servirá para el recubrimiento será:

$$h = r \sqrt{\frac{M}{b}}$$

Fórmula cuyos términos han sido explicados anteriormente y cuyos respectivos valores los obtenemos a continuación:

$$M = \frac{R_s l^2}{8}$$

$$p = p' + p''$$

$$p' = \text{Sobrecarga} = 200 \text{ Klgcs./mt}^2,$$

$$p'' = \text{Carga propia} = 0,1 \times 1 \times 1 \times 2400$$

$$p'' = 240 \text{ Klgcs./mt}^2,$$

$$p = 200 + 240 = 440 \text{ Klgcs./mt}^2,$$

$$l = 3,2 \text{ mts.}$$

$$M = \frac{440 \times 10 \times 3,2}{8} = 508 \text{ Klguts.}$$

$$r = 0,411 \quad ; \quad b = 100 \text{ cms.}$$

Reemplazando los valores respectivos:

$$h = 0,411 \sqrt{\frac{50.800}{100}}$$

$$h = 9,3 \text{ cms.} \approx 10 \text{ cms.}$$

En aquella parte donde el canal tiene 2 mts. de ancho, el espesor de la losa de hormigón armado será:

$$M = \frac{440 \times (2,2)^2}{8} = 265 \text{ Klguts.}$$

$$h = 0,411 \sqrt{\frac{26.500}{100}} = 6,7 \text{ cms.}$$

Tomo el espesor mínimo para losas, que es 8 cms.

Al final del ramal I se colocaría una losa de igual espesor de la calculada. ( Plano No. 5 )

Tara cubrir el tanque de sedimentación hasta la altura del vertedero, sería conveniente la construcción de otra losa. En el caso de desear obtener una mayor economía, sería posible el uso de tablones. Tales tablones también podrían utilizarse al final de los dos ramales.

La losa o las tablones que cubriría el tanque de sedimentación estarán apoyados en los muros laterales del tanque, en una viga central y en "perfiles" de hierro sobre el vertedero que une los dos tanques.

En el caso de utilizarase una losa de hormigón armado, su espesor será calculado a base de la misma fórmula anterior, en la cual:

$$I = b \cdot l \text{ mts. } (\text{luz de círculo})$$

$$p^t = 212 \text{ Kilon./mt}^2,$$

$$p^a = 0,12 \times 1,2 \times 1 \times 2400 = 288 \text{ Kilos./mt}^2,$$

$$p = 212 + 288 = 500 \text{ Kilos./mt}^2$$

El momento máximo para losas entímpas viene dado por:

$$M_{\max.} = \frac{p \cdot l^2}{12}$$

$$M_{\max.} = \frac{500 \cdot 16,0}{12}$$

$$M_{\max.} = 764 \text{ Kilon.}$$

$$h = 0,411 \sqrt{\frac{264}{l}} = 11,4 \text{ cm.}$$

$$h \approx 12 \text{ cm.}$$

DISPENSACIONES DE LA VIGA — Las dimensiones de la viga son tipo 1, que se apoyará esta losa, las obtengo haciendo la es-

guientes consideraciones:

$\gamma$  = Peso del hormigón armado = 2.400 Kilos/m<sup>3</sup>.

$P$  = Carga repartida por metro de longitud de la viga = 2.000 Kilos.

$b$  = Ancho de la viga = 0,4 mts.

Como esta viga se apoyará en el muro lateral y en dos apoyos, uno al centro y otro al extremo de ella. El momento en el apoyo central según la fórmula de Gleyperon será:

$$2 \cdot M (l_1 + l_2) = - \frac{(q_1 + q_2) l_1^2}{8}$$

Fórmula en la cual:

$M$  = Momento en el apoyo central

$l_1$  y  $l_2$  = Lados de cálculo

$q_1$  y  $q_2$  = Valor de las cargas repartidas

Cuyos valores en el presente caso son:

$l_1 = l_2 = 4,7$  mts.

$q_1 = q_2 = 2$  Ton/mts.

Reemplazando estos valores:

$$2 \times M \times 9,4 = - \frac{(2 \times 5,7^2 + 2 \times 5,7^2)}{8}$$

$M = - 5.530$  Kilomts.

La altura de esta viga será:

$$h = \pi \sqrt{\frac{M}{S}}$$

$$h = 0,401 \sqrt{\frac{5.530}{0,4}}$$

$h \approx 50$  cent.

Por consiguiente la sección de la viga será de 40 x 50 cent.

DETALLE DE LA VIGA .- Las columnas sobre las que se apoyará

esta viga serán zunchedas, situadas según se ve en el plano No. 5 - Corte A-B.

La sección de cada una de estas columnas será:

**COLUMNA CENTRAL:**

Sección interior a los zunchos:

$$P_k = \frac{P}{\sigma}$$

En la cual:

P = Carga que tiene que soportar la columna.

$\sigma$  = Esfuerzo unitario que puede soportar la columna.

$$P = 4,7 \times 2 + 4,7 \times 0,4 \times 0,5 \times 2,4$$

$$P = 11,65 \text{ Ton.}$$

$$\sigma = 50 \text{ KIgs./cm}^2.$$

Reemplazando los valores respectivos:

$$P_k = \frac{11,650}{50} = 233 \text{ cmts}^2.$$

De donde el diámetro entre zunchos será:

$$D_k = \sqrt{\frac{4 \cdot P_k}{\pi}}$$

$$D_k = \sqrt{\frac{4 \times 233}{3,14}} = 19,9 \text{ cmts.}$$

A este diámetro añado 5 cmts. de recubrimiento sobre los zunchos, o sea que la columna tendrá una sección de 490 cmts<sup>2</sup>

**COLUMNA AL EXTREMO DE LA VIGA:**

Esta columna tendrá el mismo diámetro de 25 cmts., por ser éste el diámetro mínimo para columnas zunchedas.

PERFILS SOBRE EL VERTEDORO:

Para sostener la losa será conveniente colocar un perfil en I sobre cada tramo del vertedero.

Las perillas convenientes para el presente caso serán  
2 - 12 (PNL 1.025 - hoja 1). Las cuales con una fuerza de 4.  
ntrm. producen una carga reportada de 1.265 Kgs/lat.

en la parte superior

Para conveniente sujetar este segundo tornillo se recomienda  
montacida a un limpiador manual, aprovechando del tiempo  
que dura esta operación la central pone limpia del tan-  
que de regadío.

## C A P I T U L O VII

### T A N Q U E D E P R E S I Ó N

~~APERTURAS~~.- Como ya se indicó, este tanque está situado lateralmente al segundo tanque de sedimentación; sirviendo de punto de enlace entre éste y la tubería de presión.

Sus dimensiones son relativamente reducidas, debido a la configuración topográfica del terreno en que ha sido necesario construirlo: 7,5 x 7,5 x 3,3 mts. (Ancho x largo x alto, respectivamente ).

Su posición con respecto al canal y el segundo tanque de sedimentación no es nada conveniente, puesto que no reune ninguna de las condiciones básicas que hay que tener en cuenta para situar esta parte de la instalación; es decir, que el agua al pasar del canal a la tubería de presión no debe cambiar bruscamente su dirección, ni se debe dar lugar a la formación de zonas muertas. Condiciones que en este caso no han sido cumplidas, por las posiciones obligadas del tanque y de la Casa de Máquinas.

Hasta hace 26 años, siguiendo el eje longitudinal del tanque, partía la tubería de presión en dirección a la Casa de Máquinas. En ese año se cambió la antigua tubería por una nueva de mayor diámetro que la original, al mismo tiempo que se trasladó la salida del agua a una de las paredes laterales del tanque (Plano No. 4).

El tanque de presión es descubierto, lo que permite la entrada de nuevas basuras que pueden poner en peligro las turbinas a instalarse; por este motivo será conveniente recubrir el tanque de presión con una lona.

Como es muy probable, dí que en el desnivel existente entre el fondo del tanque y la entrada a la tubería de presión ( 0,75 mts.) se producen nuevas sedimentaciones, será conveniente volver a instalar una compuerta lateral que ya existió allí, la misma que se abre sobre el canal de desagüe.

#### ~~GENERALIDADES~~

La entrada a la tubería es de forma abocinada, con lo que se consigue que la vena líquida no se contraje demasiado.

Según los normales la sección mínima en la abocadura de la tubería debe ser:  $\frac{Q}{0,97 \times v}$ .

Fórmula en la cual:

$$Q = \text{Caudal}$$

0,97 = Coeficiente de contracción para la forma abocinada.

v = Velocidad de entrada, que no debe ser superior a 1,5 mts/seg.

$$Q = \frac{1,78}{0,97 \times 1,5} = 1,225 \text{ mts}^3.$$

Valor que se sobrepasa ampliamente en el caso de Guayape, puesto que la entrada a la tubería tiene una sección aproximada a los 2,8 mts.

Para evitar la formación de remolinos en la entrada a la tubería conviene colocarla lo más bajo posible. Según los textos, la altura  $h$  desde la parte superior de la tubería, hasta el nivel libre del agua debe ser por lo menos igual a  $10 h'$ .

Valor en el cual  $h'$  es la altura teórica, correspondiente a la velocidad del agua en el tubo.

$$h' = \frac{v^2}{2.g}$$

En nuestro caso la velocidad máxima dentro del tubo, según la fórmula de Darcy, será:

$$v = 1,273 - \frac{9}{D^2}$$

$$v = 1,273 - \frac{1,76}{(1,229)^2} = 1,5 \text{ mts/seg}$$

$$h' = \frac{(1,5)^2}{19,62} = 0,114$$

de donde:

$$h = 10.h' = 1,14 \text{ metros.}$$

Valor que en esta Central también se sobrepasa, puesto que  $h \approx 2$  metros.

#### CONSTRUCCIÓN DEL TANQUE DE PRESIÓN.-

Como ya lo mencioné, será conveniente cubrir el tanque con una losa, para evitar que sean arrastrados a las turbinas los objetos que puedan caer en el tanque. En lugar de la losa se pueden utilizar también tablones de madera.

La losa o los tablones se apoyarán en los muros del tanque y en una viga central.

Esta viga tendrá las siguientes dimensiones:

$$\text{luz} = 6,2 \text{ mtrs.}$$

$$\text{ancho} = 0,4 \text{ mtrs.}$$

La altura de esta viga la calcule de acuerdo a la fórmula ya vista en el capítulo anterior y cuyos términos en este caso tienen los siguientes valores:

$$P = 1,75 \text{ ton.}$$

$$l = \text{luz de cálculo} = 6,5 \text{ mtrs.}$$

$$r_{\text{máx}} = \frac{R_{\text{d}} l^2}{8}$$

$$M_{\text{máx}} = -\frac{R_{\text{d}} l^2 \cdot 3 \cdot 6,5^2}{8} = 1,450 \text{ kilots.}$$

La fórmula que nos da la altura de la viga es:

$$h = r \sqrt{\frac{M}{b}}$$

en la cual reemplazando los valores respectivos, obtenemos:

$$h = 0,411 \sqrt{\frac{-1,450 \cdot 2}{0,3}} = 28,4 \text{ cms.}$$

$$h \approx 0,3 \text{ mtrs.}$$

Al construir la cubierta de este tanque, en una de las esquinas se dejará una abertura provista de una tapa, para poder realizar inspecciones dentro del mismo (Plano N°.5).

En el caso de cubrirse el tanque con una losa, el espesor de ésta sería:

$$h = r \sqrt{\frac{M}{b}}$$

en la cual:

$M$  = Momento máximo para losas continuas.

$$M = -\frac{R_{\text{d}} l^2}{11}$$

$$P = 500 \text{ Kilonewtons/metro}^2$$

$$l = 3,75 \text{ mts.}$$

$$H = \frac{500}{1000} \cdot 3,75 = 636 \text{ Kilonewtons}$$

Reemplazando los respectivos valores en la fórmula del espesor obtengo:

$$h = 0,412 \sqrt{\frac{63.600}{400}} = 10,3 \text{ mts.}$$

$$h \approx 11 \text{ cent.}$$

#### COMPUTA PARA LIMPIEZA DE TUBERIA:

Esta estará situada lateralmente a la transición de entrada a la tubería; en el mismo lugar, donde se disipan pérdidas ya existió una compuerta. Sus dimensiones serán de 1 mto. de ancho por 0,9 de alto, la chapa de hierro.

El espesor de esta chapa lo obtengo a partir de la fórmula ya conocida:

$$h = 5 \cdot n \sqrt{\frac{32}{G} \cdot t}$$

$$\text{En la cual: } n = 0,9 \text{ mts. y } G = 3 \text{ mts.}$$

$$h = 5 \cdot 0,9 \sqrt{\frac{32 \cdot 3^2}{3 \cdot 1000 \cdot 0,05}} = 0,61512 \text{ mts.}$$

A este valor debe sumarle para tener en cuenta la probabilidad de oxidación y asijo el espesor de  $\frac{3}{4}$  de pulgada, o sea aproximadamente 19 mm.

Esta compuerta se deslizará entre la pared del tanque y las perillas en ángulo colosadas a cada lado. Los accionamientos para la alineación se encontrarán situados encima del muro que abarca todo fondo del casill de descarga.

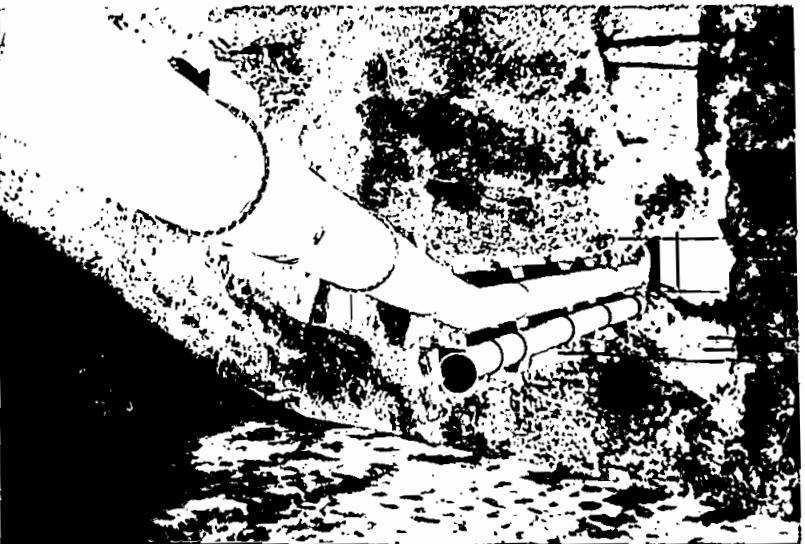
Todas estas mejoras se harán dibujadas en el Piso N°. 5.

C A P I T U L O VIII

U B B E T A D E P R E S I Ó N

ANTERIORES Y COTIZACIONES

La tubería tiene forma abovedada al salir del tanque de presión. Antes de entrar a la Casa de Máquinas se blanquea para ir a alimentar a cada una de las turbinas.



Potografía No. 10  
Tubería de Presión  
(actual y antigua)  
en la Casa de Má-  
quinas al fondo.

La tubería es de acero reblonado, y su sección es variable en forma telescópica, a medida que avanza hacia la casa de máquinas. Se pueden anotar los siguientes datos acerca de élla:

Longitud aproximada.....	150 mts.
Perímetro en la parte superior.....	4,37 mts.
Perímetro en la parte inferior.....	3,90 mts.
Diametro exterior (mayor) en la parte superior.....	1,392 mts.
Diametro interior (menor) en la parte superior.....	1,375 mts.
Diametro exterior (mayor) en la parte inferior.....	1,241 mts.
Diametro interior (menor) en la parte inferior.....	1,225 mts.
espesor original.....	5/16" ≈ 8 mm.
Número de apoyos.....	17
Número de codos durante el salto.....	3

El agua, al salir del tanque de presión, pasa por una zona de transición, revestida de hormigón, que comienza en el muro lateral del tanque (Plano N°. 4 ) y termina en el comienzo de la tubería de presión.

Al comienzo de la tubería está fijado sólidamente al final de la zona mencionada y al avanzar hacia la casa de máquinas pasa por encima del carretero que lleva a la misma. A lo largo de su recorrido no existe ningún bloque de argollaje y únicamente en el segundo codo, que es hacia afuera, se puede anotar una brida de sujeción.

Como se mencionó en el capítulo anterior, la tubería está en servicio desde hace 26 años. Según el Ingeniero que la instaló, está prevista para una duración de 50 años, dependiendo naturalmente este tiempo, de la calidad del agua que circula por su interior y del cuidado que se le preste en el mantenimiento exterior; es decir principalmente de la protección que se le da contra la oxidación. A través de las observaciones personales realizadas en esta tubería, he podido constatar que se encuentra en buen estado, recubierta de una capa de pintura anticorrosiva y una capa de pintura de aluminio.

Como es natural, debido al tiempo que está en servicio y a que el dimensionamiento fué hecho a base de otros datos, esta tubería tendrá pérdidas algo mayores que una nueva que se calcule e instale de acuerdo a los valores de este proyecto. Pero si estas pérdidas, como luego se verá, quedan dentro de un límite razonable, no será necesario instalar por el momento una tubería nueva y podrá seguir prestando sus servicios la existente, ahorrándose de este modo la E.E.Q. el fuerte gasto que significa la instalación de una tubería de presión.

#### ESPEZOR DE LA TUBERIA.

Para poder utilizar la tubería existente, es necesario comprobar si su espesor es suficiente para el nuevo proyecto, puesto que con el cambio de las turbinas Pelton a Francis, hay que considerar un incremento en el valor de la presión dinámica.

La comprobación la hago para la parte inferior, donde

la presión es mayor, a base de la siguiente fórmula:

$$e = \frac{H \cdot D}{2 \cdot \sqrt{\sigma} \cdot f}$$

En la cual:

e = Peso por la tubería

H = Altura de presión total, expresada en  
Kilogramos/cm<sup>2</sup>.

D = Diámetro interior = 1,825 mts.

$\sigma$  = Coeficiente de resistencia del material

f = Factor de seguridad

La altura de presión total viene a su vez dada por:

$$H = y + \frac{2 \cdot h \cdot v}{g \cdot T}$$

Fórmula en la cual el primer término representa la altura debida a la carga hidrostática, que la podemos considerar aproximadamente de 55 mts. y el segundo la altura debida a la presión que produce el golpe de cierre. Los diferentes términos de esta fórmula representan:

y = Altura de presión útil

h = Longitud de la tubería (aproximadamente  
150 mts.)

v = Velocidad del agua en la tubería = 1,71 mts/sec.

g = Aceleración terrestre

T = Tiempo de cierre (Tiempo que necesita el  
regulador automático de la turbina para  
cerrar completamente el paso del agua).

En las turbinas modernas, con regulador  
sumamente rápido varía de 2 a 6 segundos.

Para nuestro caso admite la menor posibilidad o sea 2 segundos.

$$H = 55 + \frac{2,5 \cdot 150 \cdot 2 \cdot 2}{9,81 \cdot 2 \cdot 2}$$

$$H = 76 \text{ mts.}$$

Por no haber podido comprobar la calidad del acero de esta tubería, vamos a suponer, a ventaja de la estabilidad, que se trata de acero común St 37, cuyo límite de elasticidad es de 1.900 a 2.000 KIgs/cm<sup>2</sup>, y tomando un factor de seguridad de dos en la resistencia del material, el factor:

$$\gamma = \frac{1.900}{2} = 950 \text{ KIgs/cm}^2.$$

Además, por tratarse en este caso de una tubería soplada, tiene un segundo factor de seguridad de 0,8; para tener en cuenta la existencia de uniones entre tramos.

Reemplazando los valores respectivos en la fórmula del espesor, se obtiene:

$$e = \frac{2,0 \cdot 1,900 \cdot 2}{1.900 \times 0,8}$$

$$e = 0,0063 \text{ mts.} = 6,3 \text{ mm.}$$

Como la tubería existente tiene 8 mm. de espesor, nos quedan 1,7 mm. como seguridad contra la corrosión, o sea que esta tubería puede ser utilizada perfectamente en el futuro.

#### BIFURCACION DE LA TUBERIA.-

Antes de entrar a la casa de máquinas, al final de la altura de salto, la tubería se bifurca actualmente para ir a alimentar a cada una de las cuatro turbinas. En el nuevo proyecto esta bifurcación será de dos

ramales, cada uno de los cuales formará un ángulo de 90° con la tubería existente e irá a alimentar su respectiva turbina después de haber hecho otro giro del mismo valor. A continuación del último ángulo se encontrarán las llave-compuertas de aceleramiento manual.

La sección de cada uno de los ramales de la tubería será:

$$S = \frac{Q}{V}$$

En la canal:

$$Q = \text{Caudal} = 0,89 \text{ mts}^3/\text{seg.}$$

$V$  = Velocidad en la parte final de la tubería

de presión = 1,91 mts/seg.

$$S = \frac{0,89}{1,91} = 0,46 \text{ mts}^2$$

De donde el diámetro interior de cada tubería será:

$$D = \sqrt{\frac{4S}{\pi}}$$

$$D = \sqrt{\frac{4 \times 0,46}{\pi}} = 0,865 \text{ mts.}$$

Y como el espesor es de 8 mm., el diámetro exterior será: 0,931 mts.

#### CIERRE DE LA TUBERIA.-

En este proyecto no se considera una llave de cierre a la entrada de la tubería, por considerarla innecesaria, puesto que si no se desea que siga pasando agua por la tubería, bastará abrir la compuerta del segundo tanque de sedimentación y dejar la vena líquida por el canal de desague.

Después del último ángulo que forma la tubería antes de entrar a la Casa de Máquinas, se pondrá en cada uno de los

también una llave-compuerta de accionamiento manual, provista de su respectiva by-pass. Estas llaves-compuertas servirán para el caso en que se necesite hacer alguna reparación en una de las turbinas, mientras la otra sigue funcionando. Se las escogerá de los catálogos que tienen los mismos fabricantes de acuerdo al diámetro de la tubería y la presión que deben soportar.

PÉRDIDAS EN LA TUBERÍA.

En una instalación bien concebida, éstas deben de ser menores al 10%.

A continuación procedo a comprobar que en la tubería existente no se sobrepase este valor; no siendo por lo tanto necesario la instalación de una nueva tubería.

PÉRDIDA DE PRESIÓN. - (h.) Esta se produce debido a la creación de la velocidad necesaria para que el caudal pase por la entrada a la tubería, y por contracción de la vena líquida, al pasar ésta por la embocadura.

El valor de esta pérdida viene dada por:

$$h_1 = \frac{v^2}{2.g.c^2}$$

Fórmula en la cual:

$h_1$  = Pérdida de entrada

$v$  = Velocidad en la entrada a la tubería

$c$  = Valor que depende de la forma de la entrada a la tubería, en nuestro caso = 0,97 es

El valor de la velocidad en la embocadura la obtengo a

base de la fórmula mencionada en el capítulo anterior:

$$\theta = \frac{Q}{0,97 \times v}$$

De donde despejando se obtiene:

$$v = \frac{Q}{0,97 \cdot \theta}$$

$$v = \frac{1,78}{0,97 \times 2,8} = 0,655 \text{ mts/seg.}$$

Completiendo los valores respectivos:

$$h_1 = \frac{0,51}{19,62} \cdot 1,06$$

$$h_1 = 0,0232 \text{ mts.}$$

PÉRDIDA POR ROZAMIENTO. - ( $h_2$ ) Según Seabey (Engineering News Record, 1.931) \* para tubos de plástico, esta pérdida viene dada por la fórmula:

$$h_2 = 0,587 \times \frac{2^{1,9}}{g^{1,1}}$$

En la cual:

$h_2$  = Pérdida por rozamiento

$K = K' \cdot 0,015 \cdot t$

$a = 2,718$

$t$  = Diam. de la tubería

$K'$  = Valor de la constante para el tubo nuevo.

En caso de tuberías con juntas sobresalientes longitudinales y transversales, y espesores de 5 a 11 mm. = 0,44

D = Diámetro medio = 1,3 mts.

v = Velocidad media en la tubería = 1,34 mts/seg.

Desarrollando las relaciones respectivas de obtenemos

$$K = 0,44 \times 0,7180,015 = 26$$

$$K = 0,65$$

$$h_2 = R_1 267 \times 0,65 - \frac{R_1 267}{1,33}$$

$$h_2 = 2,2 \text{ mtrs.}$$

RESUMEN DE LOS RESULTADOS ( $h_2$ ) Si no hubiese posible obtener más datos con exactitud, por no disponer de los datos planimétricos a ratios de curvatura y ángulos al centro de los codos. De tal modo que ya he visto obligado a calcularlos como codos bruscos, para los cuales resultan de la siguiente manera:

$$h_3 = (0,9457 \operatorname{sen}^2 \frac{\omega}{2} + 2,0467 \operatorname{sen} \frac{\omega}{2}) - \frac{v_1}{0,6}$$

Siendo el ángulo entre las dos altimetrías de la "mitad" de la sección.

Puedo a calcular las pérdidas para los codos sucesivos, considerando por el superior y concurso como valor de la velocidad el de la velocidad media.

Los ángulos que los tres tramos de tubería forman con una horizontal son:

$$\alpha_1 = 26^{\circ}30' \quad ; \quad \alpha_2 = 14^{\circ}20' \quad ; \quad \alpha_3 = 24^{\circ}40'$$

Siendo por consiguiente el ángulo entre dos tramos sucesivos de tubería

$$\omega_1 = 13^{\circ}10' \quad ; \quad \omega_2 = 10^{\circ}20' \quad ; \quad \omega_3 = 24^{\circ}40'$$

En el primer ángulo la pérdida será:

$$h_1 = (0,9457 \operatorname{sen}^2 65' + 2,0467 \operatorname{sen} 65') - \frac{v_1^2}{19,62}$$

\*Gálitos de Agua y Puentes de Infraestructura - Toma X - pág. 713 -

Gómez Maravilla y Juan Arevalo

Pérdida que es despreciable. Igual cosa sucede con el ángulo siguiente, cuyo valor es  $10^{\circ}20'$ . Mientras que en el tercer ángulo el valor de  $\omega_3$  es  $24^{\circ}40'$  y por consiguiente:

$$h_3 = (0,9457 \operatorname{sen}^2 12^{\circ}20' + 2,047 \operatorname{sen}^4 12^{\circ}20') \frac{1,21^2}{19,62}$$

$$h_3 = 0,0075 \text{ mts.}$$

Antes de llegar a las llave-compuertas, cada uno de los ramales de la tubería forma un ángulo de  $90^\circ$ , lo que representa una nueva pérdida cuyo valor es:

$$h_4 = 2(0,9457 \operatorname{sen}^2 45^\circ + 2,047 \operatorname{sen}^4 45^\circ) \frac{1,21^2}{19,62}$$

$$h_4 = 0,23 \text{ mts.}$$

PÉRDIDA POR CAMBIO DE SECCIÓN. = ( $h_1$ ) Como en esta tubería los cambios de sección se verifican de una manera gradual y lenta, el valor que se obtiene a causa de esta pérdida es despreciable.

PÉRDIDAS DE CAUSA EN LAS LLAVES. = ( $h_2$ ) Existen cuando las llaves están sólo parcialmente abiertas. Como en nuestro proyecto se contempla la existencia de una llave por cada ramal, éstas tendrán que estar completamente abiertas cuando funcionen sus respectivas turbinas y la pérdida por este concepto no existirá.

PÉRDIDAS DE CAUSA EN LAS BIFURCACIONES. = ( $h_3$ ) Esta viene dada por la fórmula:

$$h_3 = K \frac{v_1^2}{2 \cdot g} + \frac{v_2^2 - v_1^2}{2 \cdot g}$$

En la cual  $K$  es un factor que depende del:

$\alpha$  = Ángulo que forma la bifurcación con el tubo

principal =  $90^\circ$

b.- Del caudal que da derivación ( $Q_d$ ) con respecto al caudal ( $Q$ ) que viene por la tubería principal

$$= 0,5 Q$$

c.- Del diámetro ( $D_d$ ) del tubo derivado con respecto al diámetro ( $D$ ) de la tubería principal = 0,75

d.- De la suposición de que las aristas se han redondeado con radio igual a 0,1  $D_d$ .

Por no existir en las tablas \* un valor adecuado de  $K$  para nuestro caso, tomo el valor aproximado de 0,6.

$v_1$  = Velocidad en la tubería principal = 1,5 mts/meg.

$v_2$  = Velocidad en el raudal = 1,51 mts/meg.

$$h_1 = 0,6 \frac{1,51^2}{19,62}$$

$$h_1 = 0,07 \text{ mts.}$$

PÉRDIDAS DE CARGA EN EL DESAGUE. - ( $h_2$ ) Al salir el agua del tubo de aspiración, conserva aún una velocidad, la cual es igual al caudal dividido por la sección extrema del tubo (Capítulo XI - Tubo de Aspiración). Esta velocidad representa una pérdida de carga cuyo valor es:

$$h_2 = \frac{v^2}{2 \cdot g}$$

$$h_2 = \frac{0,07^2}{2 \cdot 9,81} = 0,0035 \text{ mts.}$$

PÉRDIDA TOTAL. - (h total) Al sumar todas estas pérdidas parciales, obtendremos la pérdida total, que en este caso será:

$$h_{\text{total}} = h_1 + h_2 + h_3 = 0,093$$

$$h_{\text{total}} = 0,093 + 0,0035 = 0,0965 \text{ mts.}$$

$$h_{\text{total}} = 0,0965 + 0,25 = 0,35 \text{ mts.}$$

~~h<sub>1</sub> = Pérdida de la tubería en el tramo 1 = 0~~

~~h<sub>2</sub> = Pérdida de la tubería en el tramo 2 = 0~~

~~h<sub>3</sub> = Pérdida de la tubería en el tramo 3 = 0,07~~

~~h<sub>4</sub> = Pérdida de la tubería en el tramo 4 = 0,033~~

~~h total = 0,568 mts. ≈ 0,6 mts.~~

Valor que representa aproximadamente el 5% del salto total y que consecuentemente no se obliga a diseñar una nueva tubería.

#### RENDIMIENTO DE LA TUBERÍA.-

~~.....~~

Restando las pérdidas anteriores de la altura bruta (58,7 mts.), se queda la altura neta de aproximadamente 56,1 mts. (Ver capítulo siguiente). Por consiguiente el rendimiento de la tubería será:

$$\rho = 1 - \frac{h_t}{H}$$

Fórmula en la cual:

$\rho$  = Rendimiento de la tubería

$h_t$  = Pérdida total

$H$  = Altura bruta

$$\rho = 1 - \frac{0,6}{58,7}$$

$$\rho = 0,945 \approx 95\%.$$

C A P I T U L O      IX

D E T E R M I N A C I O N D E L A P O T E N C I A A

O B T E N I B I L

A L T U R A T O T A L D E L S A L T O . -

El dato utilizado hasta aquí como altura del salto, tal como se menciona en la página 20, fue proporcionado por la E.E.Q., a base de un levantamiento del perfil de la tubería existente. Más como la altura total del salto comprende el desnivel entre la superficie libre del agua y la salida del tubo de succión, el dato anterior se incrementa en:

- a.- La altura entre el nivel libre del agua , en el tramo de transición anterior a la tubería de presión y la parte superior de ésta en la embocadura 2 mts.
- b.- La altura correspondiente al tubo de succión, por debajo del piso de la Sala de Máquinas 2 mts.

O sea que contamos aproximadamente con un desnivel total de 50,7 mts.

R E N D I M I E N T O H Y D R A U L I C O . -

Después de haber obtenido en el ca-

pítulo anterior como valor aproximado de las pérdidas en la tubería el 5%; disminuyo el valor del rendimiento de las turbinas al 87%.

**POTENCIA TOTAL OBTENIBLE.-**

A base de estos datos vuelve a calcular la potencia que se podrá obtener de los grupos a instalarse en esta Central.

$$H = \frac{Q \cdot H_0 \cdot 736 \cdot \rho_1 \cdot \rho_2}{75}$$

Fórmula cuyos términos se encuentran explicados en el capítulo XI.

$$H = \frac{1,73 \times 53,7 \times 736 \times 0,87 \times 0,91}{75}$$

$$H = 940 \text{ MM.}$$

Por consiguiente será posible instalar dos turbinas Francis de 490 KW, que de acuerdo al horario consignado en la página 25 permitirán una producción diaria de 15.240 KWh.

**VELOCIDAD IMPULSIVA.-**

Para generar una potencia de 490 KW., con una caída de 53,7 mts. y a 900 r.p.m., se necesita una turbina que tenga una velocidad específica de:

$$n_s = \frac{N}{H} \sqrt{\frac{H}{VH}}$$

$$n_s = \frac{900}{53,7} \sqrt{\frac{490}{53,7}}$$

$$n_s = 113 \text{ r.p.m.}$$

Según la tabla 31-1, del Tomo I, de la obra de Odínes, R. Verro y Aracil, el tipo de turbinas que conviene a este valor de  $n_s$  es la misma Francis Normal mencionada hasta aquí.

ALTAURA DE OBSTRUCCIÓN

estas se considera. Según lo dicho en la página 28, la altura de succión de estas turbinas será

$$H_s = H - C_s H$$

en la salida

$H = 6,96$  ( Salir lo calculado en la página 28  
aionada )

$H =$  Altura total del salto =  $98,7$  mts  
 $C_s$  Coeficiente de cavitación, que según la figura 28-19 de la obra *Watt's Standard*, para  $n_s=113$  vale  $0,05$ .

$$H_s = 6,96 - 2,935 = 3,025 \text{ mts}$$

esta altura de succión permitirá evitar la formación del fenómeno de cavitación.

C A P I T U L O    I  
\*\*\*\*\*

C A S A    D E    M A Q U I N A S  
\*\*\*\*\*

En nuestro caso, se encuentra ya construida y alberga las turbinas, generadores, instrumentos de control, tableros de medida y otros elementos auxiliares. La distribución general de la actual Casa de Máquinas se puede ver en las fotografías No. 11 y 13.

Esta Casa de Máquinas se encuentra situada en una pequeña planicie al final de la tubería de presión, a unos 5,5 mts. sobre el nivel del cauce del río, en la parte en que éste pasa lo más cerca de élla. El río en este tramo tiene una fuerte pendiente, lo que ha permitido construir el canal de descarga de relativamente pequeña longitud.

Como en este proyecto se contempla el reemplazo de los cuatro grupos existentes por dos nuevos, los grupos antiguos junto con sus instrumentos de control y medida deberán ser retirados de esta Central, para dejar el espacio necesario para la instalación de los nuevos, los cuales serán situados simétricamente con respecto a un eje central.

Para llegar a la Casa de Máquinas existe un camino de buenas características. Será necesario indicar a los fabricantes del equipo, la altura máxima de los bultos, ya que estos deberán pasar por debajo de un tramo de la tubería de pre-

sión, que atraviesa la carretera a relativamente poca altura.

Dentro de la Casa de Máquinas se situarán hacia el lado de la ladera las dos turbinas y hacia el lado opuesto los aparatos de medida, control, seguridad, etc.

Cada uno de los grupos estará formado por una turbina de cámara espiral con su respectivo regulador, volante, alternador y excitatriz; entre los cuales se situarán cojinetes para contener el eje en la posición horizontal adecuada.

Las uniones eléctricas entre las diferentes partes de los grupos, sus aparatos de control y seguridad se realizarán por cables colgados en galerías practicadas en el piso de la Casa de Máquinas.

También se preverá la existencia, dentro de este edificio, de un parque de baterías, que servirá para alimentar a los aparatos de corriente continua y para iluminación de emergencia en el caso de una falla en los alternadores.

## C A P I T U L O II

G E L C U L U Y D I A H O D E L A E T U R E X H A S  
desarrolladas e ejecutadas con éxito.

### A F T E R M A T T E R S

Actualmente existen en la Central de Guipolé cuatro turbinas Pelton de doble aspiración acopladas a sus respectivas generadoras ( Fotografía No. 11 ). Una de estos grupos produce 1000 CV. cada una y al marco 300 KW.

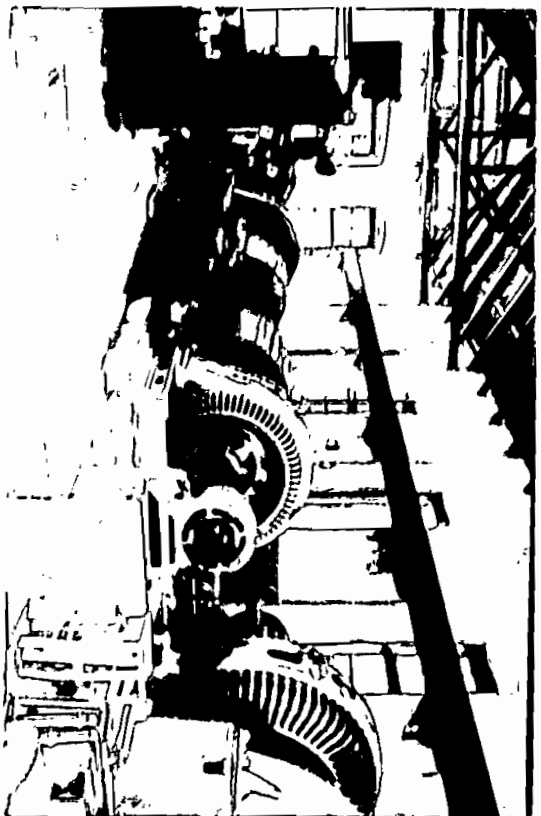


Foto. No. 11.- Vista en conjunto de los cuatro grupos generados en la Central de Guipolé.

Como ya se dijo, estas turbinas tienen un rendimiento muy bajo, debido principalmente a la calidad de las aguas que se utilizan, que con el paso del tiempo han perdido

un excesivo desgaste que obliga al frecuente cambio de algunas piezas.

Por información de uno de los miembros del personal de anotadores de la Casa de Máquinas, se sabe que las paletas de cada uno de los rodados son reemplazadas cada dos o tres años, antes de que el rendimiento de las turbinas baje considerablemente.

Como se calculó y explicó en el capítulo II es conveniente la instalación de dos nuevos grupos, para obtener con el mismo volumen de agua una mayor potencia en esta Central, gracias a las mejoras anotadas y a los rendimientos superiores que hoy en día es posible obtener de turbinas y generadoras.

En la práctica solamente sería necesario obtener los principales datos y envíarlos a los fabricantes, para que éstos se encarguen del diseño de las turbinas. Pero para efectos de esta tesis procedo a calcular y diseñar las principales partes de las turbinas a instalar.

Por ser las dos turbinas de iguales potencia y características, únicamente calculo una de éllas, doliendo construirse la obra de manera similar.

#### GENERALIDADES.

Del cálculo realizado en el capítulo III, obtuvimos que el tipo conveniente de turbinas para ser instaladas en esta Central son Francis normales.

Para el diseño de las mismas debemos tener en cuenta las siguientes consideraciones:

a.- El movimiento del agua dentro de las tur-

Mismo será mixto, es decir entrará radialmente y saldrá axialmente, al mismo tiempo que también será centrípeto, o sea un movimiento de afuera hacia adentro.

b.-Serán turbinas de admisión exterior total, ya que el agua entrará por todo el contorno del rodete.

c.-La posición del eje será horizontal y

d.-Serán de cámara cerrada espiral, con un solo rodete.

Por tratarse de turbinas Francis normales, el diámetro de entrada ( $D_1$ ) al rodete deberá ser más o menos igual al diámetro de entrada al tubo de aspiración ( $D_3$ ).

Para el cálculo de las turbinas disponemos de los siguientes datos:

$$H_t = \text{Altura total} = 50,7 \text{ mts.}$$

$$H_n = \text{Altura neta} = 56,1 \text{ mts.}$$

$$H_c = \text{Altura de carga} = 53,9 \text{ mts.}$$

$$H_s = \text{Altura de succión} = 3,025 \text{ mts.}$$

$$Q = \text{Caudal para cada turbina} = 0,89 \text{ mts}^3/\text{seg.}$$

$$\rho_1 = \text{Rendimiento hidráulico} = 0,87$$

$$n = 900 \text{ r.p.m.}$$

$$n_s = 113 \text{ r.p.m.}$$

$$H = 400 \text{ KW.}$$

Las notaciones que se utilizarán en este capítulo representan:  $U$  = Velocidad portaférica,  $\omega$  = velocidad relativa, y  $v$  = velocidad absoluta;  $\alpha$  = ángulo entre  $C$  y  $U$ ,  $\beta$  = ángulo entre  $\omega$

y la contraria a U. Los subíndices se refieren: 0 a la zona directriz, 1 a la entrada en el rodete, 2 a la salida del rodete, 3 a la entrada al tubo de aspiración y 4 a la salida del tubo de aspiración.

**CALCULO DEL TUBO DE ASPIRACION.**

La velocidad que el agua tiene al entrar en el tubo de aspiración se calcula como función de un porcentaje del desnivel H<sub>0</sub>. Para una turbina Francis normal con un n<sub>s</sub> = 113, este porcentaje representa aproximadamente el 5% de H<sub>0</sub>.

Por consiguiente el valor de esta velocidad, será:

$$G_3 = \sqrt{2 \cdot g \cdot H_0 \cdot 0,05}$$

$$G_3 = \sqrt{2 \approx 9,81 \times 53,9 \approx 0,05}$$

$$G_3 = 7,26 \text{ mts./seg.}$$

Velocidad que actúa en la dirección del eje de la turbina . La sección correspondiente a la entrada del tubo de aspiración será :

$$A_3 = \frac{Q}{G_3} = 0,1225 \text{ mts}^2,$$

De donde el respectivo diámetro es:

$$D_3 = \sqrt{\frac{4 \cdot A_3}{\pi}}$$

$$D_3 = \sqrt{\frac{4 \approx 0,1225}{3,14}}$$

$$D_3 = 0,4 \text{ mts.}$$

Pero como el eje de la turbina se prolonga dentro del tubo de aspiración, sume este diámetro a 0,42 mts.

Al final del capítulo IX se obtuvo como altura de motores hidráulicos = pág. 89 = 1. Quince.

ción el valor de 3,025 mts. Esta altura es la distancia vertical comprendida entre la parte más elevada de la salida del rociador y el nivel del agua en el canal de descharge (Fig. N°. 30). Este nivel estará aproximadamente a 0,35 mts. por encima del fin del tubo de aspiración, de manera que proporcione a éste un tapón hidráulico.

Debido a que al abandonar el agua el tubo de aspiración aún lleva una velocidad, la misma que representa una pérdida (Pág. N°. 112), se procura que ésta sea mínima, lo que se logra dando una forma cónica al tubo, aumentándose de este modo la sección de salida.

Para que en el tubo la columna líquida no se despegue de las paredes (lo que daría lugar a la formación de remolinos) y para que la pérdida de carga sea mínima, el ensanchamiento gradual del cono debe corresponder a un ángulo de  $6^{\circ}$  \* (ángulo entre el eje del cono y sus generatrices).

El tubo de aspiración al salir de la turbina forma un codo de  $90^{\circ}$ , con lo cual alcanza una longitud desarrollada media de 3,71 mts. Al diámetro de salida ( $D_4$ ) será:

$$D_4 = D_3 + 2 \times 3,71 \times \operatorname{tg} 6^{\circ}$$

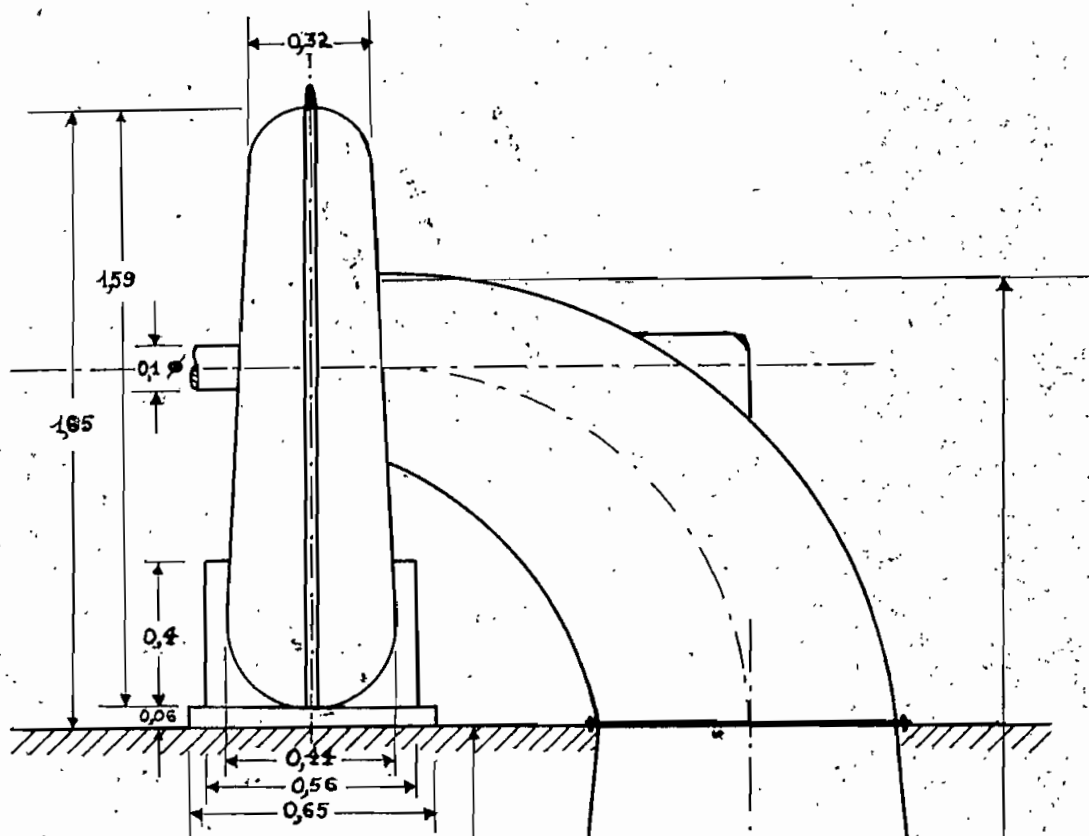
$$D_4 = 0,42 + 2 \times 3,71 \times 0,105 = 1,2 \text{ mts.}$$

Valor con el cual es posible obtener la velocidad de salida:

$$C_4 = \frac{h_{c4}}{\pi \cdot D_4^2}$$

$$C_4 = \frac{0,35}{3,14 \times 1,2^2} \approx 0,037$$

$$C_4 = 0,8 \text{ mts/seg.}$$



VISTA DE LA TUR-  
BINA Y DEL TUBO  
DE ASPIRACION

Escala 1:20

Fig. No. 30

DIÁMETRO DEL ROBOTE.-  
en el caso de turbinas Francis con rodos  
normales, este diámetro ( $D_1$ ) es:

$$D_1 = 1,15 \times D_3^{**}$$

$$D_1 = 460 \text{ mm.}$$

VELOCIDAD TANGENCIAL.-  
en el caso de turbinas Francis con rodos  
normales, esta velocidad ( $U_1$ ) del robo

viene dada por:

$$U_1 = \frac{\pi D_1 R_1}{60}$$

$$U_1 = \frac{300 \times 3,14 \times 0,46}{60}$$

$$U_1 = 21,65 \text{ mts/seg.}$$

ÁNGULOS DE ENTRADA AL ROBOTE.-  
en el caso de turbinas Francis con rodos  
normales, para este cálculo previamente

obtenga el número de palas que tendrá la corona directriz,  
de acuerdo con la fórmula:

$$n = 12 + 0,05 \cdot D_1^{**}$$

$$n = 12 + 0,05 \times 46$$

$$n = 14$$

Como espesor de palas ( $e_0$ ) adopte 10 mm. y el ancho entre filas ( $a_0$ ) 50 mm.

Al tomar como diámetro interior de la corona directriz ( $D_0$ ) el valor de 490 mm., el paso entre las filas será:

$$t_0 = \frac{490 \times \pi}{14} = 110 \text{ mm.}$$

\*Diccionario dos Maquinisterias - pág. 296 - Escher-Zubco.

\*\*D. M. - pág. 197.

De la fig. N°. 31, que representa esquemáticamente el final de la cámara de paletas directrices se obtiene:

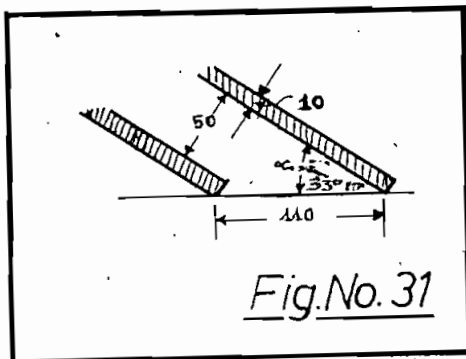


Fig. N°. 31

$$\operatorname{sen} \alpha = \frac{\theta_0 + \theta_1}{t}$$

$$\operatorname{sen} \alpha = \frac{50 + 10}{110}$$

$$\operatorname{sen} \alpha = 0,546$$

$$\alpha = 33^{\circ} 10'$$

Siendo el ángulo de entrada del agua al rodete  $\alpha_1 = \alpha$ .

De la ecuación general para el cálculo de una turbina, suponiendo que el ángulo de salida del rodete  $\alpha_2$  es aproximadamente  $90^{\circ}$ , deduzco el valor de la velocidad del agua al entrar en el rodete.

La ecuación general para el cálculo de las turbinas es:

$$C_{1e} U_1 \cdot \cos \alpha_1 = \rho_t g_e H_t$$

En la cual:

$C_{1e}$  = Velocidad de entrada al rodete

$U_1$  = Velocidad tangencial del rodete (periférica)

$\alpha_1$  = Ángulo que forma el líquido al entrar en el rodete, con la superficie del mismo.

$\rho_t$  = Rendimiento de la turbina

$g$  = Aceleración terrestre

$H_t$  = Altura total

Despejando y reemplazando valores en la ecuación anterior obtengo el valor de la velocidad.

$$C_{1e} = \frac{\rho_t g_e H_t}{U_1 \cdot \cos \alpha_1}$$

$$C_1 = \frac{0,07 \times 9,01 \times 50,7}{21,65 \times \cos 33^{\circ}10'}$$

$$C_1 = 27,6 \text{ mts/seg.}$$

Con este valor nos es posible dibujar el triángulo de entrada al rodete (Fig. No. 32).

A partir de esta figura calculo el ángulo  $\beta_1$  de entrada al rodete.

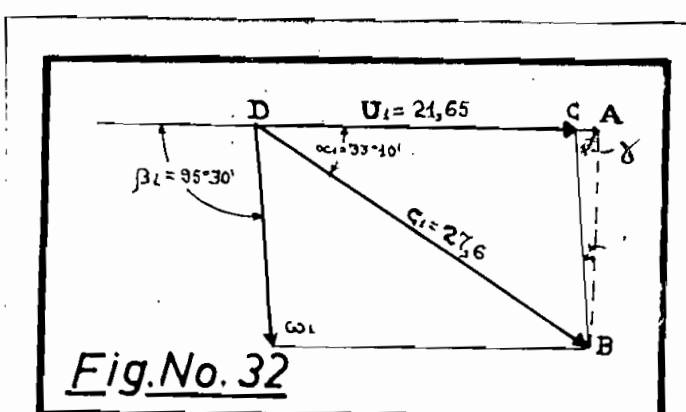


Fig. No. 32

$$AB = \sin 33^{\circ}10' \times C_1$$

$$AB = 0,546 \times 27,6$$

$$\underline{AB = 15,07}$$

$$DA = \cos 33^{\circ}10' \times C_1$$

$$DA = 0,836 \times 27,6$$

$$\underline{DA = 23,07}$$

$$\underline{CA = DA = DC}$$

$$CA = 23,07 - 21,65$$

$$CA = 1,42$$

$$\operatorname{tg} \gamma = \frac{14,5}{1,42} = 10,3$$

$$\gamma = 84^{\circ}30'$$

$$\beta_1 = 180^{\circ} - \gamma$$

$$\beta_1 = 180^{\circ} - 84^{\circ}30'$$

$$\beta_1 = 95^{\circ}30'$$

Ángulo con el cual la entrada del agua al rodete se regulará sin choque, con lo cual se obtiene un rendimiento mejor.

#### ANCHO DE LA CORONA DIRECTRIZ.-

..... se .. se .. se .. se .. se ..

La fórmula que nos permite calcular este ancho es:

$$Q = S \cdot n \cdot b \cdot C_s *$$

En la cual:

$Q$  = Caudal que debe pasar por la corona

$S$ .= Número de paletas directrices

$n$ .= Ancho entre paletas

$C_s$ .= Velocidad del agua en la corona =  $C_1$ .

$b$ .= Ancho de la corona

Despejando  $b$ , de la última fórmula y reemplazando los valores ya conocidos obtenemos:

$$b = \frac{Q}{S \times n \times C_s}$$

$$b = \frac{0,60}{24 \times 0,65 \approx 27,6}$$

$$b = 0,0462 \text{ mts.} \approx 5 \text{ cent.}$$

En la práctica se tozará  $b = 6$  cent. (Fig. No. 33)

DIÁMETRO DEL EJE.-  
conoces sus  $n$

Esto viene dado, aproximadamente por la fórmula:

$$d = 12 \sqrt[3]{\frac{N^1}{n}}$$

Siempre que se utilice un acero, cuyo coeficiente de trabajo a la flexión no sobrepase el valor de 300 Kips/cm<sup>2</sup> \*\*

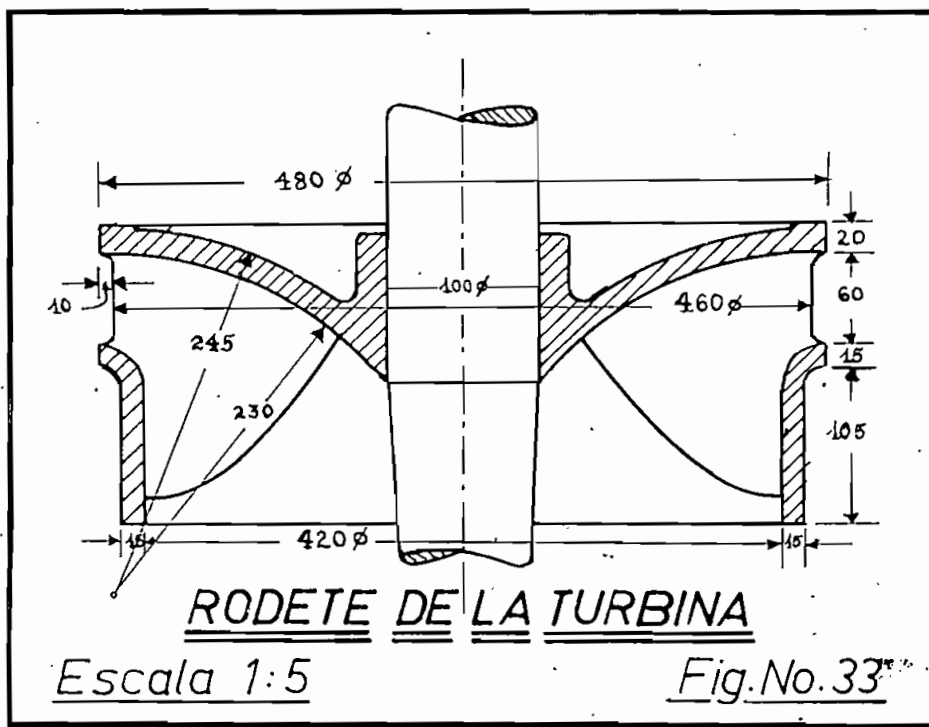
En esta fórmula  $N^1$  representa la potencia a obtenerse del grupo turbina-generador, en HP. y  $n$  el número de revoluciones por minuto.

$$N^1 = KW \times 1,36$$

$$N^1 = 420 \times 1,36 = 5712 \text{ HP.}$$

\* motores Hidráulicos = pág. 99 - L. Quirós.

\*\* Die Theorie der Wasserkraften = pág. 198 - Baehr-Dobs.



Reemplazando los respectivos valores:

$$d = 12 \sqrt{\frac{472}{900}}$$

$$d = 9,7 \approx 10 \text{ cmts.}$$

#### PALETAS DIRECTRICES, -- .....

Estas sirven para regular la entrada del agua al rodete.

La regulación es necesario realizarla debido a la variación más o menos continua que ofrece la carga, la misma que trata de cambiar el número de r.p.m. de la turbina, con lo cual también cambia la frecuencia del generador, que debe permanecer fija.

Las paletas reguladoras las diseña de acuerdo al sistema

FIGS. El cual consiste en paletas de acero fundido o de níquel (FIG. No. 3b), que giran alrededor de un eje y que impulsadas a la periferia que ocupan permiten una mayor o menor entrada de agua. Con este sistema se puede variar simultáneamente todos los lados de alimentación, dentro sobre todo el número y velocidad.

Las paletas de la FIG. No. 3b, que corresponden a nuestro proyecto, se han dibujado según el método empleado en la FIG. 116 de la obra "Hidráulica" de L. Giese.

Por tratarse de una turbina de aspiración las regulaciones de estas paletas se realizarán desde el exterior, por medio de un anillo al que van unidas palancas (FIG. No. 3b) que en su extremo se unen a cada uno de los ejes de las paletas.

Estas ruedas atravesan las paredes armadas en cojinetes previstos de engranajes. A su vez el anillo de regulación está comandado por dos manivela que parten del eje de cada lado.

#### CÁSCADA.-

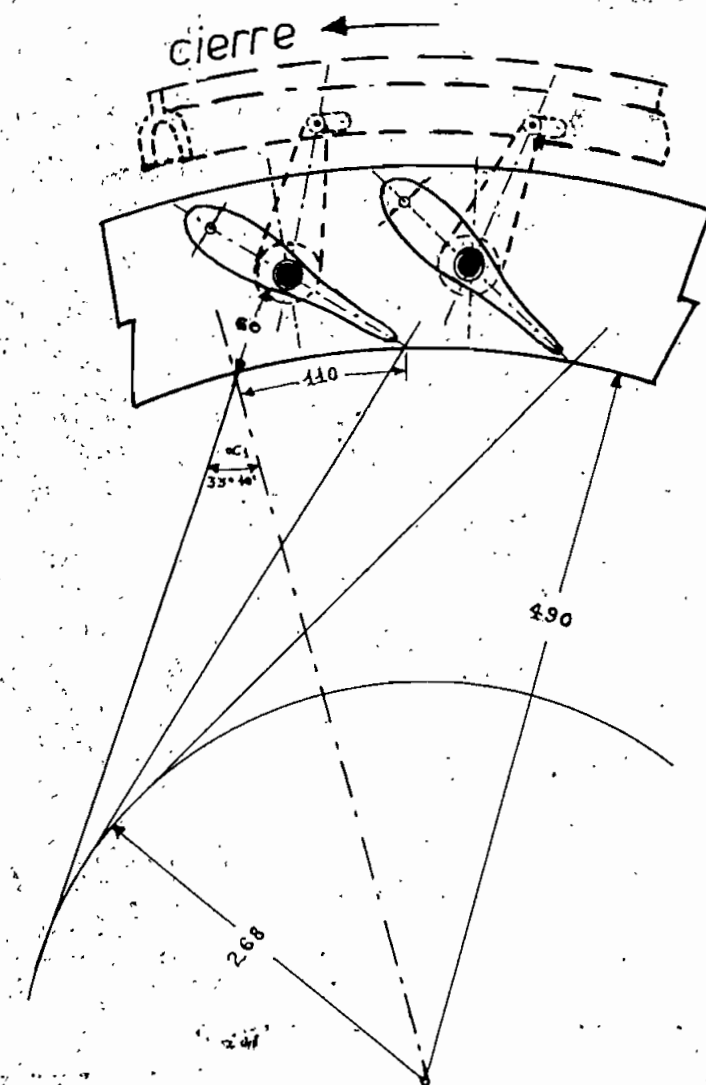
Como ya he dicho, ésta tendrá la forma cónica y disminuirá progresivamente su sección (FIG. No. 3c) para que en su interior al agua venga una velocidad constante.

La velocidad de entrada a la cascada aspirará la paleta a obtener a base de la fórmula:

$$Q = \pi R^2 V$$

Además en la cual el factor 2 vale aproximadamente 0,2 \*

$$R = \frac{D}{2\sqrt{2gH}} = \frac{D}{2\sqrt{2gH}}$$



## PALETAS DIRECTRICES

Escala 1:5 (mm.)

Fig.Nr. 34

$$S = \frac{0,69}{0,8 \sqrt{2} \times 9,81 \times 53,6}$$
$$S = 0,137 \text{ mts}^2.$$

El diámetro correspondiente a esta sección de entrada será:

$$D = \sqrt{\frac{4 \cdot S}{\pi}}$$

$$D = 0,415 \text{ mts.}$$

La sección de la carcasa disminuirá de acuerdo con la disminución del caudal dentro de ella, es decir a los  $90^\circ$  se tendrá una sección de  $\frac{1}{4}$  de  $0,137 \text{ mts}^2.$ , a  $180^\circ$  la mitad, etc.

El eje de esta carcasa, que es la continuación directa de la tubería de presión, se encontrará en correspondencia con la parte más inferior de la turbina (Fig. N°. 30).

#### REGULADOR:

Este servirá para mantener constante la velocidad del rodete y por consiguiente de las demás piezas acopladas sobre el mismo eje.

Esta constancia en la velocidad es necesaria, porque está en relación directa a la frecuencia y si ésta cambia, cambiaría la velocidad de todos los motores conectados al sistema.

El regulador será de modo automático y manual, y estará constituido por las siguientes partes principales:

- a.- Un péndulo centrífugo, que delata las variaciones de la velocidad.
- b.- Un servo-motor hidráulico, con funcionamiento a base de aceite a presión, cuyo émbolo actuará sobre el distribuidor de la turbina por medio de un vástago,

abriéndolo o cerrándolo.

c.- Un sistema de mecanismos de amplificación del movimiento del péndulo centrífugo.

~~REGULACION~~.- Al variar el número de revoluciones del eje de la turbina, saliéndose de su número normal, el péndulo centrífugo sube o baja dando lugar, a través de una serie de mecanismos, a que se abre una válvula que permite la entrada del aceite a presión al servo-motor, dentro del cual se moverá el émbolo arrastrando consigo el vástago, que comenzará a girar e abrir el distribuidor.

Con la disminución o aumento de la entrada de agua se producirá una variación en el número de revoluciones, el cual se transmitirá al péndulo centrífugo. Esto dejará de ejercer sus efectos al momento en que la turbina se encuentra funcionando a velocidad normal.

Será conveniente que este regulador sea lo más sensible posible a las variaciones de velocidad y que su acción, para obtener una velocidad normal, sea lo más rápida.

VOLANTE.-

~~MOVIMIENTO~~

Entre la turbina y el alternador generalmente se coloca un volante, el cual sirve para dar tiempo suficiente al regulador automático para actuar.

Al querer aumentar la turbina su velocidad, por una disminución o retiro completo de la carga, el volante denegará este aumento. También influye en esta decora el factor de inercia de los pesos rotativos ( $P.D^2$  = peso por diámetro al cuadrado) de los órganos montados sobre el eje de la turbina incluyendo el rodete.

Por desconocer en absoluto el peso que tendrá las masas rotatorias y otras características de la turbina, como son el tiempo en que desde el reposo alcanza la velocidad de régimen, el tiempo que tarda en actuar el regulador, etc.; no procedo a este cálculo, el cual en todos los casos es realizado por el constructor de la turbina; al mismo que a veces está en capacidad de aumentar masa en los émbolos sujetados sobre el eje de la turbina y disminuir las dimensiones del volante.

El volante y el rotor del generador deben de ser calculados para resistir la posible velocidad de embalamiento que puede llegar a adquirir la turbina si no fuese el regulador. En el caso de turbinas normales, como la de nuestro estudio, esta velocidad vale 1,8 veces la velocidad normal.



Potografía No. 12.- Vista del Canal de Desagüe de la Central de Guápulo.

### CANAL DE DESAGÜE

Debido a la instalación de las turbinas Francis, con sus correspondientes tubos de succión, será necesario profundizar el actual canal de desagüe (Fotografía No. 12), que se inicia aproximadamente a un nivel de 2 mts. por debajo del piso de la Caja de Máquinas, en el comienzo de éste, tal como se aprecia en la figura No. 35.

Como viene anteriormente el agua al salir del tubo de succión aún tendrá una velocidad de 0,8 mts/seg. Dada la amortiguación instalando un pequeño colchón de aguas debajo de la salida.

Para proporcionar a la salida del tubo, un tanque de aguas, será conveniente el construir la parte inicial del canal en la

### INICIACION DEL CANAL DE DESAGÜE

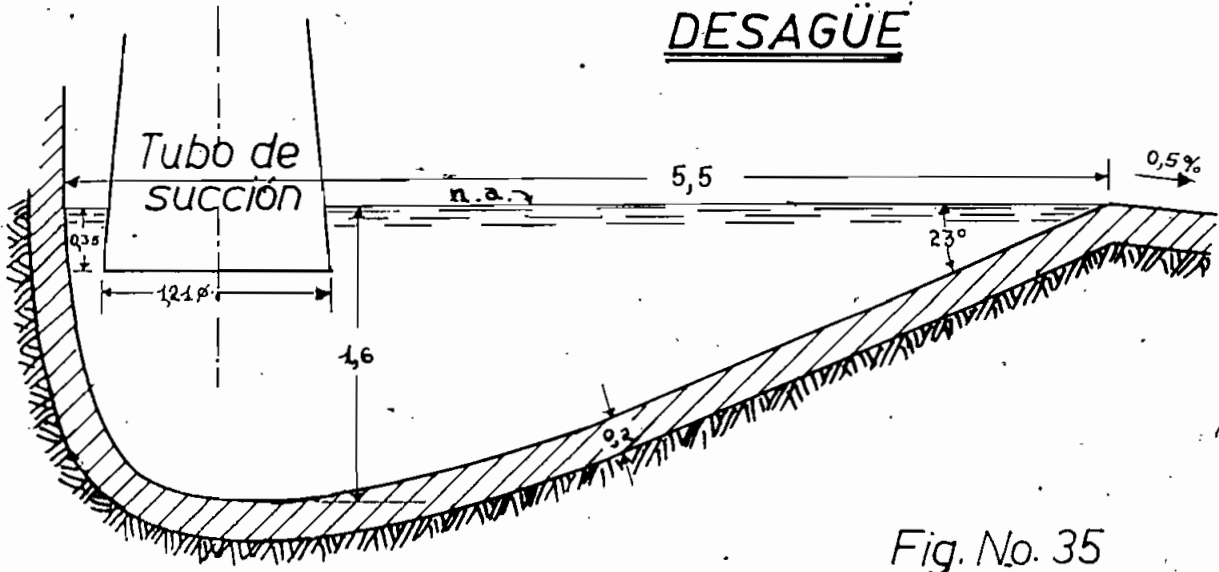


Fig. No. 35

loma que se indica en la figura No. 35.

A partir de la boca de nacimiento de said. Mame ha anchas de 1,67 mts. y una longitud de 20 mts. hasta desembocar en el río. Su velocidad media será de 0,60 mts./seg. con pendiente del 5% y una velocidad del agua de 2 mts./seg.

## C A P I T U L O      ~~XXX~~

### G E N E R A D O R E S   Y   E X C I T A T R I E S

#### G E N E R A D O R ~~E S T A D I F I C A C I O N~~

La energía mecánica obtenida en las turbinas es transferida en energía eléctrica a través de un generador, que en nuestro caso se llama alternador. El diseño, diseño y dimensionamiento de éste, será realizado por el fabricante a base de los datos que se le entregarán, los mismos que se encuentran mencionados al final de este capítulo.

Como ya se mencionó, se instalarán en esta Central 2 generadores trifásicos que nos entreguen una potencia real de 420 KVA cada uno. Al suponer un factor de potencia de 0,85, deberán producir una potencia aparente de:

$$P_A = \frac{P_R}{0,85} = 494 \text{ KVA.}$$

Los generadores irán montados sobre un eje acoplado directamente al eje de las turbinas (acoplamiento elástico), sobre el mismo eje también se montará la excitatrix del generador.

Los inductores serán giratorios ( rotor ), lo que permitirá tener el alto voltaje de generación de contactos fijos. Así, al mismo tiempo que se simplifica la construcción, se disminuirá la dificultad que representa el aislamiento de un in-

dúctido giratorio. En este caso la corriente continua de bajo voltaje, para las bobinas del induktor, será tomada por anillos colectores situados en el extremo que mira hacia la excitatrix.

La tensión de generación en esta Central es actualmente de 6,600 voltios. Elije para el futuro el mismo valor, ya que es caída este voltaje para alternadores con una potencia como el nuestro. Además, este valor permitirá la transmisión económica de energía, pues debido a la cercanía entre la Central y la ciudad de Quito no será necesario elevar más la tensión, con lo cual se ahorra el valor de los transformadores de subida al salir las líneas de la Central y los de bajada al arribar a la ciudad.

El voltaje escogido de 6,600 V. permite también compensar totalmente o en parte la caída de tensión que existirá entre el alternador y la subestación de llegada, ya que es un 2% mayor que el voltaje de distribución de alta en la ciudad, que es 6,300 V.

Las fases del inducido del generador estarán conectadas en estrella y la tensión entre cada fase y neutro será:

$$E_F = \frac{E}{\sqrt{3}}$$

$$E_F = \frac{6,600}{1,732} = 3,810 \text{ V.}$$

El valor de corriente que circulará por cada fase será:

$$I = \frac{EVA}{\sqrt{3}R}$$

$$I = \frac{494}{1,732 \times 6,6} = 43,2 \text{ Amp.}$$

Será conveniente conectar el neutro a tierra, de este modo se consiguen algunas ventajas, como la necesidad de un menor aislamiento entre los conductores y la carcasa, los relés operan con más facilidad y las fallas producidas por corto circuitos se localizan en un sólo punto sin extenderse a los conductores de las fases vecinas.

MOTOR,  
~~ACERCA~~

Debido a que el accionamiento de los grupos se realiza por medio de turbinas hidráulicas, el inductor giratorio deberá construirse con polos salientes. Con esto los generadores resultan más cortos, pero más grandes en sus otras dimensiones, lo cual facilita la evacuación del calor de las pérdidas.

El número de polos del rotor viene dado por la fórmula:

$$p = \frac{f \cdot 60}{n}$$

En la cual:

$P$  = Número de pares de polos

$f$  = Frecuencia del sistema

$n$  = Velocidad de la máquina motriz en r.p.m.

Reemplazando los valores respectivos:

$$p = \frac{60 \times 60}{900} = 4$$

Se saca que el rotor estará provisto de 8 polos.

Como material para la fabricación del rotor será conveniente utilizar láminas de hierro, aisladas entre sí y fuertemente prensadas. Los gruesos polares de estos ruedas,

formadas por un sistema y su respectiva bobina encuadrada; deberán resistir la fuerza centrífuga de la placa y de la biga que arrastran sobre ella. Pues el diámetro de esta figura debe ser menor en cuanta la velocidad de embalamiento mirese medida en el eje delantero y que el diámetro vale 1,8 veces la velocidad normal. Las bobinas de los polos exteriores deberán ser tan grandes y gruesas al rotar que pasen a ser el factor más favorable positivas y negativas.

La entrada y salida de la corriente continua, que sirve para la excitación del generador, se efectuarán por medio de anillos rotantes de bronce, sobre o nacarados que tiene todos sobre el eje del generador para ademas obtener una tasa de 62. Las asambleas estarán formadas por carbón blando u otro material, de acuerdo al clima que utilice en la fabricación de los motores.

#### ROTACIONES

Motores que están formados por láminas de hierro, siéntase entre sí y fijamente prendidas, que se han de unir por radio de pernos u otras medidas. Las láminas podrán sujetar fijadas a la carcasa por colas de milano.

La carcasa que sirve de exteriormente al motor no debe prenderse con polo permanente, pero con la suficiente resistencia metálica. Además su forma debe permitir una ventilación efectiva, para lo cual se convenientemente dejar aberturas en las partes laterales de la misma, dentro de las cuales se colocarán una serie de aspas que sirven de refrigeración.

Las láminas estarán provistas de ranuras, en las que se

situarán los lados de las bobinas. Si razones especiales no aconsejaren lo contrario al fabricante, el número de ranuras por cada fase y por consiguiente por cada polo deberá ser <sup>un</sup> número entero.

Las ranuras irán recubiertas interiormente de material aislante, que en nuestro caso, con una volataje de 6.600 V., sería una capa de mica blanca de 3,5 mm. de espesor \*. También entre los conductores existirá una capa aislante. Los arrollamientos se impregnarán de barniz u otro aislante clase A.

El eje del generador estará apoyado sobre dos cojinetes, que de ser posible deber tener iguales características que los cojinetes sobre los que se apoya el eje de los turbinas, de tal modo que el desgaste que se produzca sea igual en todas ellas.

#### EXCITATRIZ.\*\*

\*\*~~RECOMENDACIONES~~

Tal como generalmente se acostumbra en instalaciones de este clase, será conveniente utilizar una excitatrix "Compound" (Fig. N°. 36), acoplada directamente al alternador (Montada sobre el mismo eje de éste).

La corriente necesaria para excitar el inductor del alternador debe ser continua para mantener constantes las polaridades de cada pieza polar y se la obtendrá de un generador cuya potencia es aproximadamente del 0,75 al 2,5 % de la potencia del alternador. \*\*

---

\*Escuela del Técnico Electricista - Tomo V - pág. 250 - Ing. Rímpelov.

\*\*Electricidad Práctica Aplicada - Tomo II - pág. 490 - Cayme.

El voltaje de bornes de este generador debe ser 5% más alto que la tensión normal de servicio, siendo las tensiones más usuales 115 V., 230 V. y 460 V. \* Para nuestro caso y de acuerdo a la tabla 15 de la obra Recopila del Técnico Eléctrico - Tomo V, escogió una potencia de 5 KW, y una tensión normal de 110 V.

No es necesario emplear un voltaje elevado para la excitación del inductor, ya que la corriente que circula por él únicamente sirve para producir el flujo magnético cuya intensidad depende del número de amperio-vueltas existente en cada polo.

Debido a que nuestra excitatrix trabajará con un regulador automático de voltaje deberá estar en capacidad de suministrar un 40% más de tensión que la normal, ya que el circuito magnético no debe estar muy saturado, a fin de que el aumento de excitación necesario para un aumento dado de tensión de la máquina excitada, no sea demasiado grande.

#### ~~CONEXION DE LA EXCITATRIX AL ALTERNADOR.~~

En la Fig. No. 36 se encuentra representado el circuito de la excitatrix y sus conexiones al alternador, a través de aparatos de control y medida. En este caso se puede variar el voltaje de la excitatrix por medio de un rheostato de campo ( $R$ ) o a través del regulador automático de voltaje.

\*TABLA PARA DETERMINAR TENSIÓN CO. DEPENDENCIA DE TENSIÓN EN VOLTAJE - pág. 65.

Manual Standard del Ingeniero Electricista - Tomo I - pág. 1.011 - A. I. Instituto.

La regulación del voltaje es necesaria, pues al aumentar la carga en el sistema, circulará por éste una mayor corriente, que al mismo tiempo producirá una caída de tensión mayor y para que el voltaje en la carga permanezca constante hay que aumentar la tensión del alternador.

El voltímetro y amperímetro, que en la realidad, estarán situados en el respectivo tablero de control, se encuentran

intercalados en este circuito entre el generador de corriente continua y el interruptor de descarga del campo del alternador (S).

Este interruptor de descarga permite conectar en el momento de abrir las cuchillas principales y durante el tiempo en que éstas permanecen abiertas, una resistencia llamada de descarga, que absorbe

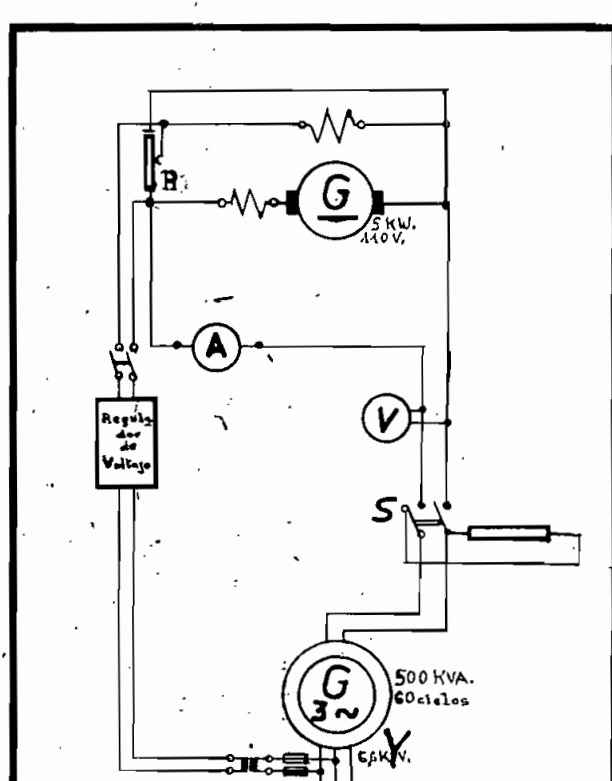


Fig. No. 36

CONEXION ENTRE LA EXCITATRIZ Y EL ALTERNADOR

los voltajes autoinducidos y la energía magnética del inductor, al mismo tiempo que permite que la corriente desaparezca gradualmente. Si esto no sucediera, debido a los altos voltajes autoinducidos se podría producir la perforación del aislamiento.

NOTA.- Todos los símbolos, esquemas de conexión y circuitos  
\*\*\*\* de líneas que se representan en las figuras siguientes,  
están realizados de acuerdo a las Normas de la Industria Alemana (DIN) y de la Federación de Electrotécnicos  
del mismo país (VDE). Pudiendo encontrarse sus equivalentes en las hojas DIN 40.710 a 40.719.

DATOS A ENVIARSE AL FABRICANTE DEL GENERADOR Y LA EXCITATRIZ.-  
\*\*\*\*\* \* \*\*\*\*\* \*

Dos generadores con las siguientes características:

- 1.- Potencia real: 420 KW.
- 2.- Potencia aparente: 500 KVA.
- 3.- Voltaje: 6.600 V.
- 4.- Frecuencia: 60 ciclos
- 5.- Fases: 3
- 6.- Conexión: Estrella, con neutro conectado a tierra.
- 7.- Velocidad: 900 r.p.m.
- 8.- Velocidad de embalamiento: 1,8 veces la velocidad normal.
- 9.- Máquina motriz: Turbina hidráulica, tipo Francis Normal.
- 10.- Posición del eje de la máquina motriz: Horizontal
- 11.- Acoplamiento al eje de la turbina: Elástico.
- 12.- Clase de cojinetes: Para que éstos sean de iguales características de los de la turbina, este

dato deberá ser proporcionado por el fabricante de la turbina.

13.- Momento de inercia: También este dato sera proporcionado por el fabricante de la turbina.

Dos excitadores para acoplamiento sobre el mismo eje de los generadores mencionados, provistas de regulador automático de tensión, y con las siguientes características:

- 1.- Tipo: Compound.
- 2.- Voltaje normal: 110 V.
- 3.- Potencia: 5 KW.
- 4.- Velocidad: 900 r.p.m.

Además deberá ser observados los siguientes datos generales para la construcción y envío del equipo:

- 1.- Temperatura máxima media anual: 22,6°C.
- 2.- Temperatura mínima media anual: 9,6°C.
- 3.- Temperatura máxima absoluta anual: 27,5°C.
- 4.- Temperatura mínima absoluta anual: 2,7°C.
- 5.- Humedad relativa: 78 %

#### Datos generales:

- 6.- Altura de instalación sobre el nivel del mar: 2.532 mts.
- 7.- Peso máximo de los bultos: 2 toneladas (De acuerdo con la grúa existente en la Central de Guápiles).
- 8.- Tamaño mínimo de los bultos: Se proporcionará al fabricante, un plano longitudinal de la tubería, en la parte en que ésta pasa por encima del corredor, indicando además la altura de

la plataforma disponible para el transporte  
de los bultos.

~~REDA~~ Los datos climatológicos fueron proporcionados por el Observatorio Meteorológico en Quito, y por la estación a Culpeo, son también aplicables allí.

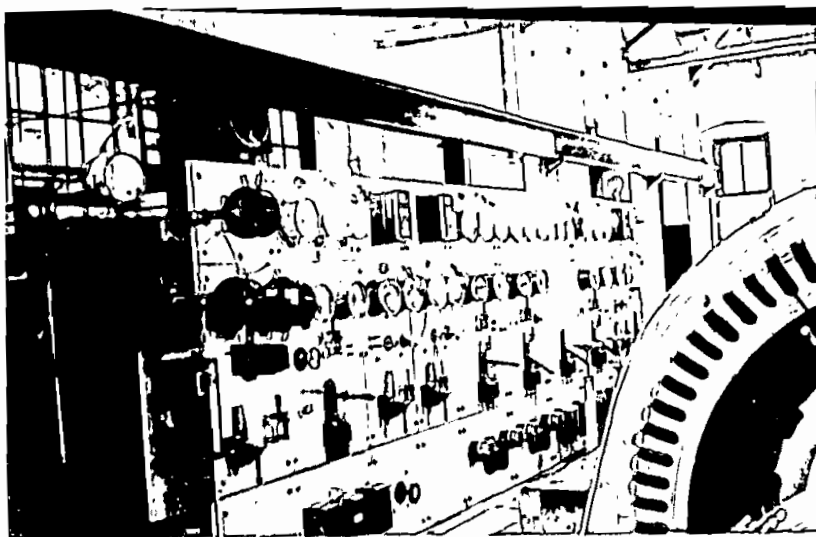
## C A P I T U L O XXX

### GENERALIDADES SOBRE LOS INSTRUMENTOS DE MEDIDA Y PROTECCION

#### APARATOS DE MEDIDA.-

Estos servirán para vigilar el funcionamiento eléctrico de toda la Central. Irán montados sobre paneles verticales, iluminados y situados de tal modo que permitan una visibilidad amplia de todos ellos, al mismo tiempo que una maniobra rápida de los aparatos de mando.

Los paneles irán situados más o menos en el centro del local, en el mismo sitio donde se encuentran los actuales (Fotografías No. 11 y 13).



Fotografía No. 13.- Vista de los tableros de Control y mando instalados en la Casa de Máquinas de la Central de Guápiles.

Será conveniente situar el panel de cada excitatrix con tigues al del correspondiente alternador. Los instrumentos de medida no deberán ser colocados demasiado juntos sobre los cuadros, si no más bien algo separados, de tal modo que haya espacio suficiente para poder trabajar en cualquiera de ellos sin que entorpezcan los contiguos, atendiendo se colocarán sistemáticamente, de tal modo que permitan una observación ordenada y rápida.

Los instrumentos a utilizarse serán del tipo apropiado para su funcionamiento, de tal modo que en la parte frontal del tablero únicamente se ven las escalas y en la parte posterior están las cajas con el equipo de medida y las conexiones.

En los tableros se instalarán los siguientes aparatos de medida, necesarios para cada uno de los grupos.

#### Generador

- 1.- 3 amperímetros (También se podría instalar un solo amperímetro, provisto de un interruptor)
- 2.- 1 voltímetro, provisto de un interruptor de cuatro posiciones.
- 3.- 1 Kilowatinetro indicador
- 4.- 1 " registrador
- 5.- 1 medidor de factor de potencia, o en su defecto un medidor de KVA.
- 6.- 1 contador de KWh.

#### Excitatrix

- 7.- 1 amperímetro
- 8.- 1 voltímetro

Como todas las medidas, correspondientes al generador,

se realizarán en alta tensión, será necesario conectar los aparatos respectivos através de transformadores de intensidad y tensión.

La Fig. No. 37 muestra el esquema de las conexiones de los aparatos de medida a la salida del inducido de uno de los generadores; mientras que en el plano No. 6, se indica la conexión de todos los aparatos de medida y control de la Central.

**INSTRUMENTOS PARA LA CONEXIÓN EN PARALELO.-**

~~los instrumentos necesarios para paralelo~~

Para que los dos generadores, a instalarse en esta Central, puedan funcionar en paralelo entre si, o para que la Central trabaje en paralelo con el resto del sistema, necesitan cumplirse las siguientes condiciones:

- a.- Los voltajes deben de ser iguales,
- b.- Las frecuencias deben de ser idénticas y
- c.- Debe existir sencuencia de fases e sincronización.

Al cumplirse las tres condiciones simultáneamente para las dos máquinas, o para una de ellas y la red, se puede proceder a cerrar el interruptor del inducido y conectar en paralelo el generador entrante y las barras colectoras.

El que se cumplen estas condiciones al mismo tiempo quiere decir que las curvas de tensión de las máquinas a conectar en paralelo, alcanzan en idénticos momentos sus valores máximos y mínimos.

Para obtener una frecuencia fija en las máquinas generadoras, será necesario variar la velocidad de las turbinas,

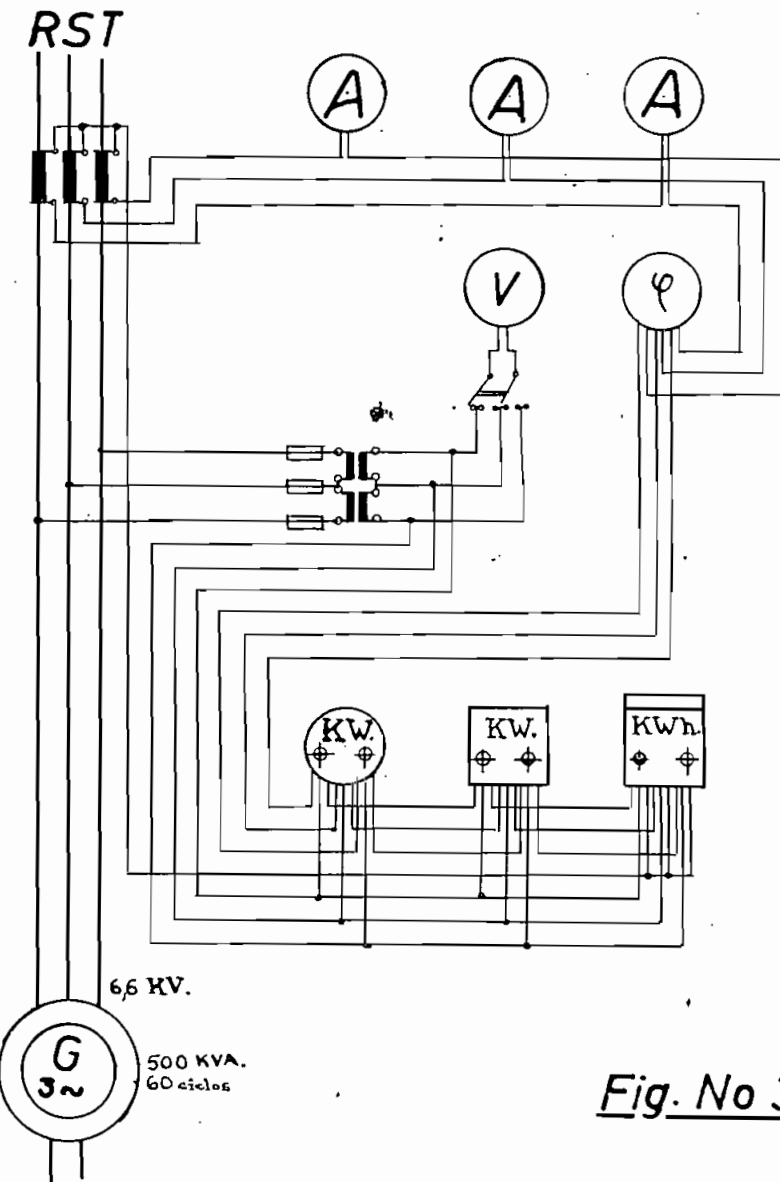
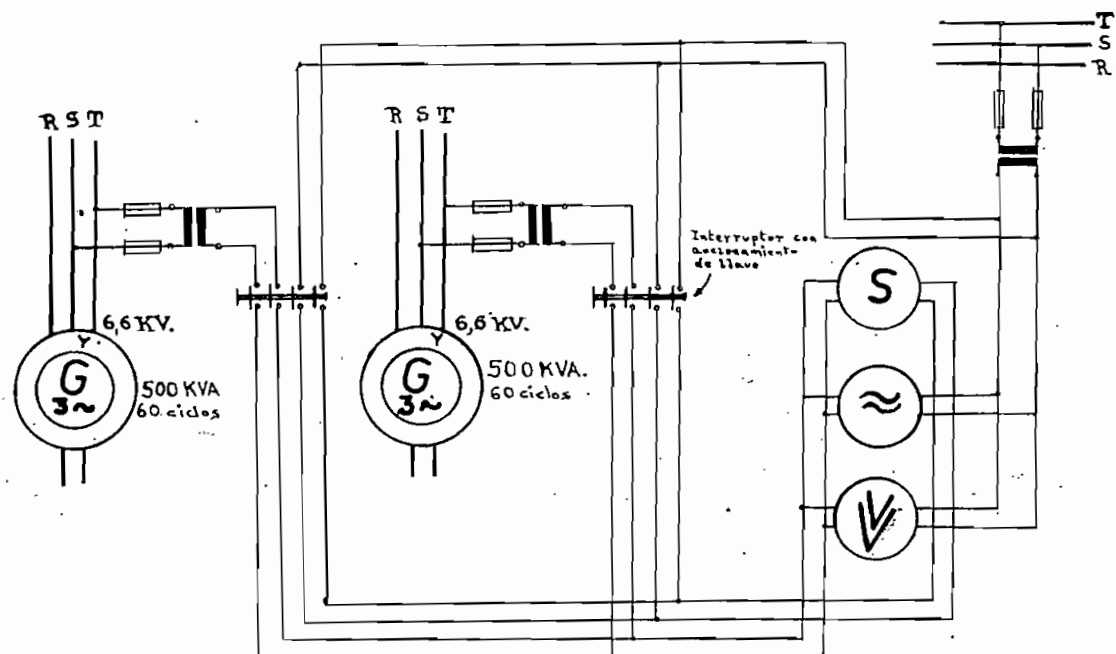


Fig. No 37

ESQUEMA DE CONEXION DE LOS  
APARATOS DE MEDIDA DE UN  
ALTERNADOR

esto se conseguirá accionando el regulador de las mismas por medio de un interruptor giratorio, montado sobre el tablero de mandos, al que a su vez se encuentra unido por un circuito eléctrico a un pequeño motor conectado al tornillo de ajuste del regulador.

Al suministrar los conductores de conexión de los generadores con tierra, debe tenerse en cuenta que solamente deben unir los conductores de la misma fase; puesto que el sentido eléctrico de giro, debe ser idéntico en todos los generadores que trabajen



CONEXIONES PARA ACOPLAMIENTO  
EN PARALELO DE LOS DOS GENERADORES.

Fig. No. 38

en paralelo .

Para poder controlar la puesta en paralelo de instalaciones como la nuestra, será necesario instalar:

- 1.- Un amperímetro,
- 2.- Un voltímetro doble, y
- 3.- Un frecuencímetro doble.

Estos tres instrumentos se montarán en un bastidor común giratorio.

Su conexión a los generadores y a la red se indica en la Fig. N°. 38 y en el plano N°. 6.

#### ~~DISPOSITIVOS DE PROTECCIÓN.~~

Por motivos técnicos y económicos, la E.E.Q. debe poder garantizar a sus clientes un suministro de energía más o menos ininterrumpido. Para lo cual a más de la perfecta y segura instalación del servicio de generación, transmisión y distribución, deberá tener un sistema de protección que permita detectar y eliminar rápidamente todas las fallas que puedan presentarse en el sistema.

Estos dispositivos de protección deben permitir una desconexión rápida y selectiva de los aparatos, de tal modo que la destrucción se limite únicamente a una pequeña zona y sea ésta la única que se separe del sistema, quedando el resto en funcionamiento. En nuestro caso, a ser posible, las fallas deberán limitarse a cada uno de los generadores.

En esta parte únicamente me referiré a las fallas que puedan presentarse en los generadores y a sus respectivos dispositivos de protección. Fallas que pueden tener como

origen sobrecargas contactos a tierra, corto circuitos, sobre-tensiones, etc.

Para poder prevenir y controlar todas estas fallas, será conveniente la instalación de algunos relés. Generalmente en instalaciones como la nuestra se dispone una protección contra sobreintensidades y una protección diferencial.

Los relés utilizados para este fin, son conectados a las fases del sistema por intermedio de transformadores de intensidad y corriente de acuerdo a la falla que se desee detectar y utilizan diferentes métodos de discriminación para localizar los daños. La corriente procedente de las fases, accionará un relevador de desenganche, a través de cuyos contactos circulará corriente, proveniente de una batería, hacia el interruptor automático. Se puede hacer también que la armadura del relevador no accione de inmediato el contacto de disparo, sino que ponga en funcionamiento un dispositivo de tiempo, que al finalizar su marcha, cierra el contacto por el que se envía la corriente continua hacia el disparador del disyuntor.

#### PROTECCIONES CONTRA CONTACTOS EN LOS ARROLLAMIENTOS.—

Puede suceder que entre los arrollamientos de dos fases del inducido se produzca una falla en el aislamiento, provocándose un cortocircuito.

Para detectar este tipo de falla se utiliza un relé diferencial, cuya conexión se encuentra ilustrada en la figura No. 39 y su posición con respecto al resto del sistema eléctrico, de la Casa de Máquinas, en el plano No. 6.

En este tipo de protección, los transformadores de intensidad de una misma fase, son conectados en serie al comienzo y final del arrollamiento de cada una de las fases.

Al existir un corto circuito, en el interior del generador, se produce una diferencia de corriente entre los transformadores de una misma fase, circulando esta diferencia por el relevador diferencial, el cual reacciona operando el desenganche del interruptor.

Durante el servicio normal del generador, las corrientes que fluyen por los transformadores mencionados serán iguales y por lo tanto en los tres hilos que van al relevador diferencial, la tensión será cero y no circulará corriente por el relevador.

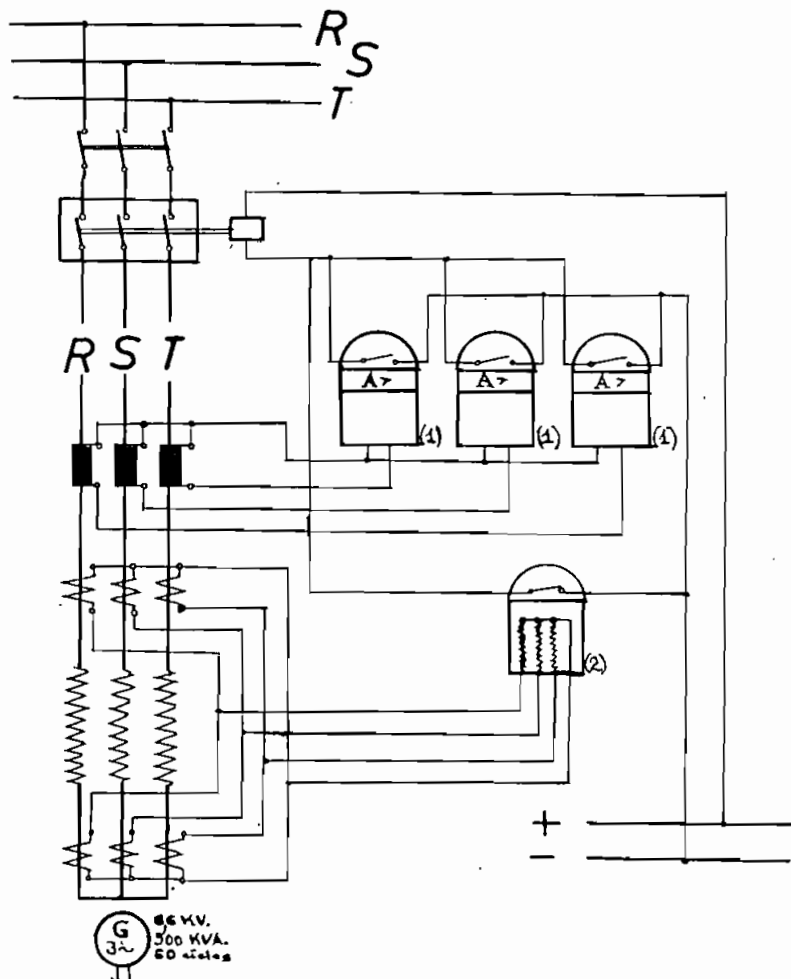
El relé diferencial no debe estar ajustado de manera muy sensible, de tal modo que no dé lugar a falsos desenganche. En general este tipo de relés se ajustan para que desconecten cuando se hagan presentes corrientes de un 30% de la nominal.\*

#### PROTECCION CONTRA SOBREINTENSIDAD.-

\*\*\*\*\*

En los devanados del estator se produce un enorme calentamiento, debido a la sobreintensidad cuando existe un corto circuito en la red o se desconectan máquinas que marchan en paralelo. Como este calentamiento no es admisible, deberá instalarse un relé que reaccione cuando el valor de la corriente que circule sobrepase un valor y tiempo admisible.

La conexión de los relés (Uno por cada fase) se muestra



CONEXION DE LOS RELES  
DE SOBREINTENSIDAD (1)  
Y DEL RELE DIFERENCIAL (2)

Fig. No. 39

en la Fig. No. 39. Estos relés están formados por relevadores de tiempo y sobreintensidad, entrando a funcionar primero los de tiempo, que después de un intervalo ajustado hacen funcionar a los segundos, los mismos que permiten el paso de la corriente continua que dispara el interruptor automático.

**DISPOSITIVOS PARA INTERRUCCIÓN.-**  
~~DISPOSITIVOS PARA DISYUNTOR~~

Estos dispositivos sirven para cerrar o abrir los órganos de contacto del circuito eléctrico de unión entre cada uno de los generadores y las barras colectoras en condiciones normales o anormales.

En cada uno de nuestros circuitos utilizaremos dos dispositivos de interrupción. El primero formado por desconectadores de cuchilla que se manipularán únicamente cuando no circula la corriente por el circuito y el segundo formado por un disyuntor, el cual bajo condiciones anormales de funcionamiento y como consecuencia del modo de los relés, abrirá su interruptor impidiendo de este modo que siga circulando corriente.

Los desconectadores de cuchilla, o disconnectores se utilizarán principalmente para aislar los interruptores y el resto del equipo, cuando se lo someta a revisiones o mantenimiento, serán de construcción tripolar, montados individualmente sobre aisladores que a su vez estarán soportados por un bastidor. Las cuchillas girarán apoyadas en uno de sus extremos y estarán acopladas entre sí por un eje común, que se acciona en conjunto, ya sea por una perdiña o una biela de accionamiento.

El disyuntor o interruptor automático, funcionará mun-

gido en un tanque de aceite; líquido que con su gran poder dieléctrico y gracias a los gases que se forman al producirse el arco, resulta muy eficaz para extinguir éste y evitar su restablecimiento.

El tanque de aceite, en que se encuentra el dispositivo de desconexión, estará parcialmente lleno de aceite. Los conductores de conexión pasan a través de la tapa, mediante aisladores de yeso y entre sus extremos se establecerá un puente por medio de una pieza conductora, servida por una biela o barra de material aislante, que en caso de disparo se desconectará rápidamente.

Los dispositivos de desconexión de las tres fases se encontraran dentro del mismo tanque, separados entre sí por paredes aislantes.

Al existir una falla en el difusor, ésta será denunciada por los relés, los cuales harán funcionar la bobina de disparo del disyuntor. El mismo que por medio de un electroimán desenganchará el dispositivo de retención de los contactos, produciéndose la desconexión.

La desconexión y ruptura del arco deberá efectuarse a los pocos ciclos después de haberse establecido la condición anormal, de tal modo que la avería no se propague a una gran zona. Este tiempo generalmente es de 5 u 8 ciclos.

El interruptor deberá ser de tal naturaleza, que soporte sin ningún recalentamiento la carga normal y corte rápidamente la corriente de corto circuito sin que sus contactos se dañen.

En el plano No. 6 se encuentran dibujadas las posiciones

que dentro del circuito de la Casa de Máquinas separan los  
accesorios y disyuntores.

**PROTECCIÓN CONTRA SOBREPRESIONES.-**  
~~accesorios y disyuntores~~

Estas pueden ser produci-  
das por descargas atmosféricas, maniobras u otras perturba-  
ciones y se pueden manifestar en la instalación, produciendo  
la perforación de los aislamientos y consecuentemente corto  
circuitos entre conductores contiguos.

Para proteger la instalación de este peligro se utili-  
zará pararrayos, los cuales actúan como válvulas de seguri-  
dad que descargan las sobretensiones a tierra. Estarán for-  
mados por unos discos cuya valor de resistencia disminuye  
conforme aumenta la tensión. El pararrayos se conectará a  
la protección de tierra de toda la Casa de Máquinas, en un  
punto lo más cercano a ésta.

**CONEXIÓN A TIERRA.-**  
~~accesorios y disyuntores~~

Será conveniente que los aislamientos de to-  
dos los aparatos y equipos instalados en la Central estén con-  
nectados a un conductor puesto bajo tierra, de tal modo que  
se pueda dar seguridad al personal y también evitar daños ma-  
yores en el caso de fallas en el aislamiento. La longitud  
y sección de este conductor dependen de la resistencia eléc-  
trica del terreno en que esté situada la Casa de Máquinas.

A E X X 0

R E Q U E S T R O S

REGISTRO Nro. 1

Registros de Energía Mecanica generada en la central de CHAPALA  
entre los meses de enero y diciembre del año 1954.

Año	1954	1955	1956	1957	1958
Jan	315.840	360.590	315.840	331.090	332.600
Febrero	288.110	316.450	322.450	271.600	353.690
Marzo	331.220	352.430	361.570	351.260	358.290
Abri	329.750	326.790	345.770	343.370	324.720
Mayo	311.750	362.290	380.580	367.740	315.830
Junio	306.960	353.470	323.730	347.270	282.440
Julio	302.260	347.100	308.940	314.460	264.980
Agosto	279.900	336.310	291.460	289.660	248.270
Septiembre	257.410	327.540	279.520	273.160	239.230
Octubre	334.430	332.850	338.700	293.420	295.110
Noviembre	336.580	328.680	305.990	285.870	211.930
Diciembre	358.470	344.280	274.360	286.130	245.440

NOTA: Los valores mencionados son en KWh y han sido tomados  
de los registros de la E.E.C.

TABLA No. 1. (Continuación)

	1954	1955	1956	1957	1958	1959
Algodón	150,3	200,4	170,2	177,1	137,5	170,3
Arroz	129,2	119,1	125,8	132,5	126,2	122,2
Maíz	212,9	216,6	138,8	125,2	93,2	111,1
Papa	216,1	223,9	201,0	232,7	203,3	164,5
Maní	84,5	99,4	146,7	177,2	107,4	100,3
Chile	16,3	61,7	133,2	64,4	29,2	16,3
Ajedrea	30,4	27,6	22,0	25,7	53,2	30,5
Guatambú	29,5	56,1	60,6	105,3	22,7	29,5
Bermellón	155,3	96,0	280,4	22,7	42,9	155,3
Miel de abeja	86,5	88,2	98,3	97,8	128,6	86,5

NOTA.— Los valores mostrados son en pesos mexicanos en la estimación correspondiente del incrementamiento de cada.

## REGISTRO N.º 2

REGISTROS DE GENERACION EN LA CENTRAL HIDROELECTRICA DE GUAPULO

Día 15.1-26.2-6.3-14.4-21.5-13.6-14.7-12.8-12.9-3.10-20.11-10.12  
Hora

1	200	220	220	220	220	220	200	220	220	220	200	220
2	200	220	220	220	220	220	200	220	220	220	200	220
3	200	200	200	220	200	200	200	200	220	220	200	220
4	200	200	200	220	200	200	200	200	200	200	200	200
5	200	200	200	200	200	200	200	200	200	200	200	200
6	200	200	200	200	200	200	200	200	200	200	200	200
7	620	620	620	200	620	200	620	620	620	200	200	620
8	620	620	620	620	620	620	620	620	620	620	400	620
9	620	620	620	620	620	620	620	620	620	620	400	620
10	620	620	620	620	620	620	620	620	620	620	400	420
11	620	620	620	620	620	620	620	200	200	200	200	200
12	620	420	620	620	620	420	200	200	200	200	200	200
13	620	420	620	620	420	420	200	200	200	200	200	200
14	620	420	620	620	420	420	200	200	200	420	200	200
15	620	420	420	620	420	420	420	420	200	420	200	200
16	620	420	420	620	420	420	420	420	200	420	200	420
17	510	510	420	715	420	420	420	420	420	420	420	420
18	520	535	420	700	755	620	420	420	420	420	420	420
19	695	690	490	900	940	915	740	505	740	940	940	925
20	910	890	910	890	925	760	915	900	925	730	720	725
21	705	690	690	690	925	755	710	500	525	420	420	520
22	515	690	500	690	620	540	420	420	420	420	420	200
23	495	420	490	420	420	180	420	420	220	220	220	200
24	200	220	220	220	220	180	220	220	220	220	220	200

NOTA: Los datos de este registro corresponden al año 1958. Los valores son en KW.

R E G I S T R O N° 3  
AÑO 1960

Jueves, 21 de Abril de 1960

Hora - Total - Hora - Guápulo.  
Quito

Hora - Total - Hora - Guápulo.	Hora - Total - Hora - Guápulo
Quito	Quito
1,40..-7,700	1,00..-1,200
2,00..-7,200	2,00..-1,200
3,00..-7,000	3,00..-1,200
4,00..-7,200	4,00..-1,200
5,00..-7,650	5,00..-1,200
6,00..-9,000	6,00..-1,200
6,30..-11,600	
7,00..-11,600	7,00..-1,200
7,10..-13,450	
7,55..-13,500	8,00..-1,240
8,35..-13,650	
9,00..-14,800	9,00..-1,240
9,40..-15,400	
10,15..-15,700	10,00..-1,240
10,25..-16,200	
10,55..-14,600	11,00..-1,240
11,30..-14,700	
12,10..-13,000	12,00..-1,240
12,20..-12,500	13,00..-1,620
14,10..-12,500	14,00..-1,620
14,15..-13,100	
14,35..-14,000	
14,45..-14,500	
15,15..-15,100	15,00..-1,620
16,20..-15,800	16,00..-1,620

Miércoles, 29 de Junio de 1,960

Hora - Total - Hora - Guápulo

Jueves, 21 de Abril de 1960  
Hora = Total = Hora = Guápulo  
Quito

16,30..17,850  
17,10..17,840      17.....620  
18,20..15,150  
17,25..15,300  
18,05..17,280      18.....620  
18,15..17,120  
18,50..17,460  
19,10..17,560      19.....940  
20.....19,600      20.....940  
21.....17,020      21.....240  
21,30..16,100  
22.....17,700      22.....620  
22,25..11,910  
23.....11,400      23.....620  
24.....11,600      24.....220

Miércoles, 29 de Junio de 1960  
"hora = Total = Hora = Guápulo  
Quito

17.....14,750      17....420  
18.....15,640      18....420  
18,30...16,100  
19.....19,620      19....240  
19,10...20,320  
19,30...20,420  
20.....19,320      20....940  
20,25...19,220  
20,50...18,620      21....740  
21,15...17,940  
21,25...16,940  
22.....17,740      22....420  
22,50...11,710      23....420  
23,15...10,000  
23,30...9,600  
23,45...9,100  
24.....8,900

NOTA.- Los valores son en KW. La columna "Total = to" corresponde a la potencia generada en las centrales hidráulicas de Los Chillones, Cuampopelo, Guápulo, Machachi y en la Central térmica de Iñaquito.

Los valores son tomados de los archivos de la E.D.G.

Indice de Neigada Blanca medida en la corriente de agua que se maneja en el río.

IMPER.

1924 1925 1926 1927 1928

1	10.870	8 12.400	8 10.720	12.670	11.200
2	8 10.470	8 13.400	11.470	12.570	12.670
3	8 9.850	13.700	10.920	12.270	12.270
4	11.630	X 8.620	10.390	12.680	8 9.970
5	10.760	13.890	10.920	8 11.620	8 3.350
6	11.120	12.920	10.060	8 1.970	9.970
7	8 7.740	13.220	8 10.870	12.470	X 12.270
8	10.920	8 8.570	8 6.320	11.620	10.670
9	8 10.270	8 4.600	10.720	12.110	10.860
10	8 9.840	12.740	10.820	10.670	11.220
11	11.570	12.370	X 10.620	12.540	8 10.690
12	11.340	12.530	X 10.870	8 11.750	8 3.350
13	11.390	12.740	8 10.310	12.100	12.310
14	11.370	12.520	8 10.270	12.680	12.310
15	11.320	12.540	8 3.170	11.620	12.310
16	8 11.560	8 5.470	10.620	11.620	X 14.160
17	8 4.250	14.210	11.920	11.720	13.860
18	11.530	13.350	10.430	11.120	8 12.270
19	10.920	13.320	10.620	8 21.140	8 3.770
20	10.600	13.750	10.350	8 4.350	11.020
21	11.470	13.830	8 10.960	11.120	10.760
22	11.520	8 11.810	8 10.670	11.620	10.860
23	8 11.680	8 4.670	10.520	11.470	10.670
24	8 4.650	X 12.670	10.700	X 9.970	10.870
25	11.340	13.310	10.770	11.720	8 13.220

	1924	1925	1926	1927	1928
1	12.820	12.820	20.370	8 21.820	9 3.820
2	12.820	13.410	13.310	9 4.820	13.370
3	20.370	23.570	8 23.360	11.370	13.370
4	12.320	8 12.570	8 4.320	11.320	12.370
5	8 20.820	8 4.320	13.320	9.320	12.320
6	8 4.320	12.320	8 21.820	10.320	12.320
7	12.320	13.410	13.310	12.320	13.320
8	12.820	13.410	13.310	12.320	13.370
9	12.820	13.410	13.310	12.320	13.370
10	12.820	13.410	13.310	12.320	13.370
11	12.320	12.320	12.320	12.320	12.320
12	12.320	12.320	12.320	12.320	12.320
13	12.320	12.320	12.320	12.320	12.320
14	12.320	12.320	12.320	12.320	12.320
15	—	22.320	12.320	9.320	9.320
16	—	22.320	12.320	9.320	9.320
17	12.320	12.320	12.320	9.320	12.320
18	12.320	12.410	8 10.320	12.320	12.320
19	12.320	8 12.190	8 3.920	18.320	9.320
20	12.320	12.320	9.320	8 12.320	12.320

**L I B E R T A**



	1954	1955	1956	1957	1958
19	11.760	s 11.950	13.150	14.290	x 9.190
20	s 11.920	b 4.950	13.450	13.970	10.920
21	b 4.940	x 10.630	13.370	14.330	11.980
22	11.920	12.690	12.910	14.470	s 13.170
23	12.100	x 10.610	13.900	s 11.870	b 3.760
24	11.820	12.570	s 13.950	b 4.970	x 8.070
25	12.420	12.620	b 4.640	13.860	11.320
26	x 11.960	s 12.170	x 12.420	13.830	10.990
27	s 12.030	b 5.030	12.990	13.790	11.940
28	b 5.800	19.200	12.690	13.790	x 11.330
29	12.860	19.240	12.260	13.730	s 12.160
30	12.920	20.240	11.460	s 13.190	b 4.360
31	12.910	19.570	s 11.510	b 5.230	12.070

**ABRIL**

1	12.630	x 12.190	b 3.380	12.830	10.220
2	12.910	s 12.200	12.120	14.290	10.910
3	s 11.190	b 4.230	11.370	x 12.420	11.660
4	b 6.900	12.600	x 6.940	14.160	11.440
5	19.790	12.990	x 10.950	14.360	s 11.960
6	12.760	x 10.690	x 10.070	s 13.060	b 3.150
7	12.930	x 11.060	s 11.350	b 5.140	10.740
8	12.820	12.570	b 9.490	14.260	12.560
9	12.810	s 11.290	11.860	13.760	x 10.610
10	s 3.390	b 5.590	12.060	14.410	x 9.240
11	b 4.960	x 11.920	12.310	14.050	11.330
12	12.920	13.360	12.440	14.350	s 8.700
13	11.790	x 11.530	12.760	s 11.170	b 5.190
26	x 11.960	x 11.960	s 11.870	-----	13.760

<u>Año</u>	<u>1954</u>	<u>1955</u>	<u>1956</u>	<u>1957</u>	<u>1958</u>
<u>15</u>	<u>11.720</u>	<u>X 12.700</u>	<u>D 4.230</u>	<u>X 4.470</u>	<u>12.750</u>
<u>16</u>	<u>11.800</u>	<u>S 9.620</u>	<u>12.590</u>	<u>X 16.860</u>	<u>12.620</u>
<u>17</u>	<u>S 10.670</u>	<u>D 4.970</u>	<u>12.720</u>	<u>15.440</u>	<u>X 9.950</u>
<u>18</u>	<u>D 5.200</u>	<u>13.420</u>	<u>X 12.700</u>	<u>16.270</u>	<u>12.700</u>
<u>19</u>	<u>11.930</u>	<u>-----</u>	<u>14.370</u>	<u>12.010</u>	<u>S 11.130</u>
<u>20</u>	<u>12.690</u>	<u>X 7.530</u>	<u>13.390</u>	<u>S 12.460</u>	<u>D 3.890</u>
<u>21</u>	<u>11.440</u>	<u>13.460</u>	<u>S 21.590</u>	<u>D 4.420</u>	<u>X 11.290</u>
<u>22</u>	<u>10.510</u>	<u>12.950</u>	<u>D 9.010</u>	<u>15.480</u>	<u>12.590</u>
<u>23</u>	<u>X 8.860</u>	<u>S 13.220</u>	<u>13.560</u>	<u>15.930</u>	<u>13.490</u>
<u>24</u>	<u>S 8.700</u>	<u>D 6.090</u>	<u>12.270</u>	<u>X 14.680</u>	<u>12.540</u>
<u>25</u>	<u>D 5.240</u>	<u>13.460</u>	<u>12.560</u>	<u>X 4.580</u>	<u>12.440</u>
<u>26</u>	<u>X 11.590</u>	<u>13.700</u>	<u>12.200</u>	<u>X 25.320</u>	<u>S 13.940</u>
<u>27</u>	<u>11.360</u>	<u>13.910</u>	<u>X 10.330</u>	<u>S 9.890</u>	<u>D 4.250</u>
<u>28</u>	<u>X 10.920</u>	<u>13.970</u>	<u>S 13.860</u>	<u>D 15.780</u>	<u>12.890</u>
<u>29</u>	<u>11.740</u>	<u>13.630</u>	<u>D 11.690</u>	<u>15.120</u>	<u>12.670</u>
<u>30</u>	<u>11.690</u>	<u>S 11.110</u>	<u>X 10.560</u>	<u>14.780</u>	<u>12.220</u>

### M.A.I.G

1	S 11.490	D 5.670	X 2.810	X 4.970	X 18.130
2	D 4.740	12.820	X 10.490	15.770	X 11.340
3	X 9.980	13.290	12.180	15.880	S 12.850
4	11.390	12.860	11.630	S 14.510	D 4.920
5	12.860	X 12.230	S 3.720	D 5.690	12.830
6	11.390	13.510	D 3.910	13.550	13.210
7	11.530	S 11.820	11.980	13.640	12.570
8	S 11.290	D 5.460	12.670	14.960	12.360
9	D 4.910	13.690	12.150	13.970	12.290
10	11.820	13.660	11.820	14.280	S 12.180
11	11.290	13.080	11.350	S 13.760	D 4.060

Año	1954	1955	1956	1957	1958
12	11.460	13.410	s 7.490	b 5.030	12.120
13	11.060	13.120	b 4.170	14.480	11.670
14	x 9.600	s 11.820	12.670	14.290	10.910
15	s 10.970	b 5.860	11.970	14.140	11.010
16	b 4.480	x 11.970	11.970	14.500	12.060
17	11.280	12.970	11.860	13.100	s 10.610
18	12.340	13.240	11.800	s 12.370	b 3.840
19	11.910	13.140	s 7.090	b 5.630	11.190
20	11.990	12.840	b 3.980	13.970	11.310
21	x 11.190	s 12.750	x 10.440	14.650	11.670
22	s 11.670	b 4.950	x 8.990	13.880	13.330
23	b 4.970	13.070	12.380	15.040	11.960
24	x 11.250	12.960	x 8.980	11.960	s 10.960
25	11.380	13.290	12.520	s 13.950	b 5.720
26	x 9.610	13.340	s 8.450	b 3.070	11.530
27	x 9.870	x 12.810	b 5.130	x 13.030	11.210
28	x 9.830	s 12.490	11.730	x 14.170	10.350
29	s 9.220	b 4.480	x 11.210	13.940	12.090
30	b 4.130	13.370	12.680	14.210	11.880
31	11.110	12.650	12.190	14.960	s 10.680

L U B L I S

1	10.940	13.150	12.500	s 13.790	b 3.920
2	10.320	13.170	s 7.080	b 4.420	10.350
3	10.660	x 12.170	b 4.410	x 12.530	10.350
4	11.220	s 12.380	12.390	15.480	10.730
5	s 10.670	b 6.390	13.340	14.070	10.370
6	b 4.230	13.160	12.780	14.140	9.930
7	11.330	13.080	12.340	13.800	s 10.160

	1954	1955	1956	1957
11.240	X 10.700	12.210	8 13.000	8 3.200
11.070	12.440	8 7.740	8 4.750	12.440
10.690	12.960	8 3.930	13.100	12.600
10.220	8 12.700	12.100	14.100	12.570
9 10.250	8 12.600	12.520	X 24.230	10.270
9 2.600	13.000	11.940	14.210	10.070
12.010	12.970	12.200	12.810	8 9.070
12.670	13.470	12.870	8 12.300	8 3.000
12.860	13.950	8 12.490	8 9.050	12.700
12.050	13.110	8 4.500	12.210	12.300
12.620	8 12.840	12.220	12.260	12.970
8 10.040	8 6.910	X 10.150	12.330	12.100
8 6.010	13.660	12.660	11.970	X 11.210
12.430	12.860	12.720	12.610	8 7.740
10.630	12.840	8 12.440	8 4.750	10.740
11.070	12.500	8 3.200	13.230	12.570
11.240	12.210	12.030	12.350	10.970
X 10.270	8 12.240	12.320	12.300	10.430
8 11.070	8 12.700	12.960	12.100	10.340
8 10.220	12.100	12.210	8 12.600	10.070
11.320	12.250	12.110	11.950	8 10.200
10.360	12.040	12.200	8 12.620	8 3.000
11.310	12.330	8 12.440	8 9.050	10.100

III.1.3

11.620	12.350	8 4.500	12.020	20.320
11.710	8 12.500	12.440	11.800	10.310
8 10.720	8 5.300	12.040	12.200	9.070

Año	1974	1975	1976	1977	1978
1	\$ 5.020	12.510	12.110	12.380	10.190
2	10.610	12.540	11.980	12.230	\$ 9.590
3	11.240	12.590	11.970	\$ 11.280	\$ 3.170
4	11.180	11.280	—	\$ 4.310	10.230
5	11.140	13.440	—	10.570	10.370
6	10.970	\$ 12.340	—	10.670	10.290
7	\$ 9.280	\$ 5.390	—	10.990	9.890
8	\$ 4.450	12.180	10.210	10.770	9.330
9	10.970	13.340	11.070	11.280	\$ 8.980
10	11.070	13.220	\$ 10.310	\$ 4.080	9.390
11	11.070	13.240	10.340	\$ 8.870	\$ 3.520
12	11.120	13.220	11.280	\$ 8.770	8.770
13	11.070	13.240	10.340	\$ 8.870	\$ 3.520
14	11.120	13.220	\$ 10.310	\$ 4.080	9.390
15	10.890	12.610	\$ 4.240	10.910	8.680
16	10.980	\$ 12.940	10.480	11.640	9.310
17	\$ 9.370	\$ 4.700	10.350	11.930	8.770
18	\$ 5.280	12.320	—	11.220	9.330
19	10.460	12.470	10.090	11.640	\$ 8.980
20	9.890	12.270	9.960	\$ 8.860	\$ 3.980
21	10.490	12.360	\$ 10.630	\$ 3.860	9.380
22	10.890	12.510	\$ 4.650	9.850	9.160
23	10.230	\$ 12.380	14.970	11.070	8.860
24	\$ 8.170	\$ 4.510	14.940	11.490	\$ 6.710
25	\$ 2.990	X 10.640	12.740	10.730	9.180
26	10.520	12.240	11.280	10.660	\$ 9.130
27	10.190	12.140	10.980	\$ 10.750	\$ 3.410
28	10.890	12.590	\$ 11.280	\$ 3.980	9.370
29	10.880	12.440	\$ 4.680	10.880	9.220
30	10.810	\$ 12.180	10.170	10.970	8.720
31	\$ 9.620	\$ 4.720	10.490	10.610	8.720

A. 8.0.1.2.2.

	1924	1925	1926	1927	1928
1					
2	B 3.030	11.930	10.300	14.500	8.370
3	10.230	11.710	9.980	16.370	8.730
4	10.370	11.720	8.950	8.110	8.370
5	10.480	11.720	8.910	8.320	8.380
6	10.480	11.720	8.910	8.320	8.380
7	8.940	5 12.000	X 10.870	14.530	2 9.980
8	9.930	8 3.810	X 10.870	14.530	2 9.980
9	3.480	12.630	X 10.110	2 10.500	10.570
10	10.120	12.320	X 10.370	2 9.350	8 9.730
11	9.860	11.920	X 10.270	8 8.800	8 3.620
12	9.610	11.520	3 9.830	B 3.870	9.410
13	9.610	12.970	B 3.680	10.770	9.310
14	9.610	8 11.710	X 10.220	10.330	9.410
15	9.610	D 3.870	X 10.130	10.770	9.410
16	3.670	11.750	X 10.150	10.430	9.410
17	9.660	10.830	X 10.660	10.710	8 8.720
18	9.610	X 11.590	X 10.370	8 11.050	D 4.640
19	9.610	11.730	B 9.870	8 3.870	8.910
20	9.720	12.720	B 3.870	10.460	9.410
21	10.880	8 11.910	X 10.710	9.770	8.130
22	B 9.620	B 5.680	X 10.670	10.330	9.410
23	B 3.970	12.170	X 10.490	10.270	8.910
24	9.620	12.230	Z 10.260	9.470	8.820
25	9.740	11.870	X 10.270	8 10.510	8 3.780
26	9.620	12.210	D 3.870	9.470	8.820

1934	1935	1936	1937	1938
9.200	8 12.000	X 11.300	9.900	8.000
9.600	8 6.000	X 10.700	9.800	8.500
9.700	X 10.000	X 10.000	9.700	8.300
9.800	11.000	X 10.400	9.900	8.300
9.900	11.000	X 10.400	9.900	8.200
X 6.700	11.000	8 10.600	9.700	9.100
10.000	10.000	8 3.800	12.000	8.000
9.900	8 10.000	X 10.400	11.900	8.100
9.900	8 11.000	X 10.500	9.800	8.500
9.900	12.250	X 10.300	9.700	8.100
9.900	12.570	X 10.200	10.400	8.000
10.200	12.100	X 9.300	9.600	9.000
9.500	12.300	8 8.000	9.700	8.400
9.700	13.430	8 3.700	8.600	8.600
8.300	8 7.600	X 10.200	9.300	8.000
8.900	8 6.600	X 10.200	10.170	8.200
9.300	12.300	X 10.200	9.600	8.000
9.300	12.300	X 10.200	9.700	8.100
10.100	12.200	8 10.200	9.400	8.300
10.200	12.100	8 3.600	9.300	8.200
9.100	8 12.100	X 10.200	11.400	8.000
8.800	8 6.600	X 10.200	9.500	8.000
9.200	12.100	8 9.500	9.600	7.600
8.600	11.900	X 9.500	10.000	8.400
8.500	12.200	X 11.100	9.300	3.100

1954	1955	1956	1957	1958
X 9.130	11.630	8 10.830	P 10.910	9.350
X 7.970	11.640	P 2.710	10.690	11.030
X 8.600	8 11.670	X 12.630	10.210	9.660
S 8.930	P 4.230	X 11.120	10.810	8.370
D 3.910	11.010	X 10.770	13.030	X 7.540
P 10.330	10.860	X 10.810	10.110	P 7.810
X 9.230	X 10.650	X 10.630	S 9.620	P 3.630
10.880	11.210	S 11.160	P 3.370	8.340
X 11.660	10.940	P 4.920	10.670	8.440
<b>REMARKS</b>				
X 12.130	S 12.530	X 11.120	10.370	X 8.360
S 11.230	P 4.930	X 11.640	10.910	X 8.570
D 5.270	12.220	X 10.220	10.130	9.660
13.370	11.820	X 10.810	9.460	S 8.760
14.140	14.470	X 13.230	S 10.710	S 3.380
12.670	11.620	S 10.570	P 3.720	8.670
11.630	11.620	P 4.320	9.340	8.360
10.260	S 13.130	X 10.950	9.110	8.310
S 10.610	P 4.310	11.220	9.360	8.670
P 11.340	11.840	12.140	9.260	9.330
10.490	11.830	12.210	12.860	P 8.170
10.610	11.830	12.340	S 9.220	P 3.370
11.230	12.220	S 12.560	P 4.770	9.770
11.920	12.280	P 4.360	11.340	9.780
12.780	S 12.670	12.030	11.410	10.870
S 12.270	P 4.960	12.380	11.110	8.920
P 10.530	X 10.220	12.350	10.270	9.530

1934	1935	1936	1937	1938
12.650	11.730	12.250	9.770	8.830
13.680	11.610	12.710	9.250	9.070
12.460	12.740	8 13.930	D 9.810	9.370
12.480	13.290	8 4.220	9.600	8.400
11.910	8 12.680	32.310	9.820	8.600
8 11.060	D 4.310	13.600	9.830	8.800
D 3.970	11.630	11.310	11.620	8.670
12.450	11.310	X 12.520	9.810	8.670
X 8.210	11.120	X 11.580	8 10.160	9 3.970
13.310	10.910	8 11.510	D 4.820	9.830
11.670	11.370	D 4.260	12.910	8.710
X 8.180	8 12.180	12.280	12.710	9.120
8 6.320	D 4.720	11.710	10.610	8.780
D 4.370	12.310	12.810	9.630	8.810
<u>2.0 V T. S. I. B. E. R.</u>				
2	2	2	2	2
12.470	13.020	11.770	8 9.020	8 870
12.320	12.010	8 12.520	D 4.250	2.370
12.910	12.520	D 4.300	11.350	X 6.700
12.570	8 4.260	11.350	11.380	X 7.600
D 11.870	D 10.170	11.120	21.110	X 7.650
D 5.980	12.120	11.500	10.630	8.670
12.920	11.990	11.810	9.970	8.930
9	9	9	9	9
12.230	11.190	8 11.120	D 3.260	8.970
12.770	10.810	D 4.220	10.630	8.910
12				
12.720	8 10.810	12.570	10.320	8.880

Mo	1954	1955	1956	1957	1958
13	S 12.870	S 5.38	12.370	16.130	8.210
14	D 6.160	12.430	12.870	16.020	8.070
15	12.450	12.370	12.790	16.160	S 7.830
16	12.190	12.070	11.630	S 9.440	D 3.220
17	11.750	11.720	S 11.490	D 3.960	8.390
18	10.920	12.030	D 4.110	11.770	8.770
19	11.970	S 12.960	11.460	16.490	X 8.220
20	S 11.380	D 4.480	11.540	11.400	7.430
21	D 4.380	12.310	9.050	10.140	8.010
22	12.380	10.380	10.370	11.280	S 7.830
23	12.210	16.750	10.320	S 10.140	D 3.290
24	11.940	11.400	S 20.020	D 3.760	8.180
25	12.110	11.330	D 3.720	11.310	8.170
26	11.290	S 11.880	9.950	10.270	8.270
27	S 11.780	D 4.840	9.160	10.390	7.920
28	D 4.060	11.110	X 9.860	10.130	8.010
29	13.000	12.110	10.240	10.090	S 7.240
30	12.190	11.680	9.340	S 10.420	D 2.920

REGISTRATION

1	11.980	11.020	S 9.300	D 3.190	8.340
2	13.490	10.480	D 3.540	X 9.660	8.110
3	11.570	S 10.820	10.000	X 8.000	8.380
4	S 11.660	D 3.670	9.680	11.200	8.410
5	D 3.720	13.830	9.450	13.540	8.240
6	12.650	X 9.930	9.210	11.240	S 8.900
7	12.360	12.240	10.430	S 10.310	D 3.110
8	12.260	12.510	S 11.350	D 3.110	8.340

1970	1971	1972	1973	1974	1975
12.230	12.860	D 4.160	10.720	8.330	
12.640	A 11.970	10.340	10.350	8.330	
B 12.610	D 4.670	12.360	9.350	8.330	
D 4.720	12.310	11.770	10.810	X 8.330	
13.350	12.360	11.670	9.420	8.330	
12.860	12.210	11.170	S 10.910	D 3.270	
12.270	12.720	S 11.970	D 3.470	8.330	
10.820	12.850	D 3.160	10.660	10.270	
11.850	A 13.690	10.460	10.210	8.620	
B 11.660	D 3.030	10.620	9.930	8.330	
D 4.630	12.460	10.650	9.730	8.330	
12.710	12.990	10.120	10.360	S 7.720	
13.490	A 13.270	S 9.520	D 6.210	X 7.270	
12.560	12.360	D 4.070	9.970	8.620	
12.460	S 8.610	11.070	9.970	X 6.270	
A 12.490	D 10.920	9.970	9.620	8.470	
D 4.170	11.730	10.530	9.070	10.270	
12.340	11.270	10.910	9.920	S 8.270	
13.610	12.710	S 11.350	D 3.370	9.920	
12.370	11.970	D 3.460	11.660	9.970	
D 4.660	12.130	11.670	11.770	9.470	

NOTA.- Las velocidades mencionadas son en km/y han sido tomadas de las escalas de la R.R.Q.

**RESUMEN MENSUAL DEL REGISTRO Hr.4**

Año	1954	1955	1956	1957	1958
<b>JUNIO</b>					
Energía generada	236.500	250.360	209.830	256.870	248.500
Días de trabajo	21	19	19	22	21
Promedio diario	11.262	13.177	11.044	11.676	11.833
<b>JULIOPRIMER SEMESTRE</b>					
Energía generada	193.250	248.720	223.580	195.860	204.700
Días de trabajo	17	20	18	18	18
Promedio diario	11.368	12.436	12.421	10.881	11.372
<b>MARZO</b>					
Energía generada	232.160	280.140	241.820	235.340	202.870
Días de trabajo	20	20	19	18	18
Promedio diario	11.608	14.007	12.727	13.074	11.270
<b>ABRIL</b>					
Energía generada	218.640	159.380	189.010	232.790	216.840
Días de trabajo	18	12	15	16	18
Promedio diario	12.147	13.281	12.601	14.549	12.047
<b>2</b>					
Energía generada	163.400	250.190	204.210	282.850	237.300
Días de trabajo	14	19	17	20	20
Promedio diario	11.671	13.168	12.012	14.143	11.865
<b>JUNIO</b>					
Energía generada	222.310	257.930	234.270	222.550	214.980
Días de trabajo	20	20	19	17	20
Promedio diario	11.116	12.897	12.330	13.691	10.749

Año	1954	1955	1956	1957	1958
-----	------	------	------	------	------

JUNIO

Energía generada	236.810	250.170	217.090	252.970	207.730
Días de trabajo	22	20	19	23	22
Promedio diario	10.769	12.509	11.425	11.242	9.412

JULIO

Energía generada	206.330	248.470	30.230	204.160	176.590
Días de trabajo	21	21	3	20	20
Promedio diario	9.825	11.832	10.077	10.206	8.935

AGOSTO

Energía generada	163.610	249.040	-----	214.890	177.810
Días de trabajo	17	21	--	21	21
Promedio diario	9.589	11.899	-----	10.233	8.467

SEPTIEMBRE

Energía generada	219.280	237.870	183.690	235.920	189.050
Días de trabajo	18	20	15	23	21
Promedio diario	12.182	11.894	12.246	10.277	9.002

OCTUBRE

Energía generada	297.020	299.990	236.500	222.460	127.500
Días de trabajo	21	22	21	21	16
Promedio diario	12.239	11.706	11.167	10.595	7.972

NOVIEMBRE

Energía generada	296.390	265.270	221.720	208.270	153.030
Días de trabajo	23	22	21	20	21
Promedio diario	12.452	12.063	10.525	10.414	8.715

NOTA.- Los valores de energía son en kWh. Los días de trabajo corresponden a aquellos en que la Central no ha sufrido ni daños ni reparaciones. Excluyendo Sabados y Domingos

ESTATE OF. 5

REGISTRO DEL LEVANTAMIENTO FOTOGRÁFICO REALIZADO EN EL TALLER DE RESOLUCIÓN

DE LA GENERAL DE GUAPILLO

Beta ruinas Angelulos Lecturas en Le Mira Diles tancias Alturas  
Merisentales. Verticales- Super-. Medio, Infer.- Incluidos, Horizontal- Relativa, Absoluta

1	195°45'	+1°26'	1,792	1,4	1,036	78,20	78,00	+1,955	101,95		
2	222°55'	-1°07'	1,776	1,4	1,024	75,20	75,00	-1,465	98,54		
3	211°05'	-5°04'	1,700	1,4	1,100	60,00	59,80	-3,22	96,78		
4	202°23'	-1°37'	1,720	1,4	1,080	64,00	63,85	-1,805	98,20		
5	194°30'	-2°14'	1,700	1,4	1,100	60,00	59,85	-2,34	97,66		
6	198°51'	-0°27'	1,678	1,4	1,128	55,60	55,55	-0,44	99,56		
7	180°25'	-1°14'	1,710	1,4	1,098	62,00	61,90	-1,30	98,70		
8	168°07'	-4°03'	1,650	1,4	1,150	50,00	49,70	-3,52	96,48		
9	156°26'	+0°06'	1,605	1,4	1,197	40,60	40,60	+0,07	100,07		
10	146°05'	+0°44'	1,576	1,4	1,222	35,60	35,55	+0,455	100,45		
11	141°07'	+0°45'	1,587	1,4	1,213	37,40	37,35	+0,455	100,45		

Nota: Puntos A n g u l o s Horizontales, Verticales-  
elén Lecturas en los Mires D 1 s t e n a s A l t u r a s  
elevación Super., Media, Inferior.- Inolvidado, Horizontal- Selective, Absolute

12	73° 25'	0° 00'					7,8	
13	230° 22'	-0° 30'	3,460	3,0	2,540	92,00	91,80	-2,4
14	240° 17'	-2° 43'	1,740	1,4	1,060	68,00	67,80	-5,22
15	237° 40'	-6° 24'	1,622	1,4	1,178	44,40	43,80	-4,92
16	233° 48'	-8° 00'	1,590	1,4	1,210	38,00	37,25	-5,24
17	234° 31'	-26° 22'	1,480	1,4	1,320	16,00	12,82	-6,37
18	269° 15'	-23° 37'	1,490	1,4	1,320	16,00	13,47	-5,82
19	254° 35'	-4° 47'	1,560	1,4	1,240	32,00	31,80	-2,66
20	247° 33'	-4° 32'	1,580	1,4	1,220	36,00	35,80	-2,84
21	285° 45'	-1° 30'	1,776	1,4	1,025	85,00	84,97	-2,12
22	220° 00'	-5° 28'	1,714	1,4	1,078	63,60	63,00	-6,04
23	199° 05'	-8° 30'	1,615	1,4	1,185	43,00	42,00	-6,28
24	180° 10'	-8° 30'	1,632	1,4	1,168	46,40	45,40	-6,77
25	138° 15'	(Angulo para ubicar las esquinas de la caja puesta de despegue)						
26	141° 50'	+0° 30'	1,585	1,4	1,215	37,00	36,95	+0,30
27	165° 28'	+2° 00'	1,673	1,4	1,127	14,69	14,50	+1,905
28	191° 00'	+1° 48'	1,720	1,4	1,090	63,00	62,85	+1,90

Estación	Puntos	Ángulos		Lecturas en la Mira			Distancias		Alturas	
		Horizontales, Verticales-	Super., Media, Infer.-	Inclinada, Horizontal-	Relativa, Absoluta					
B	A	15° 46'	-1° 25'	1,700	1,31	0,920	78,20	78,00	-1,955	100,00
C		257° 43'	+1° 26'	1,575	1,31	1,025	55,00	54,90	+1,58	103,32
29		230° 10'	+1° 12'	1,680	1,31	0,940	74,00	73,90	+1,55	103,50
30		220° 00'	+0° 20'	3,360	3,00	2,640	72,00	72,00	+2,11	104,06
31		208° 10'	-2° 50'	1,495	1,31	1,125	37,00	36,85	-1,85	100,12
32		218° 26'	-3° 53'	1,470	1,31	1,150	32,00	31,80	-2,15	99,79
33		249° 13'	-0° 37'	1,580	1,31	1,040	54,00	53,95	-0,58	101,37
34		251° 54'	-11° 19'	1,420	1,31	1,190	23,00	22,10	-4,45	97,52
0	B	000° 00'	-1° 26'	1,680	1,40	1,130	55,00	54,90	-1,375	101,95
A		323° 03'	-1° 40'	1,975	1,40	0,827	114,60	114,50	-3,35	100,00
35		321° 45'	-11° 20'	1,500	1,40	1,300	20,00	19,20	-3,85	99,47
36		5° 10'	-16° 45'	1,485	1,40	1,315	17,00	15,65	-4,69	98,63
37		3° 50'	-11° 00'	1,534	1,40	1,266	26,80	25,80	-5,02	98,32
38		326° 04'	-12° 00'	1,545	1,40	1,255	29,00	27,75	-5,90	97,42

B I B L I O G R A P H Y

- Addison, Ing. Herbert - Tratado de Hidráulica Aplicada -  
Editorial Gustavo Gili S.A. - Barcelona/España - 1.959
- A.E.G. - Manual para Instalaciones Eléctricas de alumbrado y Fuerza Motriz - Essen/Alemania - 1.956
- Buchholz, W. y H. Heppelk - Centrales y Redes Eléctricas - Editorial Labor - Barcelona/España - 1.959
- Coyne - Electricidad Práctica Aplicada - Algunos Tomos - Editorial U.T.M.R.A. - Méjico/Méjico - 1.950
- Dougherty - Hidráulic Turbines ( Turbinas Hidráulicas ) - Estados Unidos - 1.920
- Eyher/Dube - Die Theorie der Wasserkraftwirkung ( La Teoría de las Turbinas Hidráulicas ) - Editorial Julius Springer - Berlin/Alemania - 1.924
- Forchheimer, PH. - Tratado de Hidráulica - Editorial Labor - Barcelona/España - 1.950
- Góndara E., Capitán Ing. Marcos - Motores Hidráulicos - Quito/Ecuador - 1.948
- Cómez Navarro, José Luis y José Juan Aracil - Saltos de Agua y Presas de Embalses - Tomo I - Tipografía Artística - Madrid/España - 1.958

Ora, I. y D. - Hormigón Armado - Editorial Construcciones Sudamericanas - Buenos Aires/Argentina - 1.957

Hoppenr, Ing. Albert - R.B.C., Handbuch für Schaltanlagen (R.B.C. Manual para Instalaciones de Manivela) - Mannheim/Alemania - 1.956

Hitte - Manual del Ingeniero - Tomo I y II - Editorial Gustavo Gili S.A. - Barcelona/España - 1.950

Knowlton, A.E. - Manual Standart del Ingeniero Electricista - Tomo I - Editorial Labor - Barcelona/España - 1.956

Königsdorff, Ing. R. - Escuela del Técnico Electricista - Tomo V - Editorial Labor - Barcelona/España - 1.955

Mazzocchi, Ing. L. - Memorial Técnico - Editorial Dossat - Madrid/España - 1.953

Ottaviani, Ing. P. - Manuali Hoepli (Manual Hoepli) - Libreria de la Casa Real - Italia - 1.913

Quante, Ing. L. - Motores Hidráulicos - Editorial Gustavo Gili - Barcelona/España - 1.953

Weyrach, Dr. Ing. B. - Hydraulisches Rechnen (Cálculo Hidráulico) - Editorial Konrad Wittmer - Stuttgart/Alemania - 1.921

Boletín Meteorológico No. 1 - Dirección General de Meteorología - Quito/Ecuador - 1.959.